UNIVERSIDADE ESTADUAL DE CAMPINAS FACULDADE DE ENGENHARIA DEPARTAMENTO DE ELETRICA/ELETRÔNICA

REMOÇÃO DO JITTER,
INTRODUZIDO PELO RECHEIO,
EM SISTEMAS MCP DE 2a. ORDEM

Autor : LUIZ AUGUSTO CASTRILLON DE AQUINO

Orientador: HELIO WALDMAN

Tese apresentada à Faculdade de Engenharia de Campinas - UNICAMP - para obtenção do título de MESTRE EM CIÊNCIAS.

FEVEREIRO 1977

Aq56r

1466/BC

UNICAMP BIBLIOTE(A CENTRAL

AGRADECIMENTOS

Sou grato ā

ELIANE e FABRIZIA, grandes vitimas destes apontamentos; Prof. HELIO WALDMAN, meu orientador, pela atenção e boa vontade devotadas durante a realização desse trabalho; Prof. CELSO P. BOTTURA e MARCIO L.A. NETTO, com quem iniciei meus trabalhos acadêmicos;

Engos WAGNER C. DO AMARAL e ANTONIO JOSE QUITERIO, pelas valiosas colaborações;

Sra. BRÍGIDA FANTIN CALABRISE e Srta. MARIA ANGELA SI GRIST, pelos serviços de datilografia e desenho.

SUMĀRIO

Um sistema de MCP de 2ª ordem, consiste na multiplexação de 4 sistemas MCP de 1ª ordem, como esses 4 sistemas são assincronos, plesiocronos é necessário coloca-los numa frequência comum.

Uma tecnica utilizada para esse fime a chamada tecnica - de justificação, ou recheio (stuffing) que consiste em adicionar ou retirar pulsos, no trem de pulsos de cada - sistema de la ordem.

Esse processo gera um jitter característico, denominado, jitter de tempo de espera, que ocorre pelo fato da adição, ou retirada, de pulsos não acontecerem nos momentos necessarios, porem nos momentos adequados. Esse tipo de jitter possue uma componente de baixa e outra de alta frequência. A componente de alta frequência pode ser perfeitamente filtrada por um oscilador de fase controlada, conhecido na literatura como "PHASE LOCKED LOOP" do qual denominaremos a partir de então como P.L.L. Esse P.L.L., irá atuar na demultiplexagem também para gerar um relogio de leitura de dados no demultiplex.

Esse trabalho consiste no projeto desse P.L.L., que devera ser usado no sistema MCP de 120 canais ora em desenvolvimento no Departamento de Engenharia Eletrica e Eletronica da UNICAMP.

INDICE

SUMARIO

INDICE

I - INTRODUÇÃO

II - SISTEMA MCP DE 8 Mbit/s

- II.1 Introdução
- II.2 Formato de Quadro do Sistema de 8 Mbit/s
- II.3 Sistema MCP de 8 Mbit/s
- II.3.1 Multiplexador
- II.3.2 Jitter de tempo de espera
- II.4 De Multiplexador

III - TEORIA DE P.L.L.

- III.1 Principios de funcionamento
- III.2 Componentes da malha
- III.3 Equações Gerais
- III.4 Estabilidade
- III.5 Resposta Transitório

IV - PROJETO DO P.L.L.

- IV.1 Introdução
- IV-2 Analise de Jitter
- IV.3 Característica Numérica do Problema
- IV.4 Atenuação de Jitter
- IV.5 Escolha do Detetor de Fase
- IV.6 Projeto do OCV
- IV.7 Projeto do Filtro
- IV.8 Variação das Regiões de Retenção e Captura com Divisões de frequências

V - Conclusões

Referencias

CAPITULO - 1

INTRODUÇÃO

Um Sistema de modulação por codigo pulsado (MCP), é um sistema que faz a multiplexagem dos sinais no dominio do tempo, em muitas circunstâncias são transmitidas com vantagens sobre os sistemas que se utilizam da multiplexagem no dominio de frequência.

Com o advento da enorme demanda de canais telefonicos, foi se tornando cada vez mais necessário um aumento na ordem dos sistemas MCP. Tornou-se então necessario a multiplexagem de de 4 sistemas MCP de $1^{\frac{a}{2}}$ ordem (32 canais) surgindo então um sistema de $2^{\frac{a}{2}}$ ordem.

A multiplexagem de 4 sistemas de 1º ordem varios problemas surgem, um deles é que esses 4 sistemas não estão sincronizados dos um a um, então é necessário primeiro traze-los a uma fre quência comum para então multiplexa-los. Pará traze-los uma frequência comum uma técnica conhecida como recheio justificação (stuffing) e utilizado. Essa tecnica consiste na adição ou retirada de pulsos, em determinados momentos, no trem de pulsos de cada 1 dos 4 sistemas de 1ª ordem. aplicação dessa técnica tem como consequência o aparecimento de um jitter, denominado jitter de tempo de espera, que ocorre pelo fato da inserção ou retirada dos pulsos mencionados não ocorreram nos momentos necessários, mas nos momentos adequados Esse jitter contem componentes de baixa e de alta frequência os componentes de alta frequência devem ser filtradas; maneira de se fazer essa filtragem e a utilização de um osci lador de fase controlada, também conhecido como "PHASE-LOCKED LOOP" ou simplesmente P.L.L.

Esse P.L.L deve alem de filtrar os componentes de alta frequência do jitter, gerar um relogio uniforme que ira ler os dados no demultiplexador. Nesse trabalho apresenta-se uma sistematica de Projeto para a construção de um P.L.L. para as finalidades citadas.

Dividimos esse trabalho em 3 partes que são os seguintes: No capítulo 2 dã-se uma ideia geral de como um sistema MCP de 2ª ordem opera, mostra-se os formato de quadro que deve ser utilizado bem como calcula-se as frequências envolvidas a no sistema.

No capítulo 3 da-se uma teoria suscinta de P.L.L., mostra--se como se determina cada elemento da malha do P.L.L., bem como se determina as equações que regem todo o comportamento desse elemento.

No capitulo 4, estuda-se o jitter de tempo de espera, da-se todas as especificações que o P.L.L. deve ter e mostra-se - como projetar um P.L.L. que satisfaça a determinadas especificações.

- SISTEMA MCP DE 8 Mbit/S -

II.1- INTRODUÇÃO

Um sistema de modulação por codigo pulsado (MCP), é um sistema que faz a multiplexagem, dos sinais no dominio do tempo, e tem por finalidade transformar sinais analógicos em sinais di gitais, quantizados e codificados. Em muitas circunstâncias, esses sinais são transmitidos com vantagem sobre os sistemas convencionais de multiplexagem no dominio da frequência. Podemos classificar os sistemas MCP em graus hierárquicos da seguinte forma:

Um sistema que multiplexa 30 canais de voz + 2 canais para sincronismo e sinalização, \bar{e} considerado um sistema de primeira ordem; a multiplexação de 4 sistemas MCP de $1^{\frac{1}{2}}$ ordem da origem a um sistema de $2^{\frac{1}{2}}$ ordem, 4 sistemas MCP de $2^{\frac{1}{2}}$ ordem, quando multiplexados, nos levam a um sistema de $3^{\frac{1}{2}}$ ordem, e assim por diante conforma mostra a fig. II.1.

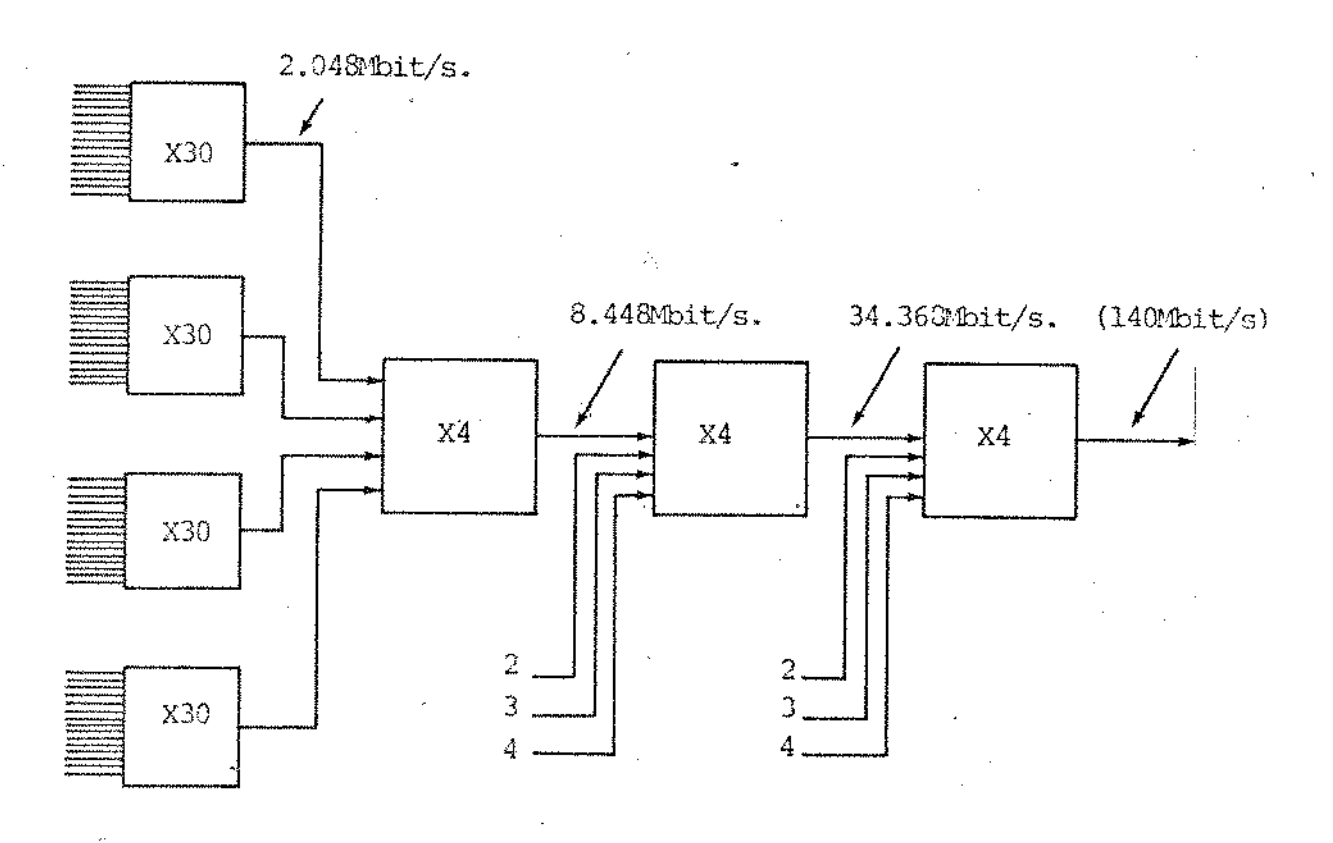


Fig. II. 1

Quando se trata da multiplexagem de 4 sistemas assíncronos (ple siocronos) de 1ª ordem deve-se atentar para o fato de que eles não estão numa frequência comum, pois cada sistema pode ter uma variação de frequência dentro de um limite especificado de partes por milhão (50 ppm) que é equivalente a 100 Hz aproximadamente; isto ocorre também pelo fato que os relógios dos nos 4 sistemas não estão sincronizados um a um.

Na impossibilidade de multiplexagem direta dos 4 sistemas devido ao problema citado, torna-se necessária a existência de estagio intermediario entre o recebimento dos sistemas e as suas multiplexagens. Nesse estagio os sistemas MCP de 1ª ordem trazidos a uma frequência comum mediante uma técnica conhecida como justificação (stuffing), tecnica essa que sera explicada mais detalhadamente nas partes sub-sequentes deste capítulo. A fig. II.2 mostra as frequências dos sistemas de 1ª ordem e do

sistema de 2ª ordem

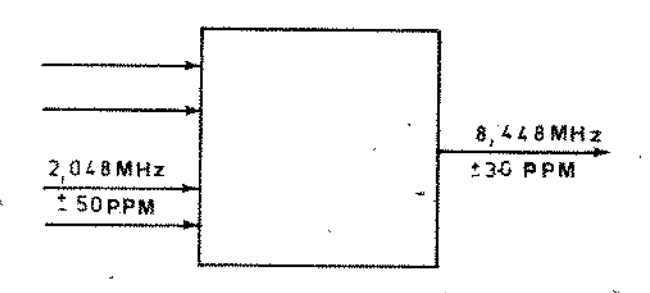


Fig. II. 2.

Frequência de linha (F) = 8.448 MHz

Frequência de canal tri

butario (f) = 2.048 MHz

Nº de canais tributarios = 4

Razão de informação (I) $2,048 \times 4 = 8.192 \text{ Mb/s}$

Razão entre digitos fi-

xos de controle e digi-

tos de informação = $\frac{1}{1}$ = $\frac{8.448 - 8192}{1}$ = 0.03125 ou 1 em 32

II.2-FORMATO DE QUADRO DO SISTEMA DE 8 Mbit/seg.

Uma vez que as frequências citadas na fig. II.2 não são exatas e podem flutuar com o tempo e temperatura, um formato de quadro deve ser escolhido de modo que seja capaz de se ajustar a essas variações.

O ajuste para variações de frequência e realizado pelo processo conhecido como justificação, jã mencionado anterior mente. A justificação pode ocorrer numa base regular supondo frequências de relogios absolutamente precisas, ou supondo frequências variáveis; o primeiro método e chamado "Justificação Fixa", enquanto que o segundo recebe o nome de "Justificação Variável".

Existem 3 tipos de justificações variáveis

- 1- Justificação positiva
- 2- justificação negativa
- 3- Justificação positiva-negativa

O sistema ora em desenvolvimento utiliza-se da justificação positiva que e o pradonizado pela CCITT. Para que tenhamos es se tipo de formato de quadro basta que façamos a escolha do valor de"n"maior que 32. Se, por exemplo, fizermos n= 33 teremos:

Taxa normalizada de canal $(f_n) = 2,048 \times \frac{34}{33} = 2,1100 \text{ MHz}$

Taxa normalizada de todos os canais = F_n = 2,1100 x 4=8,4400MHz

Frequência de recheio nominal fixa $(F_s) = 8,448 - 8,440 = +8$ KHz

ou
$$\frac{33}{34}$$
 x 2KHz por tributario

A justificação é chamada positiva porque a frequência - de recheio fixa obtida é positiva. Neste sistema, a justifica ção é realizada inserindo-se bits adicionais de controle na - medida em que for necessário para inteirara frequência do sinal multiplexado.

O formato de quadro para multiplexagem assincrona do sistema MCP de 8 Mbit/s adotado como padrão pela CCITT é o descrito na fig. II.3.a

10F	Hl	Н2	2001	4DI	2081	4D2	2081	4 D z	2081
	,								

Fig. II 3.a.

Onde: 10 F - palavras de sincronismo de quadro

H_i,H₂ - Bits de serviço

D₁₋₃ - palavras de justificação

I - Bits de informação

Para esse formato de quadro teremos

Frequência de Linha (F) = 8,448 MHz ± 250 Hz (30 ppm)

Frequência de canal (f) = 2,048 MHz ± 100 Hz (50 ppm)

Razão entre digitos de informação e digitos de controle (n)=

$$= \frac{824}{24} = 34,333$$

Taxa de canal normalizada (fn) = 2,048 x $\frac{35,333}{34,333}$ = 2,1076 MHz

Taxa normalizada de todos Os canais $(Fn) = 2,1076 \times 4 = 8,43060 \text{ MHz}$

Frequência de recheio fixa (Fs) = 8,448 - 8,43060 = 17,940KHz (recheio positivo)

Frequência de recheio fixa (fs) à taxa de canal =

$$=\frac{17,398}{4}$$
 x $\frac{34,333}{35,333}$ = 4,226 KHz

Comprimento de quadro = 4 x 212 bits = 848 bits

Taxa de quadro =
$$\frac{8,448}{848}$$
 = 9,962 KHz

Taxa de desvio total = 4,226 KHz ± (desvio em f + desvio nor malizado em F/4)

= 4,226 KHz ± (100 + 250 x 1/4 x 34,333/35,333)

= 4,226 KHz ± (160,73) Hz

Razão de justificação=

Faixa de frequência de recheio p/oMux da CCITT (8Mbit/seg.)

Taxa de canal normalizada (fn) = 2,048 (±100Hz) x $\frac{35,333}{34,333}$

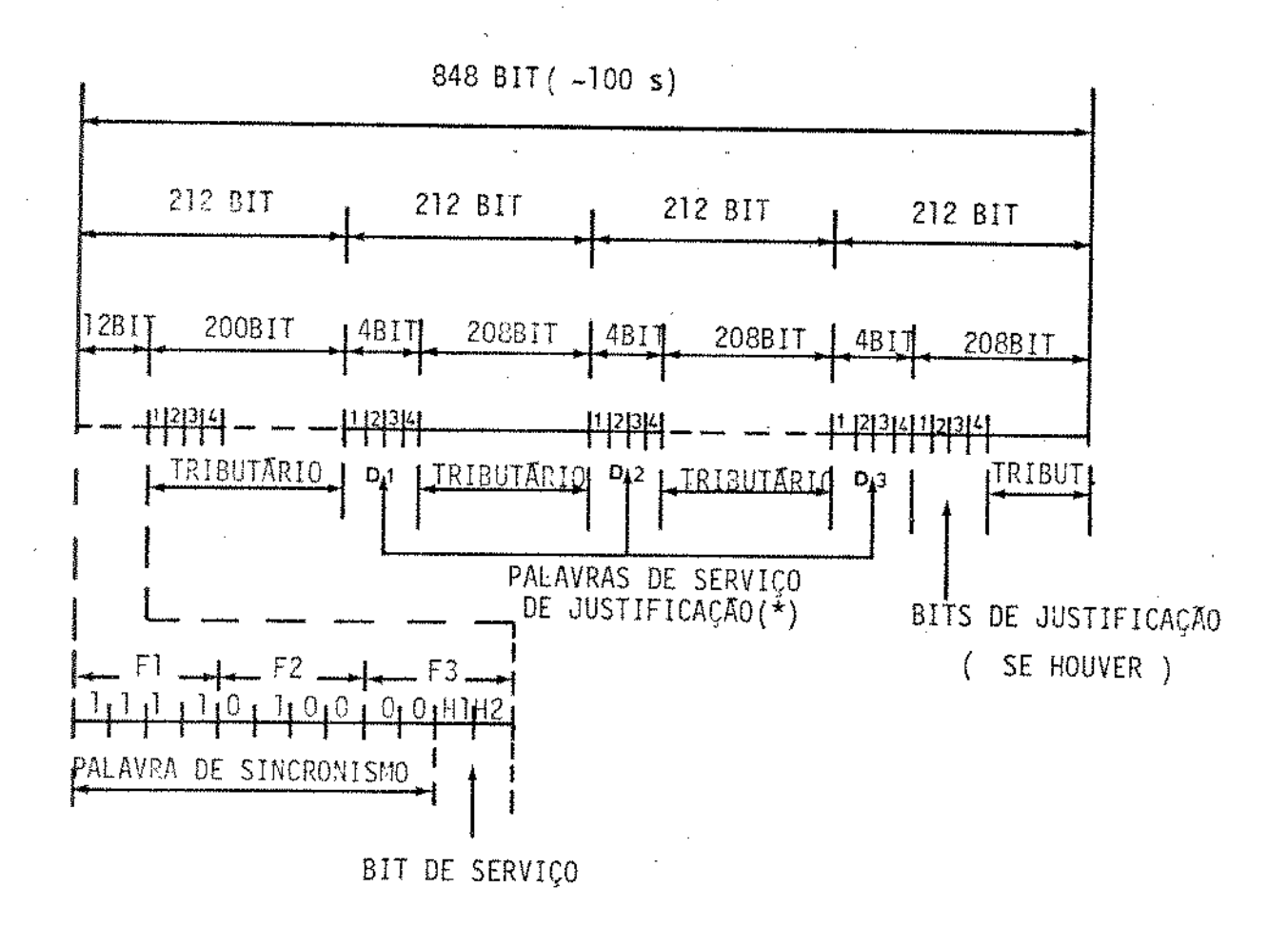
Taxa de todos os canais normalizada (Fn) = fn x 4 Frequência de recheio fixa (Fs) = 8,448 MHz (\pm 250 Hz) - 4fn Frequência de recheio física de canal (Fs)

(Fs) max =
$$\frac{1}{4}$$
 8448,250 - 4(2048000-100) x $\frac{35,33\overline{3}}{35,33\overline{3}}$ = 4,514KHz max

(Fs) nom =
$$\frac{1}{4} \left[8448000 - 4(2048000) \times \frac{35,33\overline{3}}{34,33\overline{3}} \right] = 4,226 \text{ KHz nom}$$

(Fs) min =
$$\frac{1}{4} \left[8447750 - 4(2048+100) \times \frac{35,333}{34,333} \right] = 4,185 \text{ KHz}$$

A estrutura de quadro estã mostrada na fig.II.3.b cada quadro e dividido em 4 sub quadros, cada uma consistindo de 212 janelas de tempo. Das 848 janelas de tempo de cada quadro, 24 são utilizadas para digitos de controle e as demais para digitos de informação. O entrelaçamento dos canais e feito bit



* AVISO DE JUSTIFICAÇÃO = 1....1....1

AVISO DE NÃO JUSTIFICAÇÃO = 0....0....0

Fig. II.3.b FORMATO DE QUADRO DO SISTEMA MCP DE 8 Mb/s
PADRONIZADO PELA CCITT.

por bit de cada canal. Os 10 primeiros bits do quadro formam a palvra de sincronismo de quadro. Os 2 bits seguintes são bits de serviço.

Os nūmeros 1, 2, 3, 4 indicam os quatro canais de MCP de 2,048 Mbits/seg. Os grupos de 4 bits D_1 , D_2 , D_3 formam as palavras de justificação. Se D_1 = 1, D_2 = 1, D_3 = 1 ocorre o recheio na posição indicada, sendo então inserido o nīvel 1000 gico "1".

Se $D_1 = 0$, $D_2 = 0$, $D_3 = 0$ não ocorre recheio e os 4 bits da posição de recheio serão usados como bits de informação.

II.3- SISTEMA MCP DE 8 Mbits/seg.

Podemos dividir o sistema MCP de 8 Mbits/seg. em duas grandes partes, a saber:

- i Multiplexador
- ii- Demultiplexador

que serão estudadas detalhadamente em outros trabalhos; pretende-se aqui dar apenas uma ideia suscinta de como operam essas 2 partes, deixando bem claro o ponto onde esse trabalho se torna extremamente necessario.

II.3.1 - MULTIPLEXADOR

Por multiplexador se entende a parte de transmissão do sistema MCP de 8 Mb/seg que recebe os quatro canais MCP de 2Mb/seg. e faz a multiplexagem bit a bit de cada canal.

A fig. II.4 mostra o diagrama em blocos do multiplexador.

Um canal MCP de 2Mb/s no formato de pulsos HDB 3 chega a interface de linha receptora, que regenera o relogio e transforma o sinal HDB 3 em um trem de pulsos binário.

- BLOCO DE RECHEIO

Existe para cada canal um bloco de recheio cuja função e receber o trem de pulsos binários, adicionar o pulso de recheio e entregar ao circuito montador de canal; o trem de pulsos binários recheado e o código de dados que irá indi-

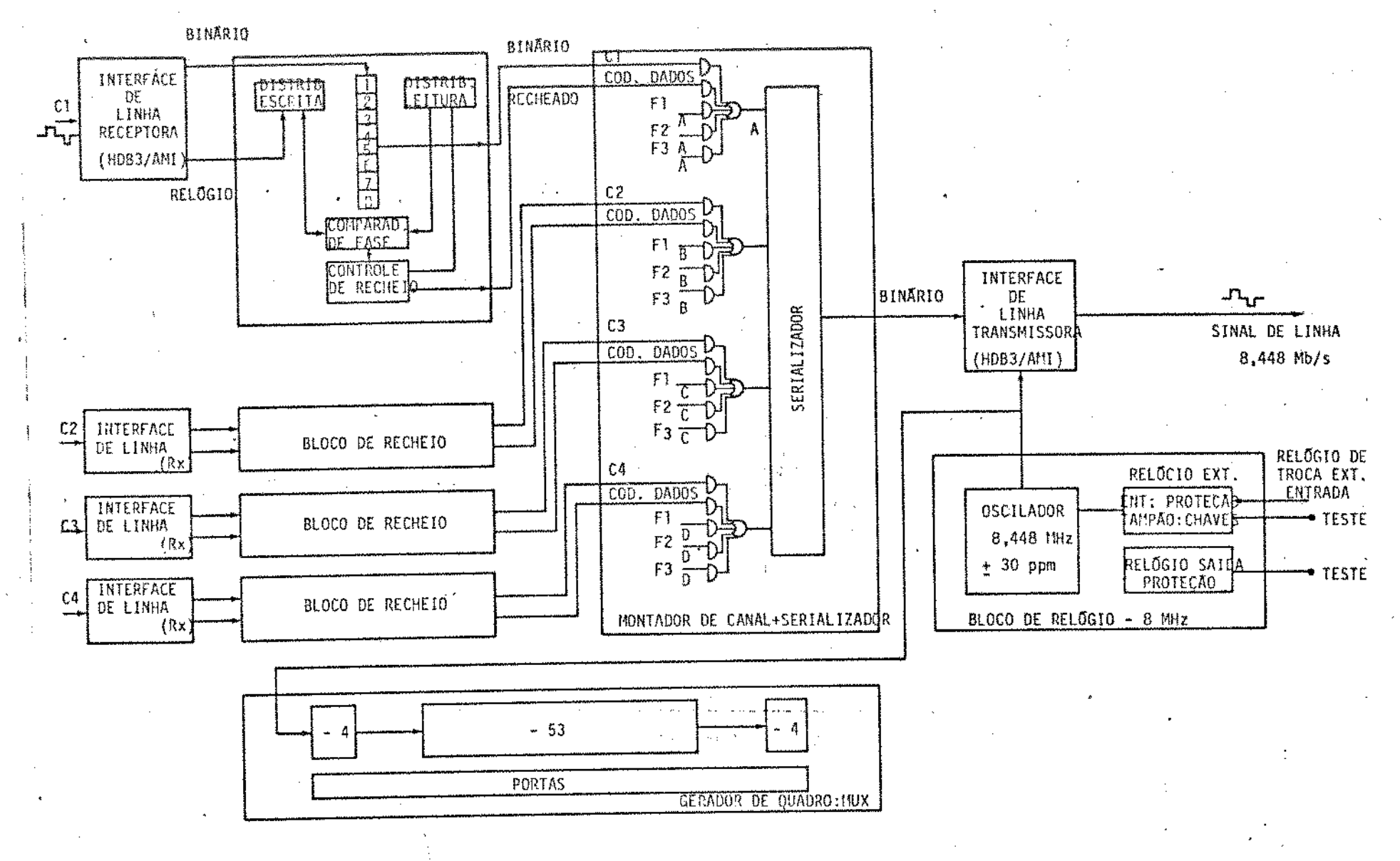


Fig. II.4 - Diagrama de Blocos do Multiplexador

car se houve e onde houve o pulso de recheio introduzido no canal. A tecnica chamada aqui de "recheio" e usada com a finalidade de trazer a uma frequência comum canais assincronos (plesiocronos). Ja vimos anteriormente os 3 tipos de recheio e utilizaremos aqui o chamado recheio positivo que e o adota do pela CCITT.

A fig (II.5) mostra o mecanismo de recheio do sistema MCP de 8 Mbits/seg. os dados são introduzidos em um armazenador sob a influência do relogio de escrita (RE) que esta na frequência de linha. O relogio de leitura do multiplex (R L), (2,048 ± 50 ppm) que e identico para cada canal, e feito pro positalmente mais rapido, que o relogio de escrita, (um quarto de 8,448 Mbtz ± 30 ppm) se usassemos esse processo sem interrupção, o relogio de leitura se sobreporia ao relogio de escrita na tentativa de ler a informação antes que ela seja escrita; para que isso não ocorra torna-se então necessário, que paralizemos em determinados instantes o relogio de leitu ra; ao fazermos esse processo de realização, damos origem um novo tipo de relogio, ao qual denominaremos relogio de lei tura recheado (R L R); com a paralização momentanea do relőgio de leitura (R L), o dado que vai para linha e o mesmo que anteriormente havia sido mandado, ocorrendo pois uma inserção de um dado redundante, que e a finalidade da operação de recheio, esse dado será depois removido no demultiplexador.

Esse processo é feito para cada MCP de 30 canais separadamente, tornando-os síncronos, podendo então serem multiplexados. O comando de recheio é dado por um comparador de fase que compara as fases do relogio de escrita (R E) e do relogio de - leitura recheado (R L R).

Quando o relogio de leitura recheado começa a se sobrepor ao relogio de escrita o comparador de fase emite um pulso que colocara em operação uma porta inibidora que removera um pul so do relogio de leitura. A operação de recheio esta continuamente acontecendo uma vez que o relogio de leitura (R L) estara sempre avançando em relação ao relogio de escrita (RE). A razão de recheio dependera sobretudo da diferença entre o relogio de escrita (R E) e do relogio de leitura (R L)

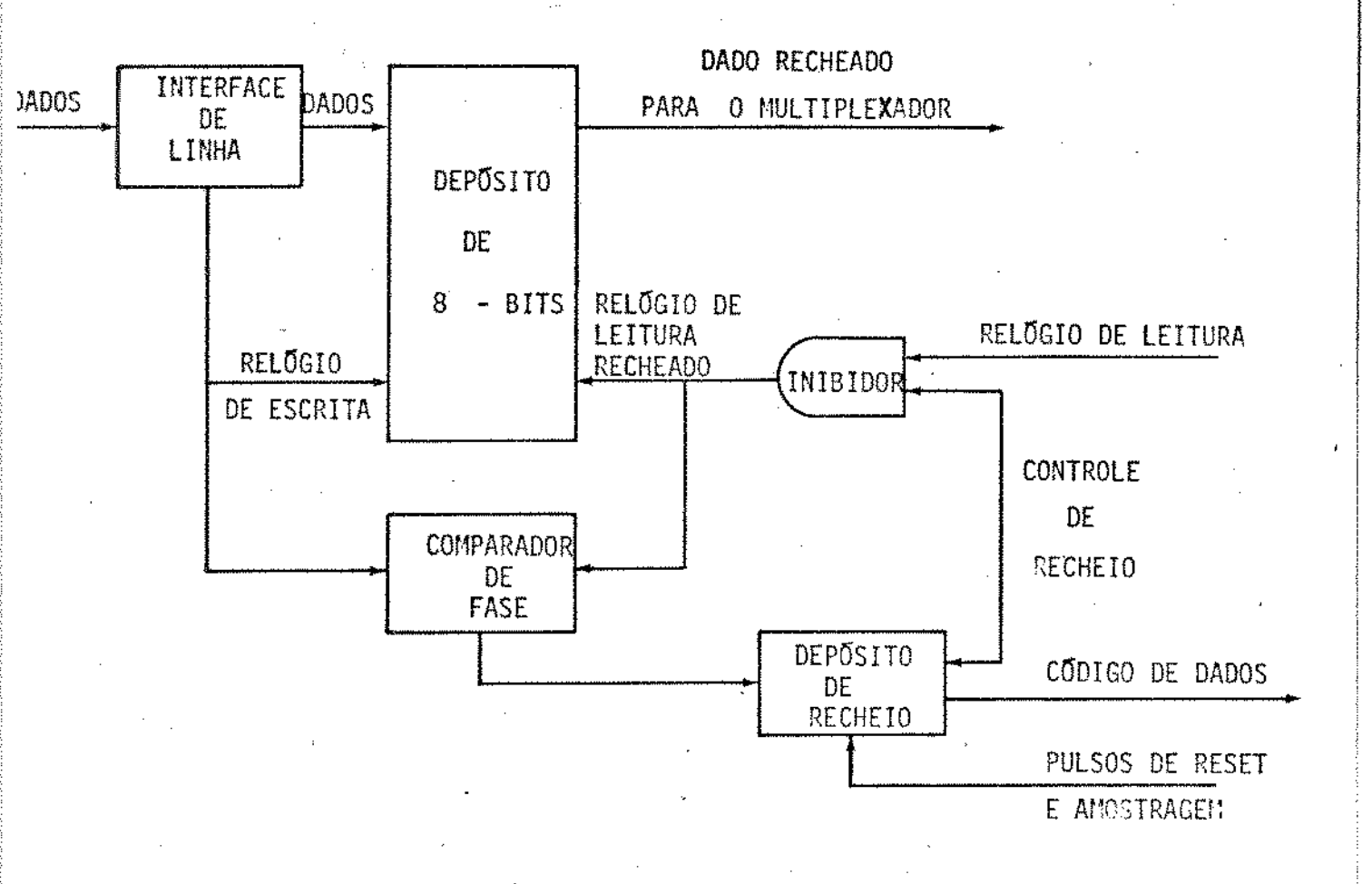


Fig. II. 5 DIAGRAMA EM BLOCOS DO MECANISMO DE RECHEIO (SINCRONIZADOR)

- MONTADOR DE CANAL E SERIALIZADOR

O montador de canal conforme mostra o fig. (II.4) possui quatro circuitos lógicos semelhantes, cada um correspondendo a um canal, cada circuito desses recebe o trem de pulsos binário recheados e os codigos de dados enviados pelo bloco de recheio. Além disso, os Bits que formam a palavra de sincronismo de quadro também estão disponíveis nesses circuitos.

Esses circuitos são constituidos de portas "and" de duas en tradas. Em uma das entradas temos a informação que deve ser introduzida no quadro e na outra entrada temos a onda que deixara passar a informação dentro da janela de tempo que lhe corresponde.

As saidas das portas and's vão para um somador. Existe 1 somador para cada canal. As saidas desses somadores vão para o circuito serializador que terã na sua saida, o trem de pulsos binários de 8 Mbit/s no formato de quadro da fig.II.3 A fig. (II.6) mostra o circuito serializador e a obtensão das ondas de controle do serializador.

As ondas U, V, W, e X controlarão as passagens dos dados pelo serializador. O circuito somador e um \underline{NOR} .

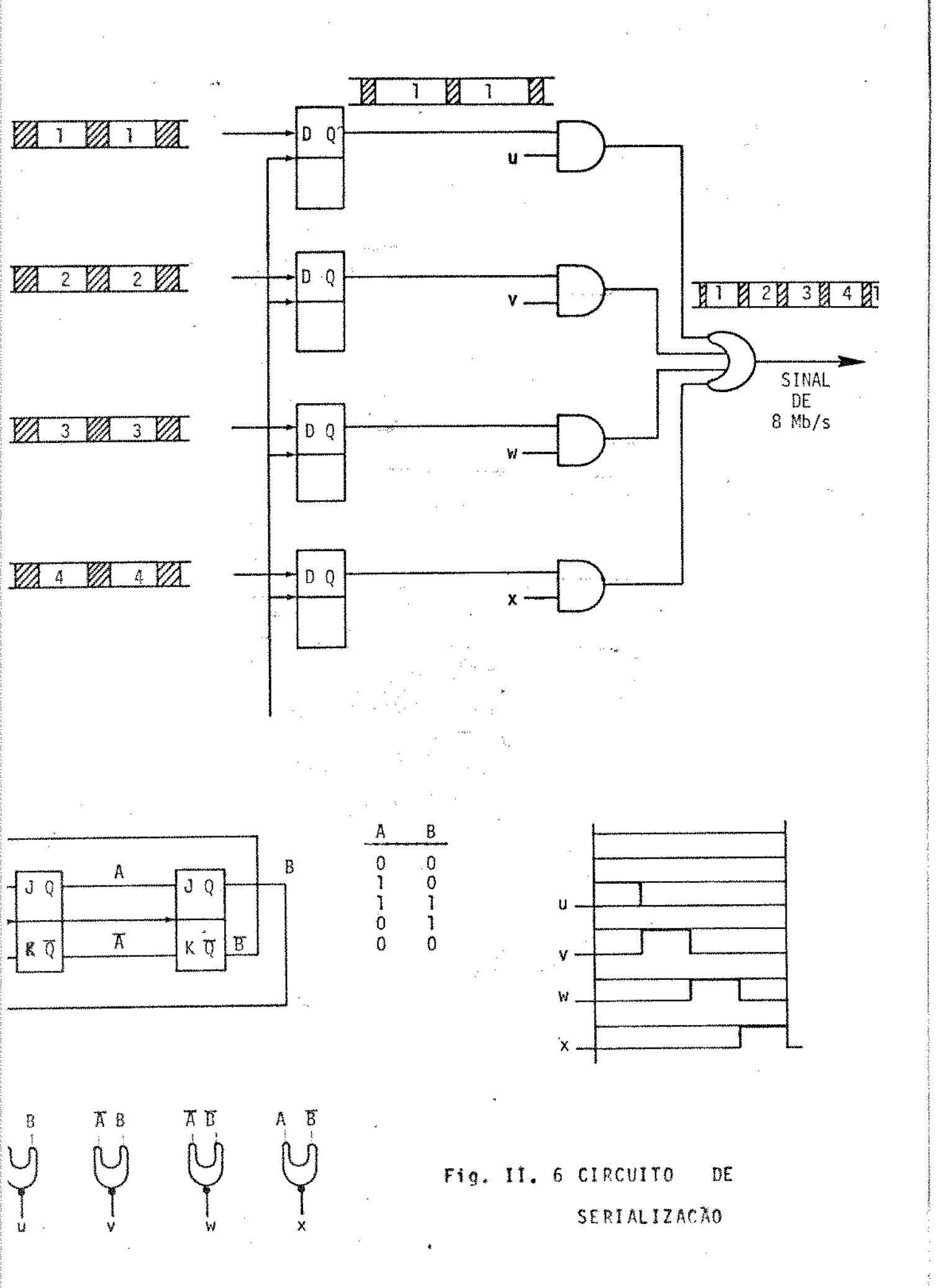
- GERADOR DE QUADRO

O gerador de quadro tem como função gerar as ondas control<u>a</u> doras das portas do montador de canal

São usados 10 dígitos para a palavra de sincronismo de quadro e mais 2 bits, H1 e H2, que são bits de serviço. Esses 12 são divididos em grupos de 4 bits que são os grupos F1, F2, F3, que estão indicados na fig. (II.5) do montador de canal.

Existem também três grupos de 4 bits cada um usado como codigo de dado para indicar se um recheio ocorreu ou não. O relogio de leitura de cada canal e obtido de um relogio comum este relogio contem redundância a fim de acomodar os digitos de controle.

Portanto consiste de 1 relógio com 6 pulsos removidos dele, correspondendo as janelas de tempo dos digitos de controle.



Podemos então dividir o multiplex em cinco partes

- a) Bloco de recheio
- b) Montador de canal + serializador
- c) Bloco de relogio
- d) Gerador de quadro
- e) Interface de linha de 8 Mbits/s

II.3.2-JITTER DE TEMPO DE ESPERA

Devido ao tipo de estrutura de quadro que \tilde{e} necessario quan do se utiliza a tecnica de justificação através de pulsos de recheio, ha uma duração finita de tempo entre a demanda para o recheio e a ocorrencia da oportunidade de recheio, isto \tilde{e} , a janela de tempo do dígito de recheio pode ocorrer. Um efei to de batimento aparece entre a frequência de demanda de recheio (Fs) e a frequência das oportunidades de recheio, que \tilde{e} igual a razão de quadros F_f , surgindo então picos de Jitter de arbitraria baixa frequência. Esse efeito de batimento ocor

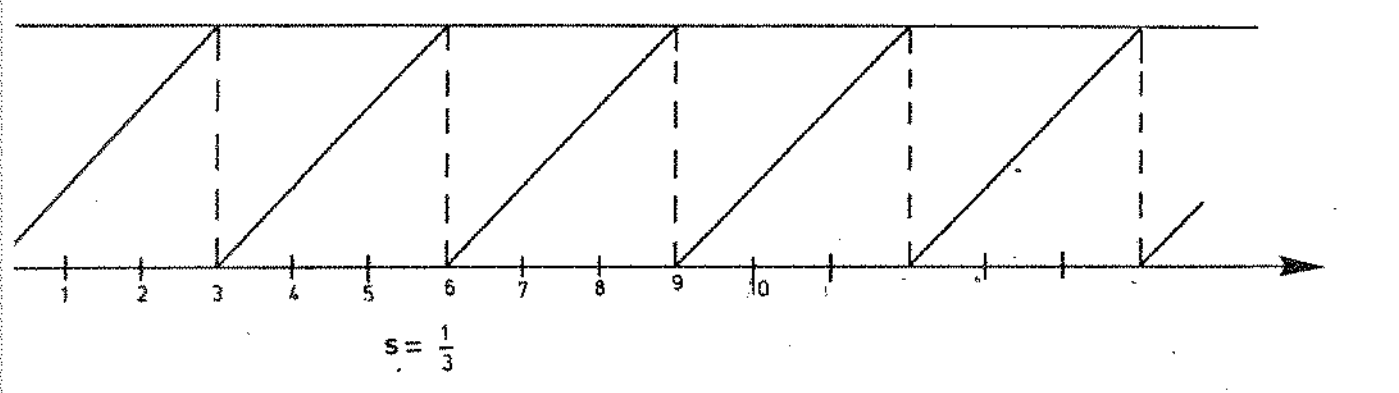
re quando a razão $\frac{Fs}{Ff}$ estã muito perto de uma razão de um

 $n\bar{u}$ mero racional. A razão $S = \frac{Fs}{Ff}$ \bar{e} chamada "razão de recheio"

ou razão de recheio normalizado e deve ficar entre 0 e 1 (0 < S < 1)

Para que se possa entender esse efeito de batimento convēm que observemos a fase ϕ entre o relogio de leitura recheado (R.L.R.) e o relogio de escrita (R.E.) nas posições das oportunidades de recheio. Podemos ilustrar a situação dizendo que o comando de recheio apenas sera dado se ϕ atravessar um limiar ϕ ' na oportunidade de recheio, a fig. (II.7) ilustra esse fato para valores de S igual a exatamente 1/3 e proximo a 1/3. Se S \tilde{e} exatamente 1/3 então um recheio a cada 3 quadros trara $\tilde{\phi}$ de volta ao mesmo valor.

Se porem S ē um pouco maior que 1/3 então depois de cada 3 quadros havera um recheio, porem ter-se-a um aumento gradual



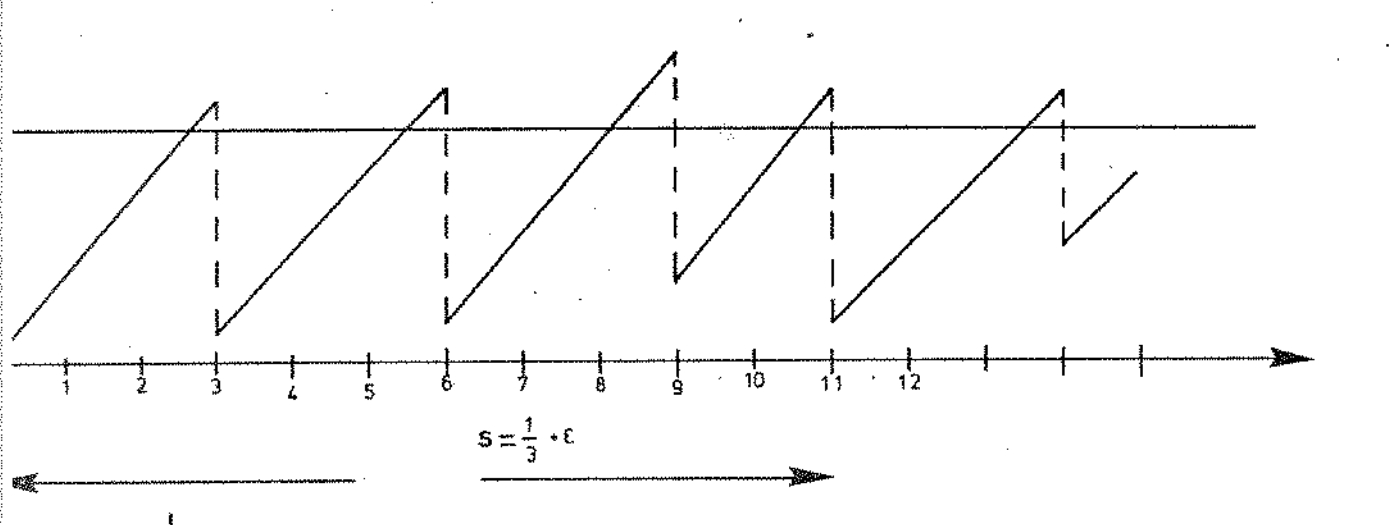


Fig. II.7 - DIFERENÇA DE FASE ENTRE O R.L.R E O R.E PARA $S = \frac{1}{3}$ E $S = \frac{1}{3} + \varepsilon$

em ϕ atë que o limiar seja atravessado somente 2 quadros apos o último recheio. Nesta ocasião teremos um recheio an tecipado em relação à fase dos anteriores, observando-se ainda um pico na defasagem antre os dois relogios de atê $\frac{1}{2}$ bit.

A omissão esporadica de bits de informação resultara, apos a demultiplexagem, num jitter denominada de jitter de tempo de espera. A componente de alta frequência desse jitter é facilmente removida, restando então a parte de baixa frequência provocada pela alteração eventual do ritmo dos recheios comentada acima.

Para valores de $S = \frac{p}{q}$ onde p e q são números primos peque-

nos nenhum jitter de baixa frequência estará presente teoricamente.

Na pratica, devido a deslocamento nas frequencias de rel \underline{o} gio, S estara ligeiramente fora desse numero racional, sur gindo então um jitter de amplitude

$$J = \frac{1}{q}$$
 digitos

As figs. |II.8|e |II.9| mostram a variação de ϕ para valores

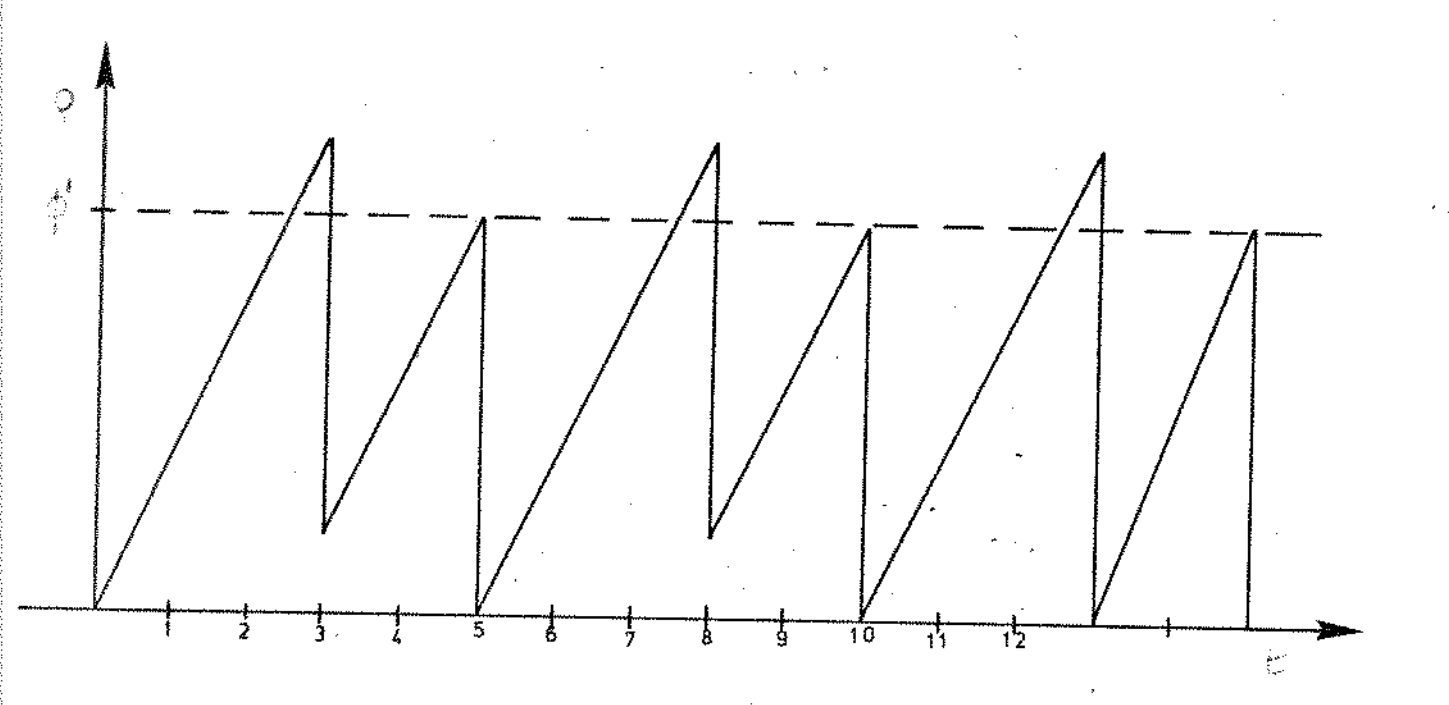
de S =
$$\frac{2}{5}$$
, $\frac{2}{5}$ + ϵ e S = $\frac{3}{7}$, $\frac{3}{7}$ + ϵ respectivamente.

A frequência do jitter Fs \tilde{e} dado por Fs = Δx . N Ff $\begin{bmatrix} 1 \end{bmatrix}$ onde Δx \tilde{e} o desvio da razão de recheio de M; como o desvio - N

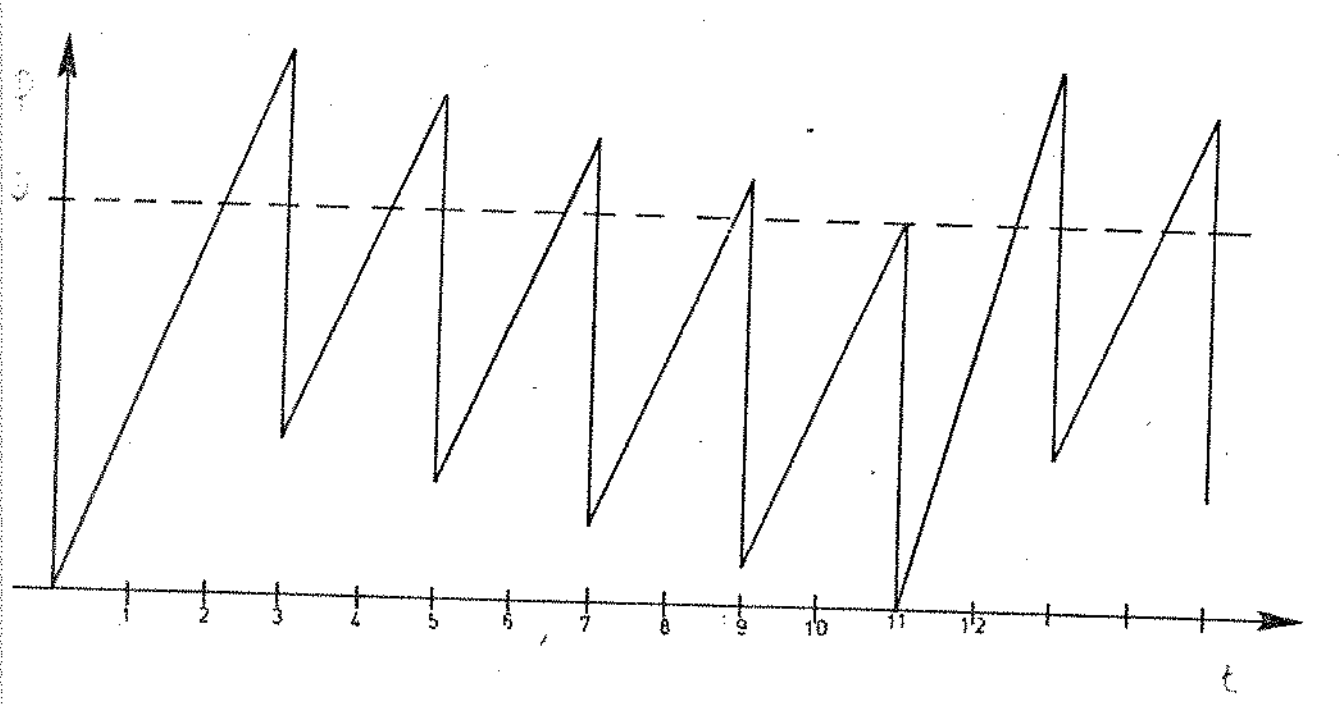
Ax aumenta, aumenta a frequência de jitter e a amplitude do jitter. No capítulo 4 esse jitter é estudado quantitativa mente

II.4- DE-MULJIPLEXADOR

No de-multiplex a informação contida nos digitos do codigo de dados faz saber ao circuito de retirada de recheio, se houve ou não a inserção de um dado redundante. Os digitos de

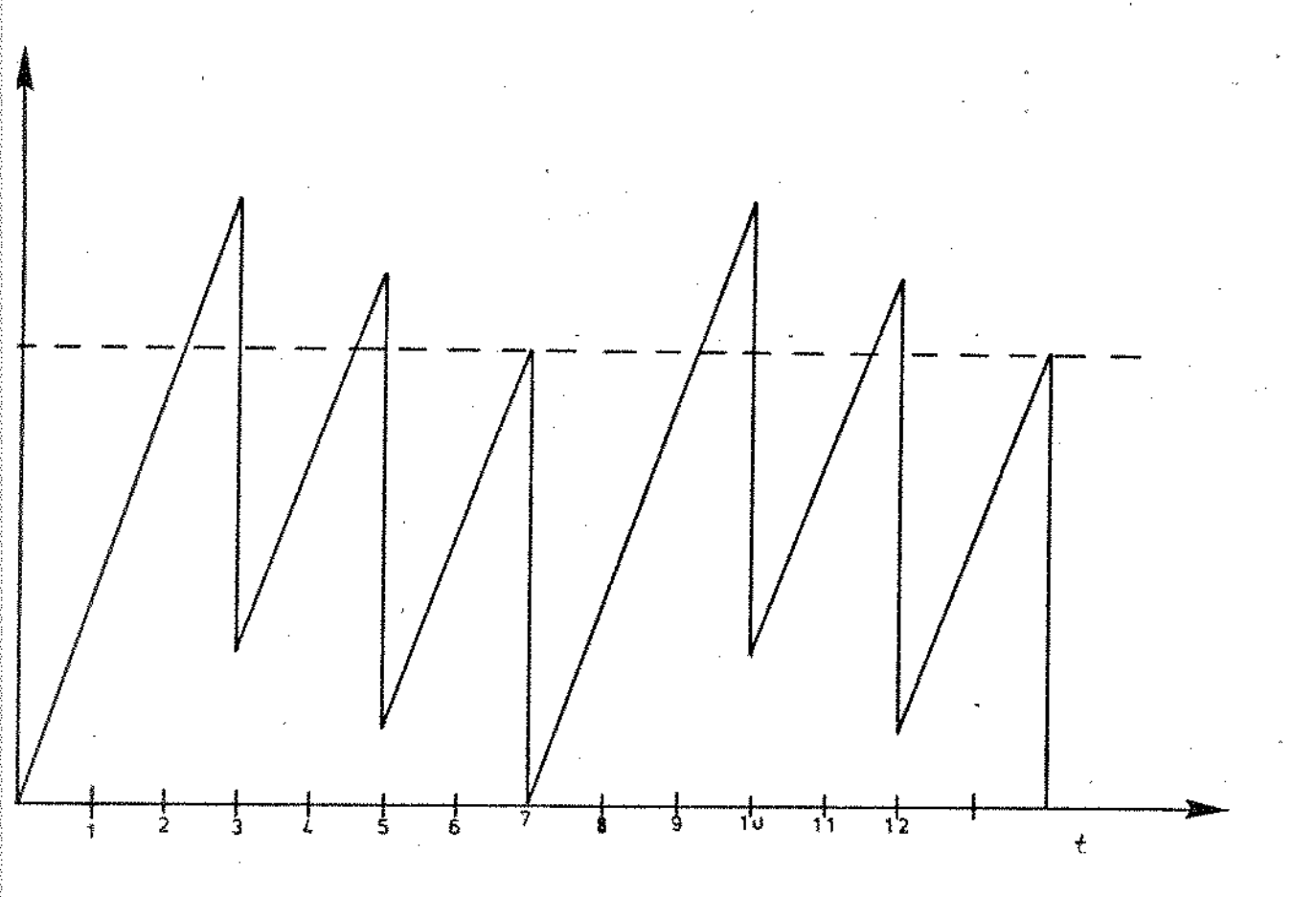


$$S = \frac{2}{5}$$



 $S = \frac{2}{5} + \varepsilon$

Fig. II.8 - DIFERENÇA DE FASE ENTRE O R.L.R E O R.E. PARA S = $\frac{2}{5}$ e S = $\frac{2}{3}$ + ϵ



$$S = \frac{3}{7}$$

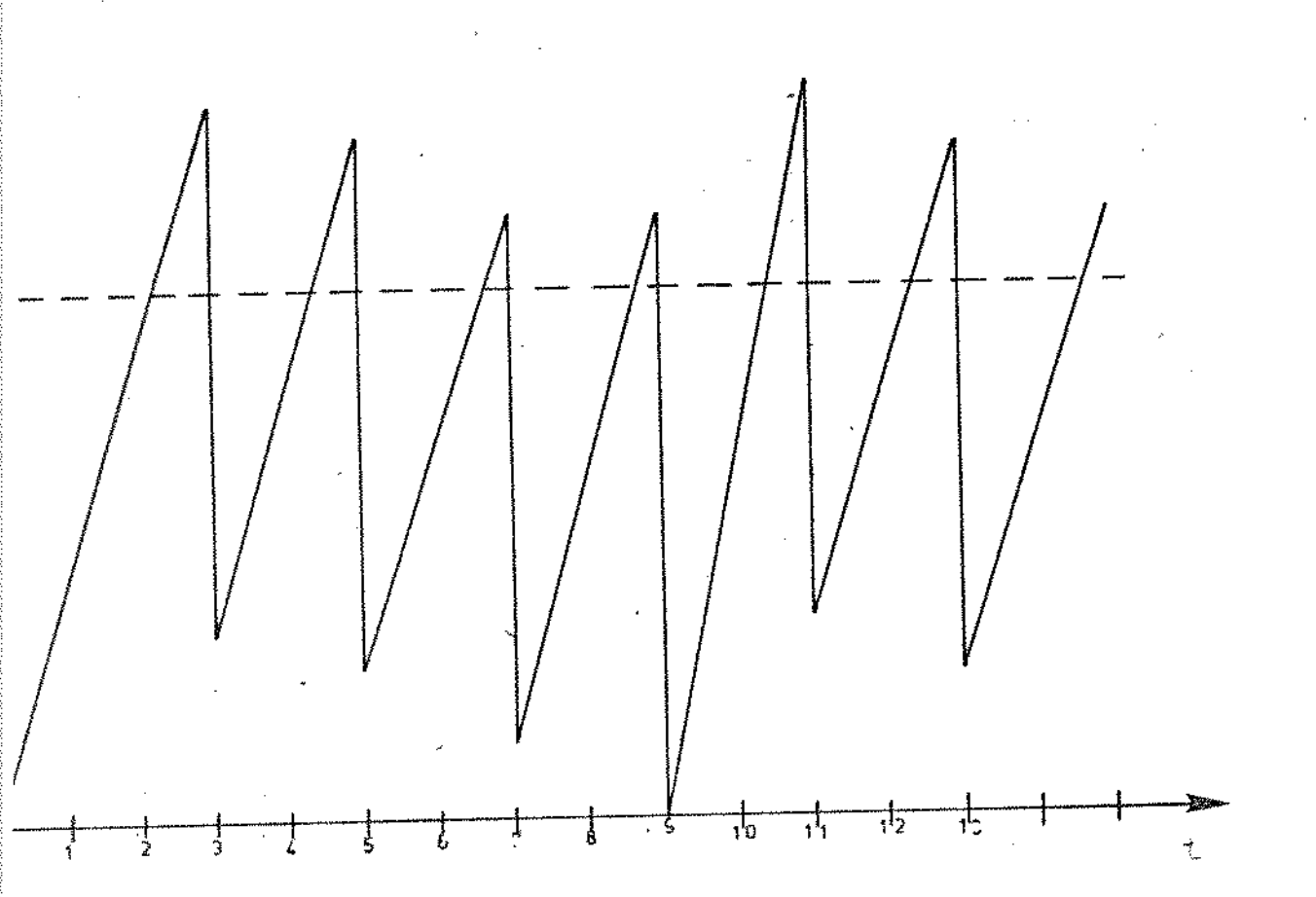


Fig. II.9 - DIFERENÇA DE FASE ENTRE O R.L.R. E O R.E. - PARA S = $\frac{3}{7}$ e S = $\frac{3}{7}$ + ε

- 19 -

controle são removidos do trem de dados, acontecendo o mesmo com os digitos de recheio se eles forem inseridos.

O relogio de escrita do demultiplexador (R.E.D.) que é simi
lar ao relogio de leitura recheado do sincronizador, é deri
vado da interface de linha do DE-MUX.

Um P.L.L. ē usado para atenuar o jitter de alta frequência no relogio de escrita desrecheado e fornecer um relogio regular para ler os dados, na saida do armazenador, na mesma frequencia do relogio de escrita (R.E.D.) no sincronizador. O jitter de tempo de espera pode ser de suficiente baixa frequência para passar através do P.L.L. e aparecera no trem de dados da saida.

O diagrama do DE-MUX é o da fig. (II.10)

A interface de limha na entrada do demultiplexador transforma o trem de pulsos bipolar em um trem de pulsos HDB3 e regenera o relogio de 8,448 Mb/s.

Esse relogio é enviado ao bloco gerador de quadro que é identico ao do multiplexador. No bloco gerador de quadro são obtidas todas as ondas de contrôle de demultiplexador.

O trem de pulsos binários e o relógio regenerado são enviados ao circuito deserializador que irá separar os quadros canais que estavam multiplexados.

O circuito de busca de quadro examina todo o trem de pulso binário a fim de detetar a palavra de sincronismo de quadro. Quando a palavra de sincronismo e detetada, um pulso e envia do aos divisores de frequência ao gerador de quadro para limpar os contadores e iniciar uma nova contagem.

Para cada canal haverã um circuito de retirada do recheio; esse círcuito recebe o trem de pulso recheados referente a cada canal e entrega, a interface de linha de 2 Mb/s., o trem de pulsos sem recheio na frequência de 2,048 Mb/s e o respectivo relogio.

No demultiplexador havera também um bloco de alarme que ira detetar a ausencia da palavra de sincronismo e outras falhas possíveis e, opcionalmente, podera haver um equipamento monitor.

A informação contida nos digitos de codigos de dados faz com que o circuito de retirada de recheio fique sabendo se tal -

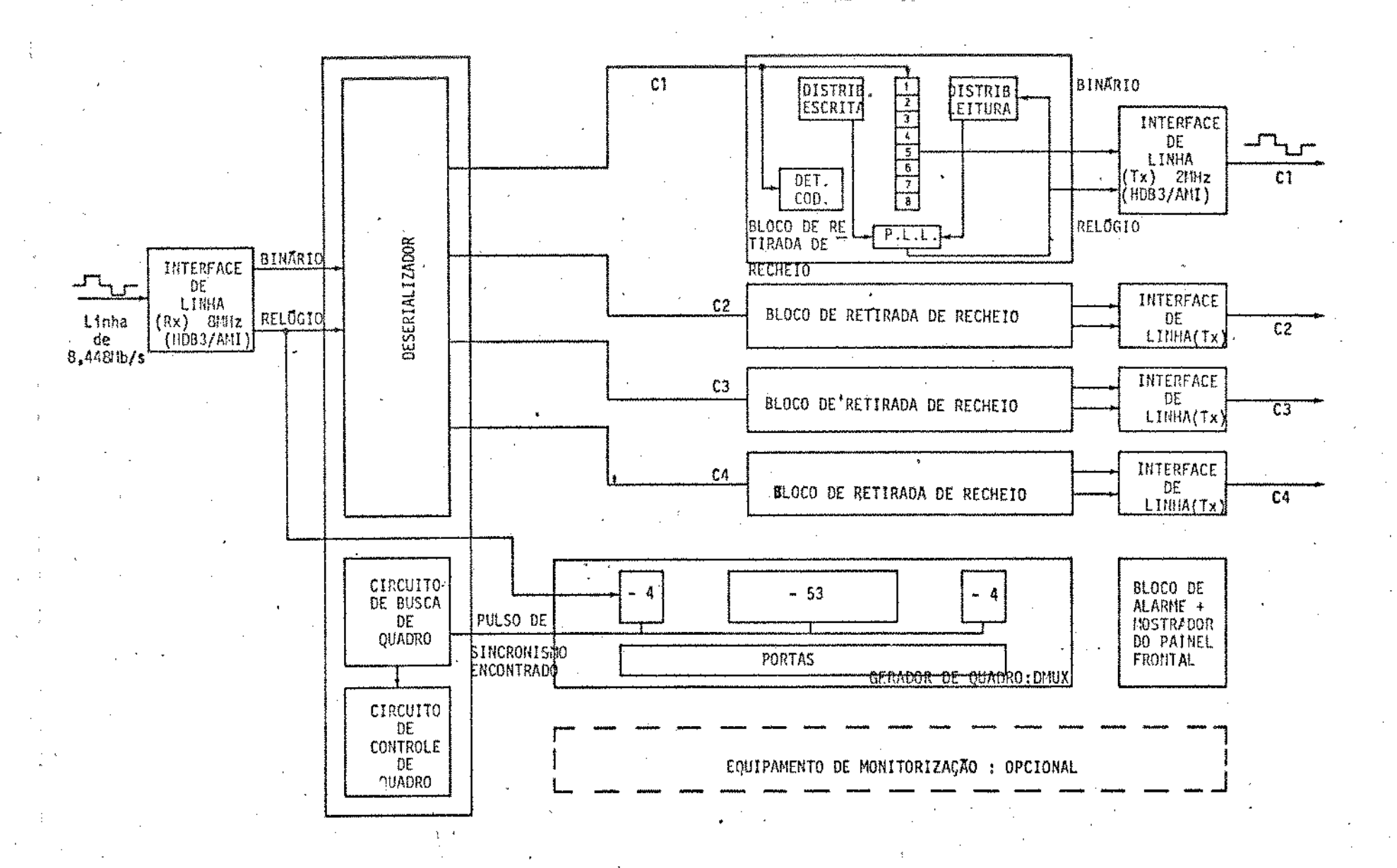


Fig. II.10 - Diagrama de Bloco do Demultiplexador

ocorreu ou não. Os digitos de controle são removidos do trem de dados bem como os digitos recheados, caso o recheio tenha ocorrido, não os escrevendo portanto no armazenador do demultiplexador.

O relogio de escrita do demultiplexador que e similar ao relogio de leitura recheado no demultiplexador provem do relogio obtido na interface de linha do demultiplexador.

O diagrama de blocos do sistema de retirada de pulso de recheio e o da fig. (II.11).

Nosso trabalho consiste no projeto de um P.L.L. que como foi dito tem uma importância fundamental no sistema.

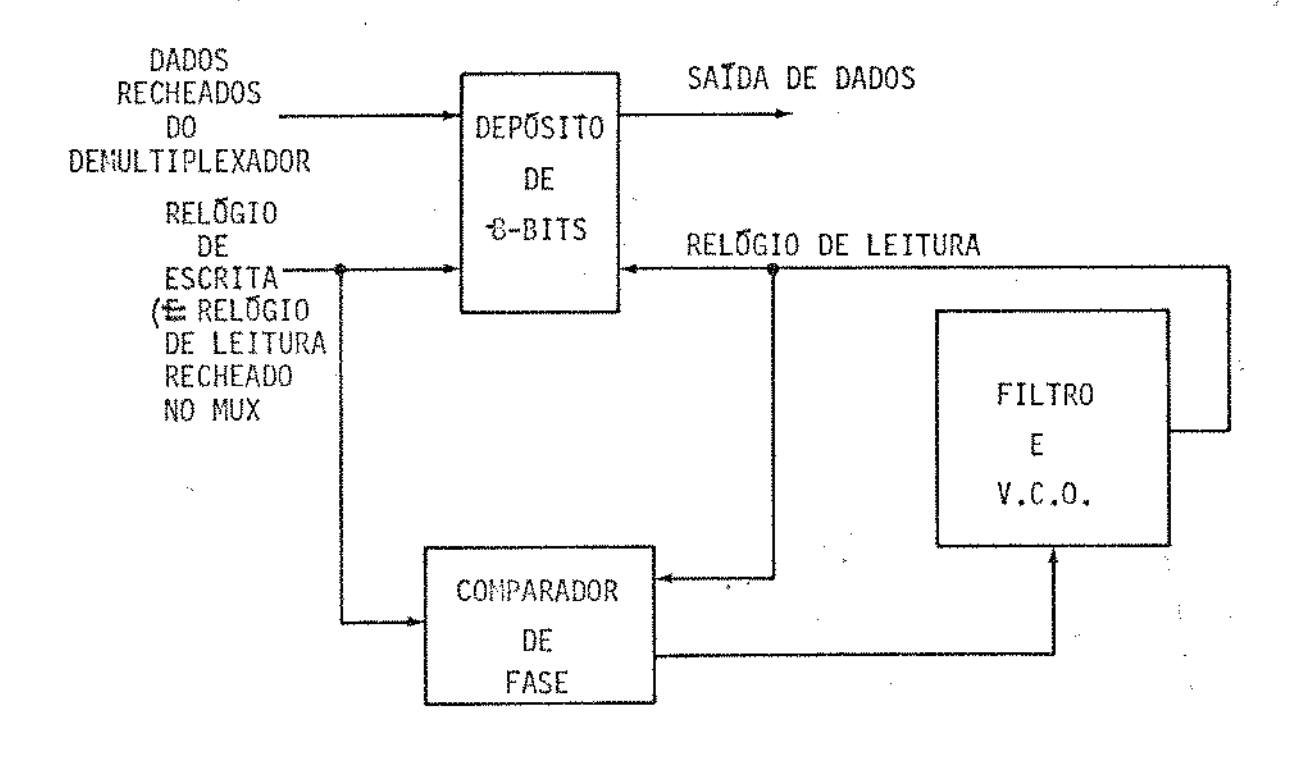


Fig. II. 11

Fig. 11.11 - Diagrama de Blocos do Sistema de retirada do Pulso de recheio

CAPITULO - III

TEORIA DE P.L.L.

III.1 - PRINCTPIOS DE FUNCIONAMENTO

Um P.L.L. è um elemento por meio do qual a fase do sinal de saida de um oscilador controlado a voltagem (0.C.V.) è controlado pela fase de um sinal de entrada.

Um P.L.L. contêm três componentes bāsicos:

- 1. Um detetor de fase (D.F.)
- 2. Um filtro passa-baixas
- 3. Um oscilador controlado a voltagem (O.C.V.), cuja frequência e controlada por uma voltagem externa e dispostos conforme a fig.III,l

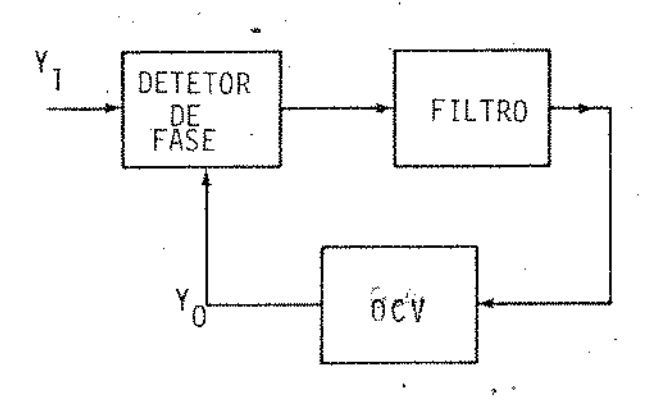


Fig. III.1

O detetor de fase compara as fases do sinal de entrada, e da saída do oscilador controlado a voltagem (O.C.V.); a saída do detetor de fase é uma função da diferença de fase entre os dois sinais comparados, a voltagem de erro é então filtrada pelo filtro passa-baixas da malha, e aplicada ao O.C.V. O sinal de controle aplicado ao O.C.V. muda a frequência de oscilação, reduzindo a diferença de fase entre o sinal de entrada do elemento e o sinal de saida do O.C.V. Quando a malha está presa o sinal de controle é tal que a frequência do O.C.V. é igual a uma frequência media do sinal de entrada sobre um intervalo que de-

pende da faixa de passagem do filtro.

Para se manter a malha presa, a saída do detetor de fase deve ser diferente de zero, pois para cada sinal de contro le sobre OCV existe uma e so uma frequência de saída. Como o sinal de entrada pode variar em frequência dentro de um certo intervalo que a malha pode sincronizar, so existirá uma frequência de saída para o sinal de controle igual a zero as outras frequências a serem sincronizadas precisarão de um sinal de controle e consequentemente um sinal de erro diferente de zero.

Para que entendamos melhor o funcionamento deste elemento consideremos o seguinte exemplo suponhamos que a malha não esteja fechada, isto \tilde{e} , o sinal de controle não esta sendo aplicado ao OCV, estando a entrada deste numa tensão fixa correspondente a um valor central; vamos que os sinais Y_1 e Y_0 sejam senoidais podendo portanto ser escrito na forma

$$Y_i$$
 (t) = A cos ($\omega_{it} + \Theta_i$)

$$Y_0$$
 (t) = B cos ($\omega_{ot} + \Psi_0$)

onde ω_i e a frequência angular do sinal de entrada e ω_0 e a frequência central quiescente do OCV. Se o detetor de fa se tem características senoidais (sec. 3.2) o sinal x_1 pode ser expresso da seguinte maneira:

$$x_1(t) = K_1 \sin |(\omega_i - \omega_0)t + \Theta_i - \phi_0|$$

ou $x_1(t) = K_1 \cos |(\omega_i - \omega_0)t + \Theta_i - \phi_0|$

(3.1)

dependendo se o detetor de fase tome o seno ou o coseno das diferenças de fase entre os sinais.

A constante K_1 e chamada "fator de ganho do detetor de fase" e tem dimensão de volts/rad.

A um dado instante o sinal x_2 \tilde{e} aplicado a entrada do OCV; se a frequência do sinal de entrada estiver dentro de uma determinada região denominada região de captura (cap.4) o sinal de saída da OCV ira se modificando na tendencia de di

minuir a diferença de frequência entre o sinal de entrada e o sinal de sua saïda. Quando os dois sinais estão sincronizados podemos escrever que

$$Y_0$$
 (t) = B cos ($\omega_{it} + \Psi_0$) (3.2)

significando que a quantidade ϕ_0 foi transformada numa função linear do tempoda seguinte forma

$$\phi_0 = (\omega_i - \omega_b)t + \Psi_0 \tag{3.3}$$

e o sinal de erro x_{1} tornou-se um sinal de cujo valor $ar{\mathbf{e}}$ dado por

$$x_1 = K_1 \cos (\theta_1 - \Psi_0)$$
 (3.4)

se o detetor de fase tomar o seno das diferenças de fase o filtro da malha retira a componente dc do sinal de erro, - portanto o sinal de controle c2 pode ser escrito da seguinte maneira

$$x_2 = x_1 = K_1 \cos (\theta_1 - \Psi_0)$$
 (3.5)

a frequência angular instantânea ω_{inst}ê uma função linear - (supondo que o OCV tenha características lineares) do sinal de controle em torno da frequência angular central ωο, portanto podemos escrever ωinst da seguinte maneira

winst =
$$\frac{d}{dt} \left[\omega_{ot} + \phi_{o} \right] = \omega_{o} + K_{3} x_{2}$$
 (3.6)

Portanto

$$\frac{d\omega}{dt} = K_3 x_2 \tag{3.7}$$

onde K₃ ẽ a constante de ganho do OCV e tem dimensão radianos por segundo por volts.

Desenvolvendo-se (3.6) temos

$$\frac{d}{dt}\left[\left(\omega_{i}-\omega_{o}\right)+\Psi_{o}\right]=k_{3}K_{1}\cos\left(\Theta_{i}-\Psi_{o}\right)$$

$$(\omega_i - \omega_0) = K_1 K_3 \cos (\Theta_i - \Psi_0)$$
 (3.8)

e portanto

$$\Psi_0 = \Theta_1 - \cos^{-1} \frac{\omega_1 - \omega_0}{K_1 K_3}$$
 (3.9)

e x₁ pode ser escrito como

$$x_1 = \frac{\omega_1 - \omega_0}{K_3} \tag{3.10}$$

Podendo agora recapitular o princípio de funcionamento desse elemento. Inicialmente os sinais Y_i e Y_0 são assincronos: o sinal Y_i era caracterizado por uma frequência ω_i e uma fase Θ_i , o sinal Y_0 era caracterizado por uma frequência ω_0 e uma fase ϕ_0 , ω_0 e ϕ_0 sendo independente de ω_i e Θ_i . A malha não estava presa. Quando a malha é fechada, dentro de certas circunstâncias o sinal Y_0 fica sincronizado com o sinal Y_i e a malha é dita estar presa (locked). Os sinais tem a mesma frequêncía angular ω_i , mas uma diferença em fase (Θ_i - Ψ_0) dado por (3.8) existe entre os dois sinais. Esta diferença de fase produz na saida do detetor de fase uma componente do que vai, através do filtro, ser o sinal de comando da entrada do OCV:

$$x_2 = x_1 = \frac{\omega_i - \omega_o}{K_3}$$

A partir desta equação fica claro que através do sinal x_2 a frequência angular central do OCV muda para a frequência angular ω_1 pois

$$\omega_{inst} = \omega_0 + K_3 x_2 = \omega_0 + \omega_1 = \omega_0 = \omega_1$$

Se a diferença de frequência angular $\omega_1^--\omega_0^-$ ē muito menor que o produto $K_1^-K_3^-$ tem-se que

$$\Theta_1 - \Psi_0 = \cos^{-1}_0 = \frac{\pi}{2}$$

ou seja os sinais estão em quadratura de fase; se tivessemos tomado um detetor do tipo senoidal θ_i - Ψ_0 = \sin^{-1}_0 = 0 os sinais estariam em fase. Para o 1º caso podemos substituir Ψ_0 por uma constante θ_0 tal que

$$\Theta_0 = \Psi_0 - \frac{\pi}{2}$$

e então

$$x_1 = K_1 \cos (\theta_i - \Psi_0) = k_1 \sin (\theta_i - \theta_0)$$

A dimensão do produto $K = K_1 K_3 \bar{e} (s^{-1})$ e esse produto comumente \bar{e} chamado de ganho da malha.

Devemos notar que quando a diferença $|\omega_i - \omega_o|$ exede o valor do ganho da malha K, uma solução para θ_o^* não pode ser encontrada através da eq. 3.9 e a malha não poderá prender a fase da saída. a frequência angular do OCV volta ao seu valor central e x_1 reassume a sua forma ac inicial. Em termos físicos isso apenas significa que o detetor de fase não foi capaz de fornecer um valor do que pudesse manter o estado de sincronismo. Os valores de ω_i a partir da qual aparece tal fenomeno depende do tipo de detetor de fase usado.

III.2 - COMPONENTES DA MALHA

Como vimos no item III. los três elementos basicos de um PLL são

- detetor de fase
- oscilador controlado a voltagem
- filtro

- DETETOR DE FASE

Um detetor de fase e um elemento cuja saída e uma função da diferença de fase instantânea entre os dois sinais de entr<u>a</u> da. A equação que o define e da forma

$$x_1 = f(\Phi_1 - \Phi_0)$$

onde x_1 \tilde{e} o sinal de saída do detetor de fase, Φ_i e Φ_o são as fases instantâneas dos sinais de entrada e f() \tilde{e} uma relação funcional que dependerã do tipo de detetor usado esquematicamente o detetor de fase pode ser representado pelo diagrama da fig. (III-2)

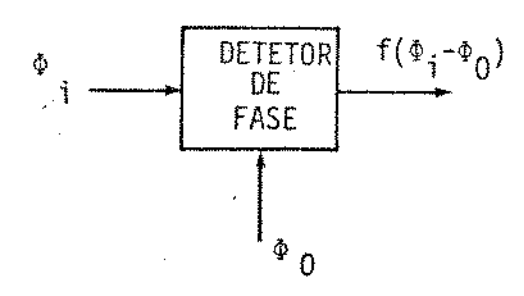


Fig. III.2

Podemos classificar os detetores de fase de acordo com a função f() da seguinte maneira

$$\begin{split} f(\phi_i - \phi_o) &= \text{sen } (\phi_o - \phi_o) - \text{detetor senoidal} \\ f(\phi_i - \phi_o) &= \phi_i - \phi_o &- \text{detetor linear} \\ f(\phi_i - \phi_o) &= \phi_i - \phi_o \text{ para } \frac{d}{2} < \phi_i - \phi_o < \frac{d}{2} \text{ dente de serra} \end{split}$$

ou qualquer outra função que possamos imaginar e que seja compatível com a filosofia de projetos que estiver sendo adotada.

- OSCILADOR CONTROLADO A VOLTAGEM (OCV)

O oscilador controlado a voltagem (OCV) é um oscilador cuja frequência instantânea varia de acordo com o sinal aplicado. Geralmente é desejavel que o desvio com relação à frequência central ao oscilador seja uma função linear da tensão de entrada.

A equação que a define é

$$Y_0(t) = A \cos (\omega_{1t} + K_3) \times \chi_2(t) dt$$

onde Y $_0$ e o sinal de saída, ω_0 e a sua frequência com sinal de controle igual a zero, K_3 e o ganho ou sensitividades do OCV, x_2 (t) e o sinal de controle; esquematicamente podemos representar o OCV de acordo com a fig (III.3)

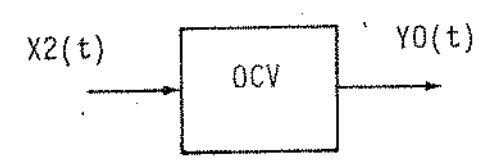


Fig. III.3

Existem varias especificações que devem ser seguidas pelo OCV, dependendo da aplicação em que esteja sendo usado; as principais especificações são

- a) grande intervalo de controle de frequência
- b) linearidade de frequência com tensão de controle
- c) estabilidade de fase e frequência
- d) razoavel fator de ganho ou sensitividade

devemos atentar para o fato que essas especificações são conflitantes entre si; por exemplo, um aumento na estabilidade de frequência estã em oposição com o item a), b) e d)

Três tipos de OCV são comumente usados, em ordem decrescente de estabilidade temos

- 1) oscilador a cristal (VCXO)
- 2) oscilador a LC
- multivibrador RC

que devem ser escolhido de acordo com a aplicação em que e<u>s</u> tejan sendo usado.

- FILTROS

Tres filtros serão considerados nesse trabalho, o filtro pas sa baixa comum, o filtro tipo LAG e o filtro tipo LEAD; suas configurações bem como suas funções de transferências estão na fig. (III.4)

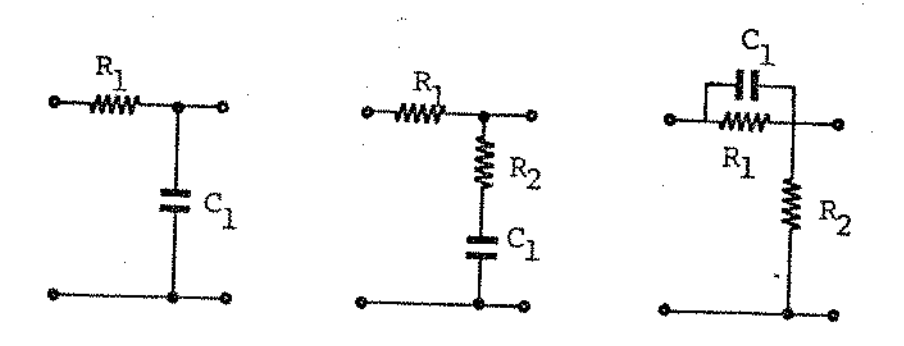


Fig. III. 4

III.3 - EQUAÇÕES GERAIS

Vamos considerar agora o comportamento do P.L.L. quando, com a malha presa, o sinal de entrada, sofre uma determinada perturbação.

Para fazer isso temos de escrever as equações que governam ca da componente da malha.

Vamos supor nesse paragrafo que o detetor de fase seja do tipo senoidal, como o que foi discutido no item III.1 consideremos o diagrama da fig. (III.5)

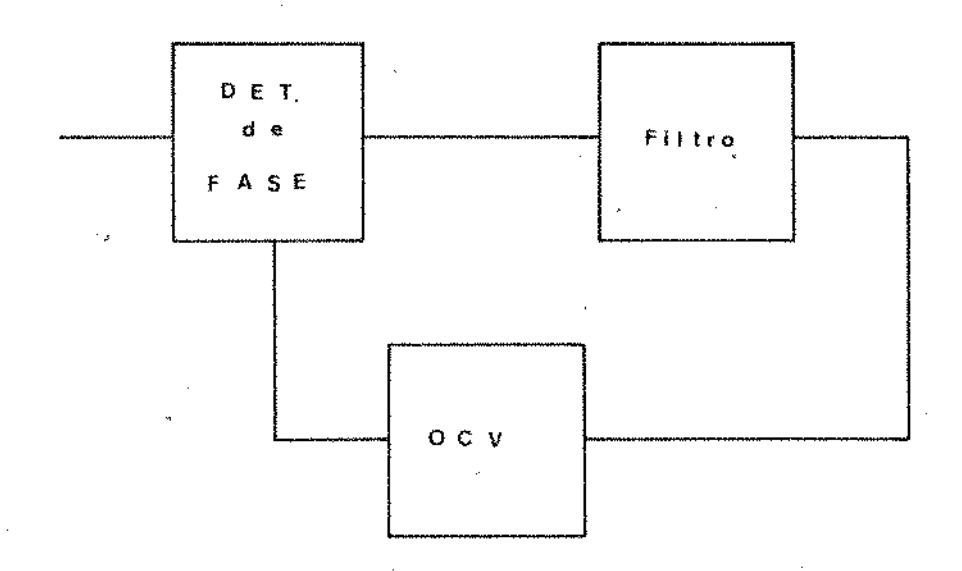


Fig. III. 5

Onde os sinais $Y_i(t)$ e $Y_0(t)$ são escritos da forma:

$$Y_i(t) = A sen[\omega t + \phi_i(t)]$$

$$Y_0(t) = B \cos[\omega t + \phi_0(t)]$$

os dois sinais não tem necessariamente a mesma frequência - angular $\underline{\omega}$, sendo que a diferença entre as duas frequências estã implicita na diferença $\phi_i(t)$ - $\phi_o(t)$. Como o detetor de fase \overline{e} do tipo senoidal podemos escrever

$$x_1(t) = K_1 sen[\phi_1(t) - \phi_0(t)]$$
 (3.11)

Tomemos como F(s) a função de transferência do filtro, e con sequentemente f(t) serã sua resposta ao impulso; portanto para o sinal de controle podemos escrever

$$x_2(t) = x_1(t) * f(t)$$
 (3. 12)

e podemos então escrever a frequência instantânea da saída do OCV como

$$\frac{d\phi_0}{dt} = K_3 x_2(t)$$
 (3. 13)

se combinarmos as eqs. (3.11 , 3.12 e 3.13) teremos

$$\frac{d\phi_0}{dt} = K_1 K_3 \quad sen[\phi_1(t) - \phi_0(t)] * f(t)$$
 (3.14)

se tomarmos a diferença $\phi_i(t)$ - $\phi_0(t)$ como sendo um número pequeno tal que

$$sen \left[\phi_{i}(t) - \phi_{o}(t)\right] \simeq \phi_{i}(t) - \phi_{o}(t)$$

teremos

$$\frac{d\phi_0}{dt} = K \left[\phi_1 - \phi_0(t)\right] * f(t)$$
 (3. 15)

Se tomarmos as transformadas de Laplace de ambos os lados na eq. (3. 15) chegaremos a equação linearizada da malha que é dado por

$$H(S) = \frac{\phi_0(S)}{\phi_1(S)} = \frac{K F(S)}{S + KF(S)}$$
 (3. 16)

e a função erro

$$\phi(S) = \phi_{i}(S) - \phi_{0}(S) = |1 - H(S)| \phi_{i}(S)$$

serā dada por

$$1 - H(S) = \frac{\phi(S)}{\phi_1(S)} = \frac{S}{S + KF(S)}$$
 (3. 17)

Poderemos agora dividir as malhas em ordem de grandeza da potência de S assim teremos:

i - MALHA DE 1ª ORDEM

A malha de primeira ordem ter \tilde{a} F(S) = 1 ou seja não existe filtro nesse tipo de malha, e a equação que rege o comportamento desse tipo de elemento fica da seguinte forma:

$$H(S) = \frac{KF(S)}{S + KF(S)} = \frac{K}{K + S}$$
 (3. 18)

e

$$1 - H(S) = \frac{S}{S + K}$$

que é equivalente no domínio

$$\frac{d\phi_0}{dt} + K\phi_0(t) = K\phi_i(t)$$

11- MALHA DE 2ª ORDEM

Como malha de 29 ordem definimos aquela cuja a função de transferência H(S) tem em seu denominador um polinomio de 29 grau em S. Varios são os filtros que dão uma malha dessa ordem, porem os mais comuns são os três filtros mostrados na fig. III.6

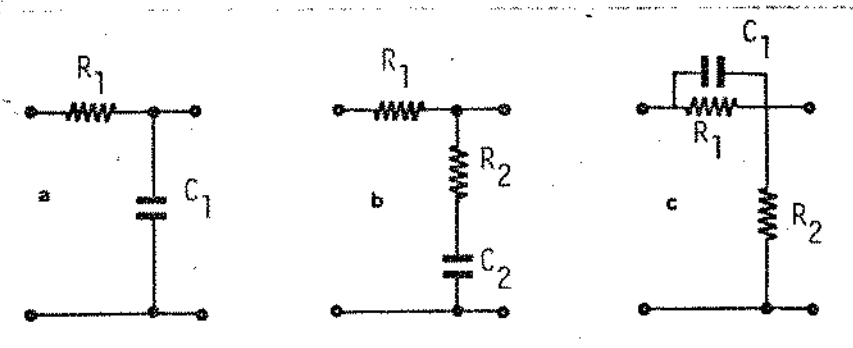


Fig. III. 6

Para o caso do filtro da fig. ii-a temos

$$F(S) = \frac{1}{1 + S\tau_1}$$
 onde $\tau_1 = R_1C$

e consequentemente teremos

$$H(S) = \frac{K}{\tau_1 S^2 + S + K}$$
 (3.19)

$$\frac{\tau_1 s^2 + s}{\tau_1 s^2 + s + K}$$
 (3. 20)

que no dominio do tempo são eq. diferencial linear de $2^{\frac{a}{-}}$ ordem do tipo

$$\tau_{1} = \frac{d^{2} \phi_{0}}{dt^{2}} + \frac{d\phi_{0}}{dt} + K \phi_{0}(t) = K \phi_{i}(t)$$
 (3. 21)

$$\tau_1 \frac{d^2 \phi}{dt^2} + \frac{d \phi}{dt} + K \phi(t) = \tau_1 \frac{d^2 \phi_1}{dt^2} + \frac{d \phi_1}{dt}$$
 (3.22)

Para o caso do filtro da fig. ii-b teremos:

$$F(S) = \frac{1 + S\tau_2}{1 + S\tau_1} \quad com \quad \tau_1 = (R_1 + R_2) C$$

$$\tau_2 = R_2 C$$

Do mesmo modo que no caso anterior so temos de substituir - F(S) na eq. 3.18 , fazendo isso chegamos a

$$H(S) = \frac{K\tau_2 S + K}{\tau_1 S^2 + (1 + K\tau_2) S + K}$$
(3.23)

$$1 - H(S) = \frac{\tau_1 S^2 + S}{\tau_1 S^2 + (1 + K\tau_2) S + K}$$
 (3.24)

que no dominio do tempo correspondem as seguintes equações:

$$\tau_{1} \frac{d^{2} \phi_{0}}{dt^{2}} + (1 + K\tau_{2}) \frac{d\phi_{0}}{dt} + K\phi_{0}(t) = K\tau_{2} \frac{d\phi_{i}}{dt} + K\phi_{i}(t)$$

$$\tau_{1} \frac{d^{2} \phi}{dt^{2}} + (1 + K\tau_{2}) \frac{d\phi}{dt} + K\phi(t) = \frac{\tau_{1} d^{2} \phi_{i}}{dt^{2}} + \frac{d\phi_{i}}{dt}$$
(3.25)

Para o caso do ii-c temos que

$$F(S) = \frac{R_1 R_2 C_1 S + R_2}{R_1 R_2 S C_1 + (R_1 + R_2)}$$

$$F(S) = \frac{R_2 + S\tau_1}{(R_1 + R_2) + S\tau_1} \text{ onde } \tau_1 = R_1 R_2 C$$
 (3.27)

portanto :

$$H(S) = \frac{\frac{KR_2}{\tau_1} + KS}{S^2 + \frac{R_1 + R_2}{\tau_1} + KS} + \frac{KR_2}{\tau_1}$$
(3.28)

Fazendo-se analogia com a teoria de servomecanismo podemos substituir os parometros τ_1 e τ_2 , que são parametros físicos pelos parametros ξ e ω_n que são parametros mais matemāticos; lembrando-se que em teoria de controle de servomecanismo o denominador da função de transferência é do tipo $S^2 + 2\xi\omega_n + \omega_n^2$ basta compararmos esse polimônio com os polimônios das eq. 3.19 e 3.23 para vermos que no caso do filtro da fig. ii-a temos

$$\omega_n^2 = \frac{K}{\tau_1}$$
 e $2\xi\omega_n = \frac{1}{\tau_1}$

e a nova eq. fica sendo

$$H(S) = \frac{\omega_n^2}{S^2 + 2\xi\omega_n + \omega_n^2}$$
 (3.29)

com o filtro da fig. ii-b temos

$$\omega_{\rm n}^2 = \frac{K}{\tau_1} = 2\xi \omega_{\rm n} = \frac{1 + K\tau_2}{\tau_1}$$
 (3.30)

e a eq. 3.28 fica transformada em

$$H(S) = \frac{(2\xi\omega_{n} - \omega_{n}^{2}/K)S + \omega_{n}^{2}}{S^{2} + 2\xi\omega_{n}^{2}S + \omega_{n}^{2}}$$
(3.31)

Para o filtro da fig. ii-c temos

$$\omega_n^2 = \frac{K}{\tau_1}$$

e

$$2\xi \omega_{n} = K + \frac{1}{\tau_{1}} + \frac{R_{1}}{R_{2}\tau_{1}}$$
 (3.32)

III.4 - ESTABILIDADE

Pelos paragrafos anteriores podemos notar que o comportamento da malha $\bar{\rm e}$ claramente não linear; porem, se tomarmos o er ro de fase como uma quantidade pequena podemos dar a malha - um tratamento linear; fazendo esse tipo de aproximação podemos agora examinar o problema de estabilidade que $\bar{\rm e}$ uma das considerações mais importante em qualquer tipo de sistema. Sendo K_1 e K_3 os ganhos do detetor de fase e OCV respectivamente temos que a função de transferência do P.L.L. em malha aberta fica sendo

$$G(S) = K_1 K_3 \frac{F(S)}{S}$$

Estudaremos agora a estabilidade de tal sistema para os diversos tipos de filtros ou F(S).

III.4.a-MALHA DE PRIMEIRA ORDEM

Vimos que para a malha de $1^{\frac{a}{2}}$ ordem \tilde{e} necessario apenas omitirmos o filtro, ou seja, F(S) = 1, portanto a função de transferência em malha aberta fica sendo

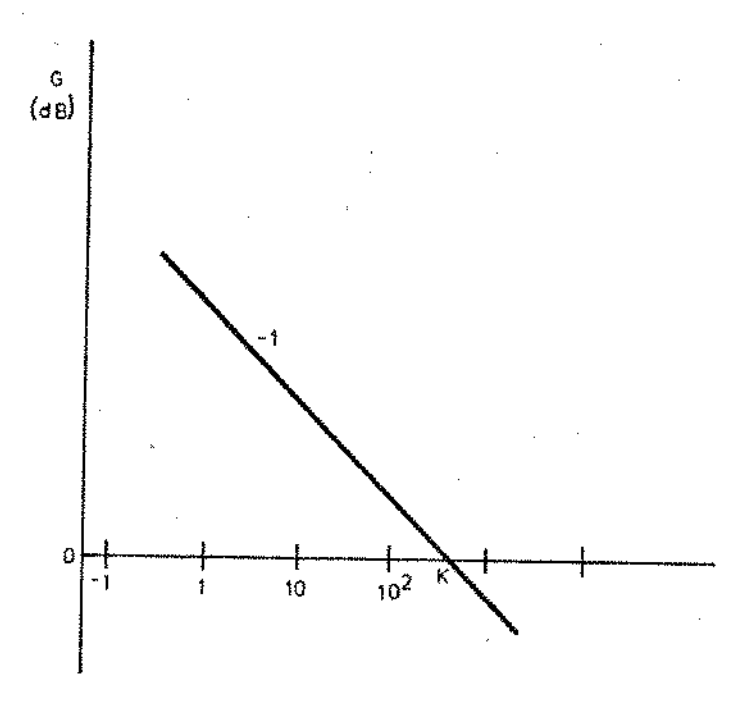


Fig. III.7 - Diagrama de Amplitude para - malha de $1^{\frac{a}{2}}$ ordem

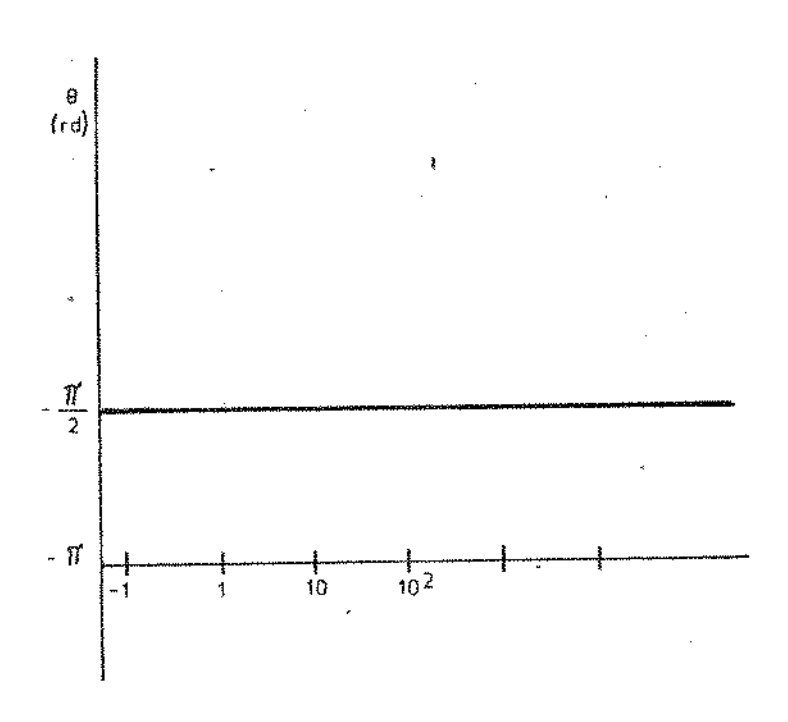


Fig. III.8 - Diagrama de Fase para malha de l^a ordem

$$G(S) = \frac{K}{S}$$

As curvas representando o ganho em dB, que \overline{e} G = 20 log |G(S)|, bem como o diagrama de fase estão mostradas nas fig. III.7 e III.8

Como vemos esse sistema \tilde{e} sempre estavel muito embora, esse tipo de malha nunca \tilde{e} usado, pois \tilde{e} princípio basico em projeto de P.L.L. que as frequências maiores que ω_i - ω_o sejam filtradas

III.4.6-MALHA DE SEGUNDA ORDEM COM FILTRO RC

Para a malha de 2ª ordem com filtro passa baixa com função de transferência

$$F(S) = \frac{1}{1 + S\tau_1}; \tau_1 = RC$$

A função de transferência em malha aberta fica sendo

$$G(S) = \frac{K}{S(1 + S\tau_1)}$$

Os diagramas de amplitude e fase são mostrados nas fig.III.9 e III.10

Como se nota em condições idefais, onde qualquer imperfeição não existe, a malha é estável; se quisermos porém uma constante de tempo τ_l grande a margem de fase na frequência

 $\omega = \frac{K}{\tau_1}$ ē pequena e, qualquer imperfeição, levaria a malha

a instabilidade

III.4.c-MALHA DE SEGUNDA ORDEM COM FILTRO TIPO "LAG"

Para esse tipo de filtro a função de transferência

$$F(S) = \frac{1 + S\tau_2}{1 + S\tau_1}$$

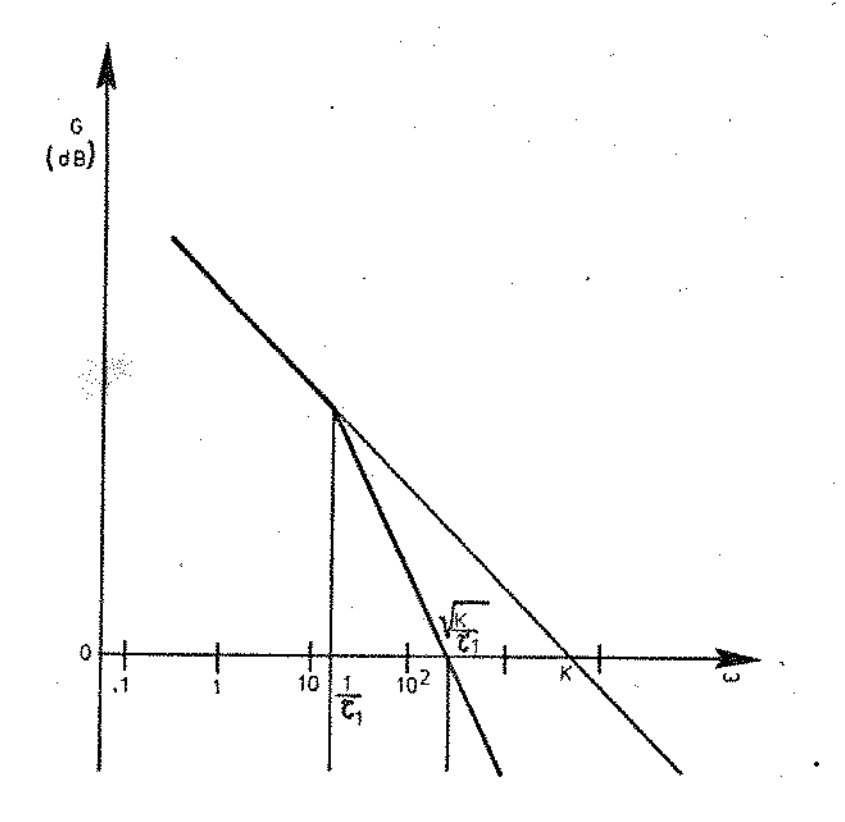


Fig. III.9 - Diagrama de Amplitude para malha de 2ª ordem (RC)

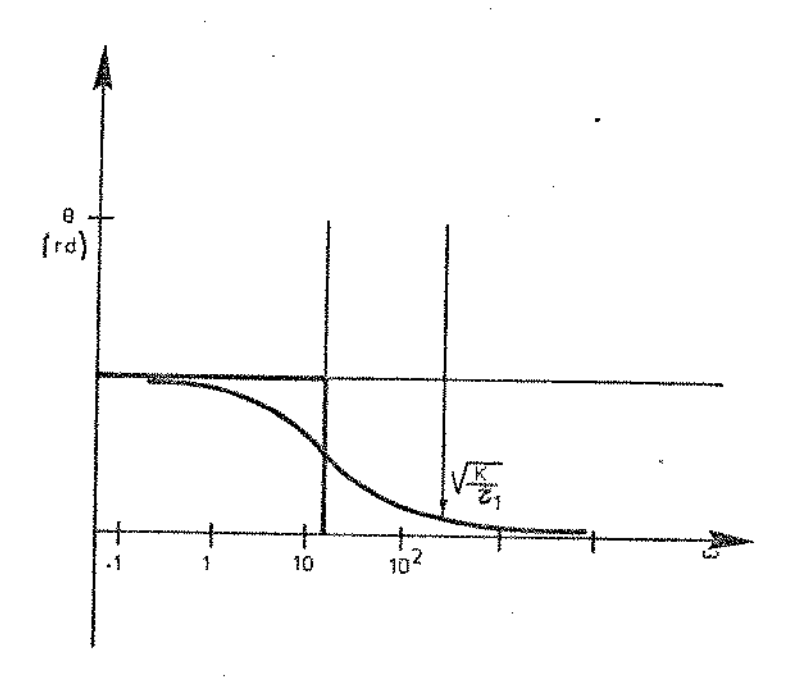


Fig. III.10 - Diagrama de Amplitude para malha de 2ª ordem (RC)

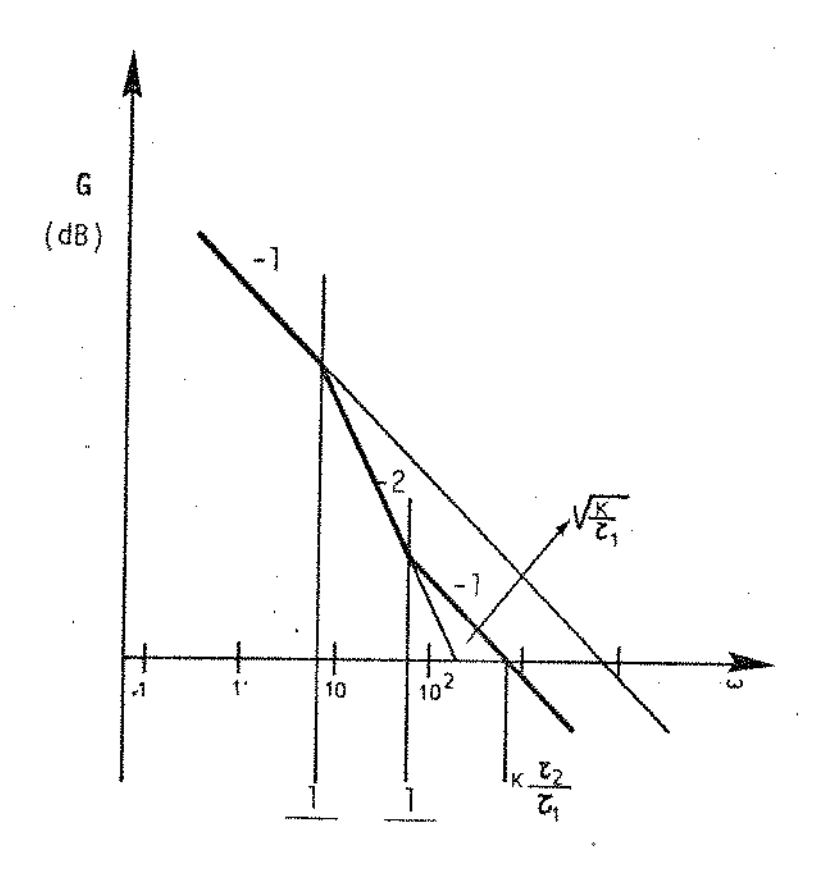


Fig. III.ll - Diagrama de Amplitude para malha de 2ª ordem (LAG)

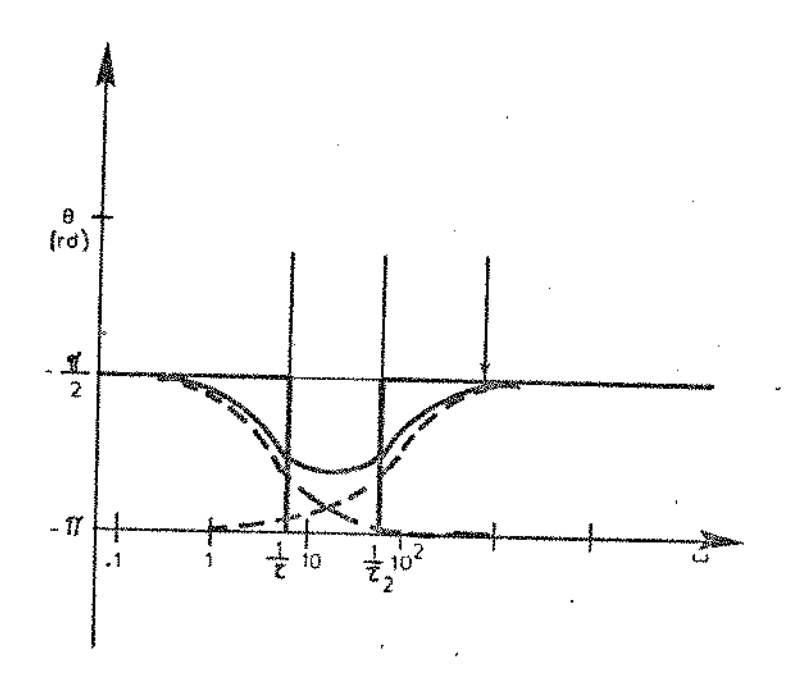


Fig. III.12 - Diagrama de Amplitude para malha de 2ª ordem (LAG)

A função de transferência em malha aberta fica sendo da fo<u>r</u> ma

$$G(S) = \frac{K(1 + S\tau_2)}{S(1 + S\tau_1)}$$

os diagramas de amplitude e fase são mostrados nas fig.III.ll e III.l2

Como se nota a adição da constante τ_2 , em relação ao filtro anterior, aumenta a margem de fase, deixando o sistema com maior segurança quanto a estabilidade mesmo que o OCV e o detetor de fase, por algum motivo, apresentar algum deslocamento de fase, o sistema ainda permanecera estavel pois a margem de fase e praticamente de $\frac{\Pi}{2}$.

III. 4. d-MALHA DE SEGUNDA ORDEM COM FILTRO TIPO LEAD

Para o filtro tipo lead temos que:

$$F(S) = \frac{R_2 + S\tau_1}{(R_1 + R_2) + S\tau_1}$$

e

$$G(S) = \frac{K(R_2 + S\tau_1)}{(R_1 + R_2)S + S^2\tau_1}$$

os diagramas de amplitude e fase são semelhantes aos da fig. III. 11 e III 12

III.5 - RESPOSTA TRANSITŪRIA

Neste paragrafo analizaremos a resposta de diversos tipos de malhas, para diferentes tipos de entrada; as entradas que se rão discutidas são:

- a degrau em fase ΔΘ
- b degrau em frequência $\Delta \omega$

III.5.a-RESPOSTA AO DEGRAU DE FASE

Tomemos como sinais de entrada e saída sendo da forma

$$Y_i(t) = A \operatorname{sen}[\omega t + \phi_i(t)]$$

$$Y_o(t) = B \cos |\omega t + \phi_o(t)|$$

Com $\phi_0(t)$ sendo a resposta a excitação $\phi_i(t)$ e $\phi(t)$ = $\phi_i(t)$ - $\phi_0(t)$ sendo o erro de fase.

No instante t=0 um degrau de fase de amplitude $\Delta\Theta$ \tilde{e} aplicado ao sinal de entrada portanto temos

$$\Phi_i$$
 (S) = $\frac{\Delta\Theta}{S}$

o erro de fase como foi visto anteriormente e dado por:

$$\frac{\Phi(S)}{\Phi_{\mathbf{i}}(S)} = 1 - H(S)$$

portanto

$$\Phi(S) = |1 - H(S)| \frac{\Delta \Theta}{S}$$
 (3.33)

Estudaremos agora $\phi(S)$ para os diversos tipo de filtro

- MALHA DE 1ª ORDEM

Para a malha de 1ª ordem podemos escrever

$$1 - H(S) = \frac{S}{S + K}$$
 (3.34)

Podemos determinar o erro final de fase aplicando o teorema do valor final

lim.
$$\phi(t) = \text{lim. } S\phi(S)$$

 $t \to 0$ $S \to 0$

$$\lim_{S \to 0} S \left(\frac{S}{S + K} \right) \frac{\Delta \Theta}{S} = 0$$

portanto no erro de fase; podemos também ver isso tomandoses a antitransformada de $\phi(S)$, fazendo isso chegamos a

$$\phi(t) = \Delta\Theta e^{-kt}$$
 (3.35)

- MALHA DE DE 2ª ORDEM COM FILTRO PASSA BAIXA

$$F(S) = \frac{1}{1 + S\tau_1}, \tau_1 - RC$$

Para esse tipo de malha vimos na eq. (3.20)que

$$|1 - H(S)| = \frac{\tau_1 S^2 + S}{\tau_1 S^2 + S + K}$$
 e na eq. 3.20

chegamos a

$$H(S) = \frac{\omega_n^2}{s^2 + 2\xi\omega_n + \omega_n^2} = 1 - H(S) = \frac{s^2 + 2\xi\omega_n^2}{s^2 + 2\xi\omega_n^2 + \omega_n^2}$$

portanto

$$\Phi(S) = |1 - H(S)| \frac{\Delta \Theta}{S}$$

fica sendo igual:

$$\phi(5) = \frac{(S + 2\xi\omega_n)\Delta\Theta}{S^2 + 2\xi\omega_n + \omega_n 2}$$

Se fizermos o denominador de $\phi(S)$ como sendo um produto do tipo (S+a) (S+B) obteremos

$$\Phi(S) = \frac{S \Theta}{\left[S + \omega_n \left(\xi + \sqrt{\xi^2 - 1}\right)\right] \left[Sb + \omega_n \left(\xi - \sqrt{\xi^2 - 1}\right)\right]} + \frac{2\xi \omega_n \Theta}{\left[S + \omega_n \left(\xi + \sqrt{\xi^2 - 1}\right)\right] \left[S + \omega_n \left(\xi - \sqrt{\xi^2 - 1}\right)\right]}$$

tomando-se as antitransformadas e separando nos 3 possíveis casos chegamos as seguintes expressões

$$\xi > 1 \quad \phi(t) = \Delta \Theta e^{-\xi \omega_n t} \left[\cosh \omega_n \sqrt{\xi^2 - 1} \right] t + \frac{\xi}{\sqrt{\xi^2 - 1}} \operatorname{senh} \omega_n t \sqrt{\xi^2 - 1} \right]$$

$$\xi = 1 \qquad \phi(t) = \Delta \Theta e^{-\omega_n t} \left(1 + \omega_n t \right)$$

$$\xi < 1 = \phi(t) = \Delta \Theta e^{-\xi \omega_n t} \left[\cosh \omega_n \sqrt{1 - \xi^2} \right] t + \frac{\xi}{\sqrt{1 - \xi^2}} \operatorname{senh} \omega_n t$$

$$(3.36)$$

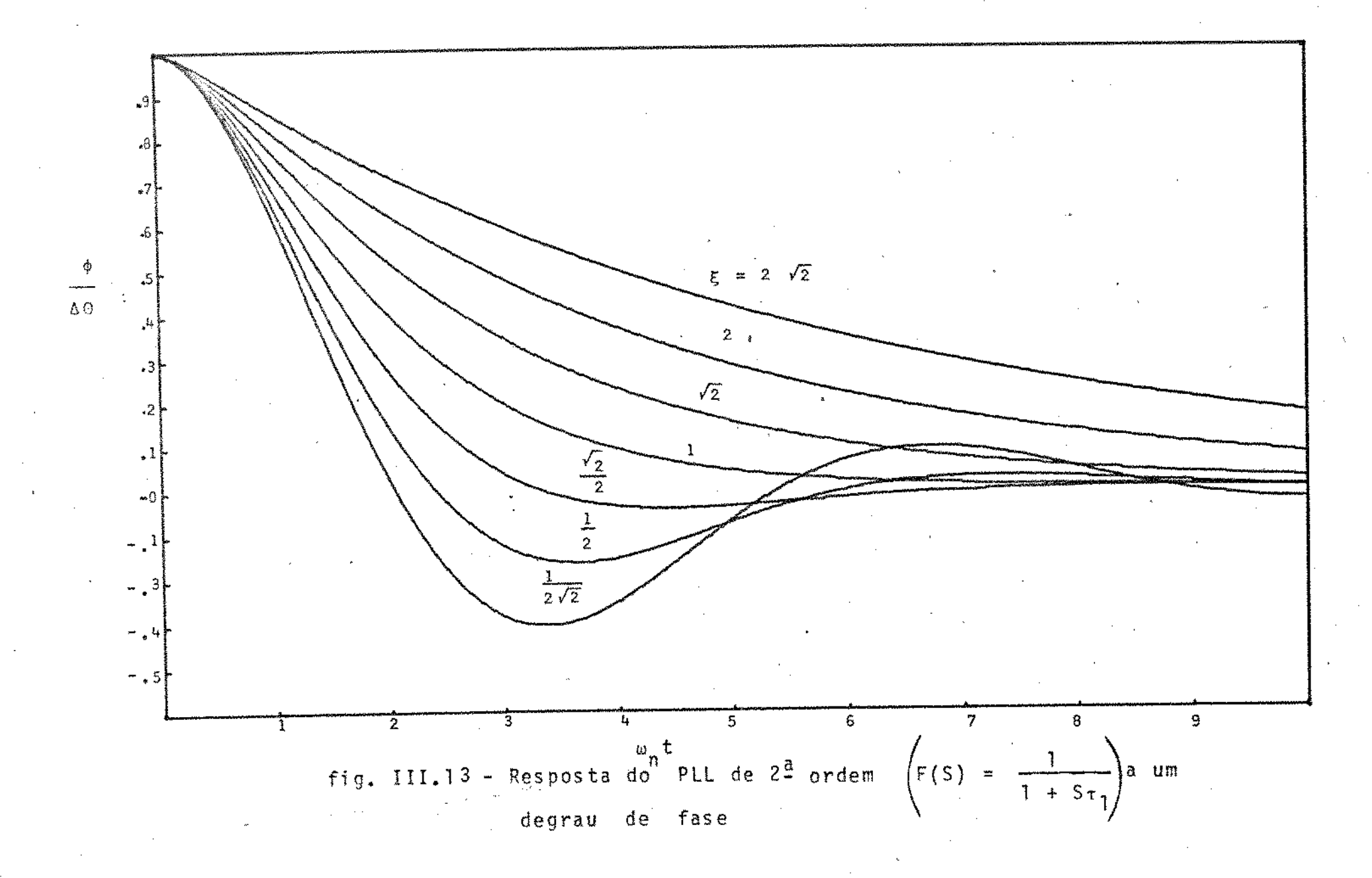
As curvas correspondentes são mostradas na fig. III.13

- MALHA DE 2ª ORDEM COM FILTRO TIPO <u>LAG</u> Para o filtro com função de transferência

$$F(S) = \frac{1 + \tau_1 S}{1 + \tau_1 S}$$

temos que

$$\phi(S) = \frac{(S + \omega_n^2(K)\Delta\Theta)}{S^2 + 2\xi\omega_n^2 S + \omega_n^2}$$



Da mesma forma que no item anterior temos que; Para

$$\xi > 1 \quad \phi(t) = \Delta \Theta e^{-\xi \omega} n^{t} \left[\cosh \omega_{n} \sqrt{\xi^{2} - 1} t + \frac{\omega_{n}/K - \xi}{\sqrt{\xi^{2} - 1}} \operatorname{senh} \omega_{n} t \sqrt{\xi^{2} - 1} \right]$$

$$\xi = 1 \qquad \phi(t) = \Delta \Theta e^{-\omega_n t} \left[1 + \left(\frac{\omega_n}{K} - 1 \right) \omega_n t \right]$$
 (3.37)

$$\xi<1 \quad \phi(t) = \Delta \theta e^{-\xi \omega_n t} \left[\cos \omega_n \sqrt{1-\xi^2} t + \frac{\omega_n/K-\xi}{\sqrt{1-\xi^2}} \sin \omega_n \sqrt{1-\xi^2 t}\right]$$

As curvas representativas dessas funções estão na fig. III.14

III.5.b-RESPOSTA A UM DEGRAU DE FREQUÊNCIA

Para esse tipo de entrada podemos escrever $\phi_i(S) = \frac{\Delta \omega}{S^2}$ e o erro de fase sera dado por

$$\phi(S) = \left[1 - H(S)\right] \frac{\Delta \omega}{S^2}$$

- MALHA DE 1ª ORDEM

Para esse tipo de malha

$$\phi(S) = \frac{\Delta \omega}{S(S+K)} \quad e \quad \phi(t) = \frac{\Delta \omega}{K} \left(1 - e^{-kt}\right)$$

Portanto esse tipo de malha apresenta um erro de regime igual $\underline{\Delta \omega}$

- MALHA DE 2ª ORDEM COM FILTRO PASSA BAIXA

Neste caso

$$\phi(S) = \frac{\Delta \omega}{S^2 + 2\xi \omega_n S + \omega_n^2} + \frac{2\xi \omega_n \Delta \omega}{S(S^2 + 2\xi \omega_n S + \omega_n^2)}$$

novamente temos que para os diferentes valores de ξ o erro de fase sera igual a:

$$\xi > 1$$
 $\phi(t) = 2\xi \frac{\Delta \omega}{\omega_n} + \frac{\Delta \omega}{\omega_n} e^{-\omega_n t} \left[\frac{1 - 2\xi^2}{\sqrt{\xi^2 - 1}} \operatorname{senh} \omega_n t \sqrt{\xi^2 - 1} \right]$

- 2
$$\xi$$
 cosh $\omega_n \sqrt{\xi^2-1}$ t

$$\xi=1$$
 $\phi(t)=2\frac{\Delta\omega}{\omega_n}-\frac{\Delta\omega}{\omega_n}e^{-\omega_nt}(2+\omega_nt)$ (3.38)

$$\xi < 1 \phi(T) = 2\xi \frac{\Delta \omega}{\omega_n} + \frac{\Delta \omega}{\omega_n} e^{-\xi \omega_n t} \left[\frac{1 - 2\xi^2}{\sqrt{1 - \xi^{2'}}} \operatorname{sen}_{\omega_n} \sqrt{1 - \xi^{2'}} t - 2\xi \cos \omega_n \sqrt{1 - \xi^{2'}} t \right]$$

Com esse tipo de malha, vimos nos paragrafos anteriores que

$$2\xi\omega_n = \frac{1}{\tau_1}$$
 e $\omega_n^2 = \frac{K}{\tau_1}$ conseguentemente $\frac{\omega_n}{2\xi} = K$, e portanto

o erro de fase serā $\frac{\Delta \omega}{K}$ como no caso anterior; podemos di-

minuir esse erro fazendo-se um K alto: as curvas representat<u>i</u> vas dessas funções estão na fig. III.15.

- MALHA DE 2ª ORDEM COM FILTRO TIPO "LAG"

Para esse caso teremos

$$\Phi(S) = \frac{\Delta \omega}{S^2 + 2\xi \omega_n + \omega_n^2} + \frac{\omega_n^2}{K} = \frac{\Delta \omega}{S(S^2 + 2\xi \omega_n + \omega_n^2)}$$

Usando-se as mesmas tecnicas anteriores chegamos a seguinte solução

$$\xi > 1 \quad \phi(t) = \frac{\Delta \omega}{K} + \frac{\Delta \omega}{\omega_n} e^{-\xi \omega_n t} \left[\frac{1 - \xi \omega_n / K}{\sqrt{\xi^2 - 1}} \operatorname{senh} \omega_n^{\times} \sqrt{\xi^2 - 1} - \frac{\omega_n}{K} \cosh \omega_n \sqrt{\xi^2 - 1} t \right]$$

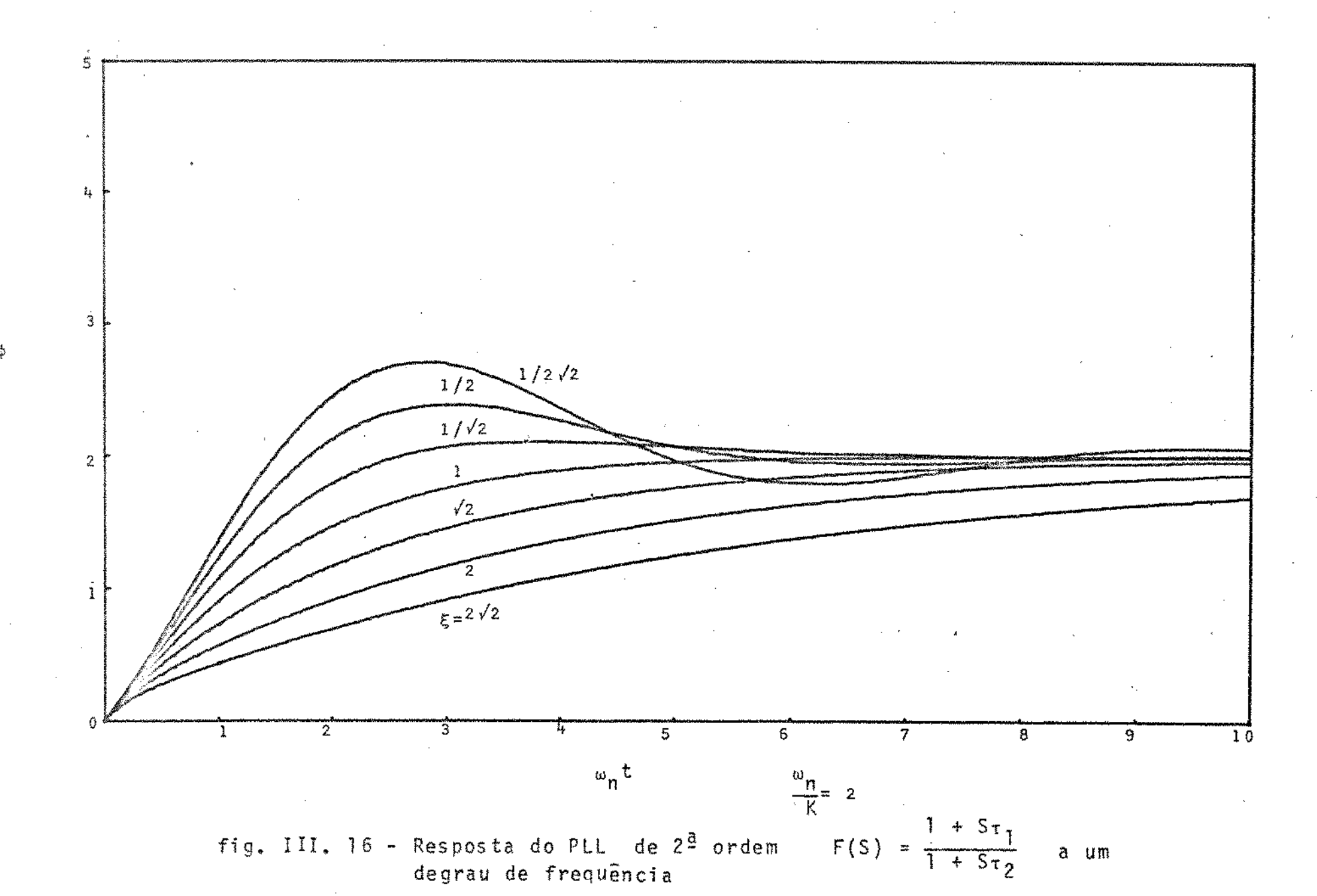
$$= \frac{\omega_n}{K} \cosh \omega_n \sqrt{\xi^2 - 1} t$$

$$\xi = 1 \quad \phi(t) = \frac{\Delta \omega}{K} + \frac{\Delta \omega}{\omega_n} e^{-\omega_n t} \left(\omega_n t - \frac{\omega_n^2}{K} t - \frac{\omega_n}{K} \right)$$

$$\xi < 1 \quad \phi(t) = \frac{\Delta \omega}{K} + \frac{\Delta \omega}{\omega_n} e^{-\omega_n \xi t} \cdot \left[\frac{1 - \xi \omega_n / K}{\sqrt{1 - \xi^2}} \operatorname{sen} \omega_n \sqrt{1 - \xi^2} \right] t$$

$$= \frac{\omega_n}{K} \cos n \sqrt{1 - \xi^2} t$$

O erro de regime $\tilde{\mathbf{e}}$ dado por $\frac{\Delta \omega}{K}$ como para esse tipo de malha K pode ser escolhido independente do fator de amortecimento ξ , podemos escolher um valor K alto e fazer $\frac{\Delta \omega}{K}$ bem reduzido, as figs. representativas do erro estão na fig. III.16



Δ ω

CAPITULO - IV

PROJETO DE P.L.L.

IV.1 - INTRODUÇÃO

Nesse capítulo procura-se dar uma sistemática de procedimentos que o projetista de P.L.L. deve seguir para que a escolha dos componentes da malha seja feita de uma maneira adequada; estuda-se também o comportamento quantitativo do Jitter, a região de retenção, a região de captura, a faixa de ruído, enfim todos os porametros que de alguma maneira enfluenciam no projeto de P.L.L.

IV.2 - ANALISE DE JITTER

Durante a demultiplexagem, o relogio de leitura e recuperado a partir do relogio de escrita atraves da inibição dos pulsos de relogio correspondentes aos pulsos de controle e de recheio, e posterior passagem desse sinal de relogio assim depurado por um P.L.L.

A remoção dos pulsos de controle introduz um jitter de frequência muito alta, que e por isso efetivamente anulado pelo P.L.L. e pode portanto ser ignorado.

Jão jitter introduzido pelo recheio senpre apresenta componentes abaixo da frequência de oportunidades de recheio 9,962 KHz (que e o inverso do intervalo de tempo correspondente a um quadro), e pode ocasionalmente apresentar energia em frequências muito baixas que não são efetivamente atenuadas pelo P.L.L. Por esse motivo, esse jitter e mais importante, e e estudado a seguir.

O jitter introduzido pelo recheio, antes da filtragem pelo P.L.L., sera chamado de jitter de tempo de espera, pois suas componentes de frequência mais baixa (as mais importantes) - são causadas pelo fato de que o recheio não pode ocorrer logo que a diferença de fase entre os relogios de escrita e - leitura, no multiplexador, atinge o limiar, mas deve esperar pela proxima oportunidade de recheio. Essas oportunidades, - por sua vez, ocorrem em intervalos igualmente espaçados de um quadro.

Apos a filtragem pelo P.L.L., o jitter resultante sera chamado de jitter de tempo de espera filtrado.

A fim de analizar o jitter de tempo de espera, e conveniente tratar como unitario o intervalo entre as oportunidades de recheio, ou seja, no nosso caso, a duração de um quadro. Assim sendo, todas as frequências obtidas por essa analise são normalizadas em relação a frequência de oportunidades de recheio.

Supondo que os relogios de leitura e escrita, no multiplexa dor, não sejam afetados por jitter, está claro que a fase do relogio de leitura do multiplexador (que e o de escrita do demultiplexador) cresce linearmente durante os intervelos entre as oportunidades de recheio, sendo a taxa de crescimen to (em espaços temporais por quadro) dada pela razão de recheio S<1. Note-se que, devido as tolerâncias existentes so bre as taxas de bit, S estará sempre situada num intervalo estreito em torno de um valor nominal, mas não pode ser fixa da com exatidão.

Nas oportunidades de recheio, a fase caira de um espaço temporal se antes disso ela tiver ultrapassado um limiar prefixado. Sem perda de generalidade, vamos fixar esse limiar em l; nessas condições, a fase nunca ira abaixo de zero, nem acima de 2 espaços temporais.

A fig(II.7)mostra a forma de onda do jitter de tempo de espera $\phi(t)$, supondo-se que $\phi(o) = 0$ e que as oportunidades de recheio ocorrem em t = 0, 1, 2, 3, etc... Notamos que, se $S = \frac{1}{3}$,

por exemplo, o jitter terā uma fundamental na frequência $\frac{1}{3}$ (normalizado em relação a frequência de oportunidades de recheio), e outras harmônicas superiores; portanto, bastaria fazer a faixa do filtro do P.L.L. bem inferior a esta frequência para eliminar ou reduzir substancialmente esse jitter Algo semelhante ocorre também se S for um número racional $\frac{p}{q}$ simples, isto \tilde{e} , com p e q pequenos e primos entre si: e a excursão total da fase \tilde{e} $\left[1+\frac{p-1}{q}\right]$ espaços temporais.

Infelizmente, porem, não e possível fixar S exatamente num número racional simples, devido as tolerancias das frequências de relogio envolvidas. Por isso, mesmo que o valor nominal de S fosse $\frac{1}{3}$, precisaríamos supor que $S=\frac{1}{3}$ \ddagger ϵ , onde ϵ e um número pequeno.

Nessas condições, conforme podemos ver na figura, aparece uma componente lenta no jitter, cuja remoção pelo filtro é duvido sa: daí a conveniência de se situar o valor nominal de S lon ge dos números racionais simples.

As condições acima, introduzidas por Kozuka (1969), dão uma descrição qualitativa do jitter de tempo de espera, mas são - insuficientes para se obter uma descrição quantitativa razoa-velmente completa deste fenômeno. Para tanto, será necessário caracterizar o jitter de tempo de espera como processo aleatório, obter sua autocorrelação e a partir desta seu espectro - de potência atravês da transformada de Fourier.

Para tanto, vamos supor inicialmente que $\phi(o) = 0$ e que as oportunidades de recheio ocorram nos instantes inteiros.

Se cada recheio ocorresse logo que $\phi(t)$ ultrapassasse o limiar unitario, ao inves de esperar pela proxima oportunidade de recheio, o jitter poderia ser expresso por:

$$\phi(t) = st - \langle st \rangle \tag{4.1}$$

onde <-> ē o operador que extrai o maior inteiro inferior ao argumento. Se a expressão acima valesse, o jitter teria frequência fundamental S, sem componentes de baixa frequência, e portanto não apresentaria grandes problemas. Esse jitter hi potético ē as vezes chamado de jitter de recheio, em oposição a jitter de tempo de espera.

Quando ocorre a espera pela proxima oportunidade de recheio, o termo < st > a ser subtraido de St na expressão acima tem que ser tomado não mais em t mas na \tilde{u} ltima oportunidade de recheio, ou seja, em < t >. Então, o jitter se tempo de espera serã:

$$\phi(t) = St - \langle S < t \rangle$$
 (4.2)

Essa expressão pode ser considerada a expressão básica do jit ter de tempo de espera, dadas a fase das oportunidades de recheio e uma condição inicial. Ela não é suficiente, entretanto, para caracterizar o jitter de tempo de espera como proces so aleatório, devido ao seu caráter determinístico

A fim de caracterizar uma forma de onda de jitter de tempo de espera como a mostra de um processo aleatório estaciomário, - vamos considerar as oportunidades de recheio ocorrendo nos instantes $t=n-\tau$, onde τ \bar{e} uma variavel aleatoria uniformemente distribuida entre 0 e 1, e vamos tomar $\phi(0)=\xi+S\tau$, onde ξ \bar{e} outra variavel aleatoria, independente de τ e uniformemente distribuida entre 0 e 1. Note-se que $\xi=\phi(-\tau^+)$. Nessas condições, a Eq. 4.2 pode ser reescrita da seguinte forma:

$$\phi(t) = \xi + S_*(t + \tau) - \langle \xi + S_* \langle t + \tau \rangle$$
 (4.3)

Agora que o jitter esta devidamente caracterizado como processo aleatório, podemos calcular sua autocorrelação que é dada por:

$$R(\eta) = E \left[\Psi(t + \eta) \Psi(t) \right],$$

$$\Psi(t) = \left[\phi(t) - E | \phi(t) | \right]$$

O primeiro passo \vec{e} portanto calcular \vec{E} $|\phi(t)|$, o que não \vec{e} difícil Lembrando que ϕ (t) \vec{e} um processo estacionário e que $<\xi>=<\tau>=0$, temos da eq. (4.3)

E
$$[\phi(t)] = E [\phi(0)] =$$

= E[\xi] + S.E [\tau] =

= \frac{1}{2} + \frac{1}{2} S

Portanto:

onde

$$\Psi(t) = \phi(t) - \left[\frac{1}{2} + \frac{1}{2}S\right] =$$

$$= \left[\xi + S(t + \tau) - \langle \xi + S, \langle t + \tau \rangle - \left[\frac{1}{2} + \frac{1}{2}S\right] =$$

$$= \left[(\xi + S, \langle t + \tau \rangle) - \langle \xi + S, \langle t + \tau \rangle - \langle t + \tau \rangle - \left[\frac{1}{2} + \frac{1}{2}S\right] =$$

$$+ S[(t + \tau) - \langle t + \tau \rangle] - \left[\frac{1}{2} + \frac{1}{2}S\right] =$$

$$= \left[(\xi + S. < t + \tau >) - < \xi + S. < t + \tau >> - \frac{1}{2} \right] + S \left[(t + \tau) - < t + \tau > - \frac{1}{2} \right]$$

Definindo: $v(x) = x - \langle x \rangle - \frac{1}{2}$, podemos finalmente escrever:

$$\Psi(t) = V(\xi + S.(t + \tau)) + S.V(t + \tau)$$

O calculo de autocorrelação R(t) = E $| \psi(t), \psi(o) |$ e um tanto complexo, tendo sido feito por Duttweiler (1972). O espectro de potência resultante da transformada de Fouvier de 2(t) e dado por:

$$S(f) = sinc^{2}f \cdot Q(f) + \sum_{n=1}^{\infty} \left(\frac{S}{2\pi n}\right)^{2} \left[\delta(f-n) + \delta(f+n)\right]$$
(4.4)

$$sinc f = \frac{sen \pi f}{\pi f}$$

$$Q(f) = \sum_{n=1}^{\infty} \left(\frac{1}{2\pi n}\right)^2 \left[\text{rep } \delta(f - nS) + \text{rep } \delta(f + nS)\right]$$

rep x(f) =
$$\sum_{K=-\infty}^{\infty}$$
 x(f - K) para qualquer função x(f)

Notamos que, apesar da expressão acima valer tanto para S racional como irracional, a forma do espectro s(f) resultante diferirã radicalmente nos dois casos.

Assim, se S for um numero racional $\frac{p}{q}$, com p e q primos entre si, Q(f) apresentara q raias no intervalo (0,1), pois apesar de haver infinitas replicas de uma função basica em Q(f), as raias das diferentes replicas irão se superpor se S for racional. Se S for irracional, isso não acontecera, e havera então infinitas raias no intervalo de frequências (0,1).

IV.3 - CARACTERISTICA NUMERICA DO PROBLEMA

O problema a ser resolvido, que gerou, esse trabalho, foi ex plicado qualitativamente no capítulo 2; trata-se da construção de um P.L.L. com determinadas especificações, que irã atuar no demultiplex do sistema MCP de 8 Mbits/seg.

IV.3.1-ESPECIFICAÇÕES DO PROJETO

- FREQUÊNCIA DE RETENÇÃO

Por frequência de retenção se entende a maior frequência que poderā ser colocada em sincronismo pela malha; o fato frequência ser colocada ou não em sincronismo dependerã passado histórico da malha. Quantitativamente teremos: maior saída possível do detetor de fase for K_III e, o ganho do OCV for K3 teremos um intervalo de frequência de retenção que ira desde $-K_1K_3\Pi$ até $+K_1K_3\Pi$ em relação a frequência central do OCV. Na prătica essa região de retenção e determi nada da seguinte maneira: coloca-se na entrada da malha frequência igual a frequência central do OCV, estando portan to essas 2 frequências em sincronismo; vai-se então variando lentamente a frequência de entrada buscando-se determinar o limite superior de frequência que ainda se consegue colocar em sincronismo; volta-se então a frequência de entrada para a frequência central, e então vai-se diminuindo lentamente frequência de entrada até se determinar a minima frequência que ainda se consegue colocar em sincronismo, portanto o intervalo de retenção da malha estará compreendido entre esses 2 limites, para a especificação do projeto temos que esse intervalo de retenção deve ser igual a ± 200 hz

- FREQUÊNCIA DE CAPTURA

Por frequência de captura se compreende a maior ou menor fre quência central do OCV, que sempre serã colocada em sincronismo. Existem inumeros trabalhos publicados visando a deter minação matemática da frequência de captura tendo o fator de amortecimento ξ e a frequência natural do sistema ω_n como parametros; dentre esses trabalhos podemos citar os de Richman

[3], Rey [4], Moschytz [5], Viterbi [6], Lindsey [7] e Mengali [8]. Porēm cada um desses trabalhos sempre apresenta restrições de projeto; por exemplo as soluções apresentadas por Rey e Moschytz são bastantes precisas para valores de $\frac{\omega_n}{K} = 2\xi$ porem seus resultados são bastante imprecisos para região onde $\frac{\omega_n}{K} << 2\xi$, jã para a região onde $\frac{\omega_n}{K} << 2\xi$ os ou tros trabalhos citados são bem precisos, porēm para $\frac{\omega_n}{K} = 2\xi$ jã não são aceitāveis.

Praticamente a região de captura e determinado da seguinte maneira tira-se a malha de sincronismo colocando-se na sua entrada um frequência maior que a frequência de retenção vai-se diminuindo a frequência de entrada até que esta consiga ser sincronizada pela malha; determinando-se assim frequência superior de captura, Na determinação da frequência inferior de captura leva-se novamente a malha para o es tado de fora de sincronismo, colocando-se na sua entrada uma frequência menor que o limite inferior da frequência de retenção vai-se então aumentando lentamente a frequência entrada da malha até que esta consiga sincronizar o de entrada. A principal diferença entre essas 2 regiões que uma é determinada a partir do estado de sincronismo (re gião de retenção) e a outra a partir do estado de não sincronismo (região de captura); A região de captura será no máximo igual a região de retenção e quase sempre e menor. Essa região por especificação de projeto deve valer ± 200 hz.

- FAIXA DE RUIDO

Uma das funções do P.L.L. ē reduzir o ruido, e ē razoavel - supor que o ruido de entrada da malha ē um ruido Gausseano branco. Como o ruido na saída do P.L.L. ē quase sempre restrito a uma faixa estreita devido a ação de filtragem da propria malha, ē conveniente expressar a soma de ruido que não ē filtrado como, a faixa de um filtro ideal, que deixaria - passar a mesma quantidade de ruido.

A formula ja bastante tradicional para se calcular a largura de faixa de ruido é dado por

$$B_{L} = \left[H(j_{\omega})\right]^{2} df \qquad (4.5)$$

No caso do filtro tipo LAG em que

$$F(S) = \frac{1 + S^{T}2}{1 + S_{T}1} \quad \text{ou } F(j_{\omega}) = \frac{1 + j_{\omega T}2}{1 + j_{\omega T}1}$$

Temos pela eq. (3.28) que

$$H(j\omega) = \frac{\omega_n^2 + j\omega(2\xi\omega_n - \omega_n^2/K)^2}{\omega_n^2 - \omega^2 + j2\xi\omega_n\omega}$$

e portanto a faixa de ruido serã

$$B_{L} = \frac{1}{2\pi} \int_{0}^{\infty} |H(j_{\omega})| d\omega$$

$$= \frac{1}{2\pi} \int_{0}^{\infty} \frac{\omega_{n}^{4} + (2\xi\omega_{n} - \omega_{n}^{2}/K)^{2} \omega^{2}}{(\omega_{n}^{2} - \omega^{2})^{2} + 4\xi^{2}\omega_{n}^{2}\omega^{2}} d\omega$$

οu

$$B_{L} = \frac{\omega_{n}}{4\xi} \left[1 + \left(2\xi - \frac{\omega_{n}}{K} \right)^{2} \right] \qquad eq. \quad (4.6)$$

Podemos ainda fazer as seguintes transformações

$$\omega_{n} = \frac{k}{\tau_{1}} . \qquad eq. (4.7)$$

$$2\xi \omega_n = \frac{1 + K\tau_2}{\tau_1}$$
 eq. (4.8)

Fazendo essas subst. na eq. (4.6) teremos

$$B_{L} = \frac{\frac{1}{2} \left[1 + \left(2\xi - \frac{\omega_{n}}{K} \right)^{2} \right]}{\frac{2\xi}{\omega_{n}}}$$

$$B_{L} = \frac{1}{2} \frac{\left[1 + \left(2\xi - \omega_{n}/K\right)^{2}\right]}{\frac{1 + K\tau_{2}}{K}}$$

Desenvolvendo $\left(2\xi - \frac{\omega_n}{K}\right)^2$ teremos:

$$\left(2\xi - \frac{\omega_n}{K}\right)^2 = \left(\frac{2\xi K - \omega_n}{K}\right)^2$$

$$= \left\{ \left[\begin{array}{c} 2\xi K - \omega_n \\ \hline \omega_n \end{array} \right] \cdot \left[\begin{array}{c} \omega_n \\ K \end{array} \right] \right\}^2$$

$$= \left[\frac{2 K}{\omega_n} - 1 \right]^2 \cdot \left[\frac{\omega_n}{K} \right]^2$$

como

$$\frac{2\xi K}{w_n} - 1 = K_2 \quad e$$

$$\left[\frac{\omega_n}{K}\right]^2 = \frac{1}{K\tau_1} \quad \text{temos}$$

$$B_{L} = \frac{1}{2} K \frac{\left(K_{\tau_{2}}\right)^{2}}{1 + K_{\tau_{2}}}$$
(4.9)

Podemos ainda definir a faixa de ruido normalizada como

$$\frac{B_L}{K} = \frac{1}{2} \frac{1 + \frac{K\tau_2}{K\tau_1}}{1 + K\tau_2}$$
 (4.10)

Se $K\tau_2 = \tau_2'$ e $K\tau_1 = \tau_1'$ teremos

$$\frac{B_L}{K} = \frac{1}{2} \frac{1 + \tau_2^{12} \tau_1}{1 + \tau_1^{1}}$$
 (4.12)

A fig. (IV.1) representa a eq. (4.12) para diversos valores de $\frac{B_L}{K}$

Por especificação de projeto essa faixa de ruido deve ser minimizada.

IV.4 - ATENUAÇÃO DE JITTER

Uma das principais finalidade do P.L.L. e a atenuação do jitter descrito na seção III.1

Neste paragrafo faremos um estudo de como essa atenuação pode ser conseguida. Vamos supor que o sinal da entrada da malha esteja modulado em fase por um sinal senoidal (jitter senoidal) da seguinte maneira

$$Y_i(t) = A \operatorname{sen}[\omega t + m_i \operatorname{sen}(\Omega t + \Theta_i)]$$
 (4.13)

Sendo m_i o îndice de modulação do sinal; îndice esse que deve

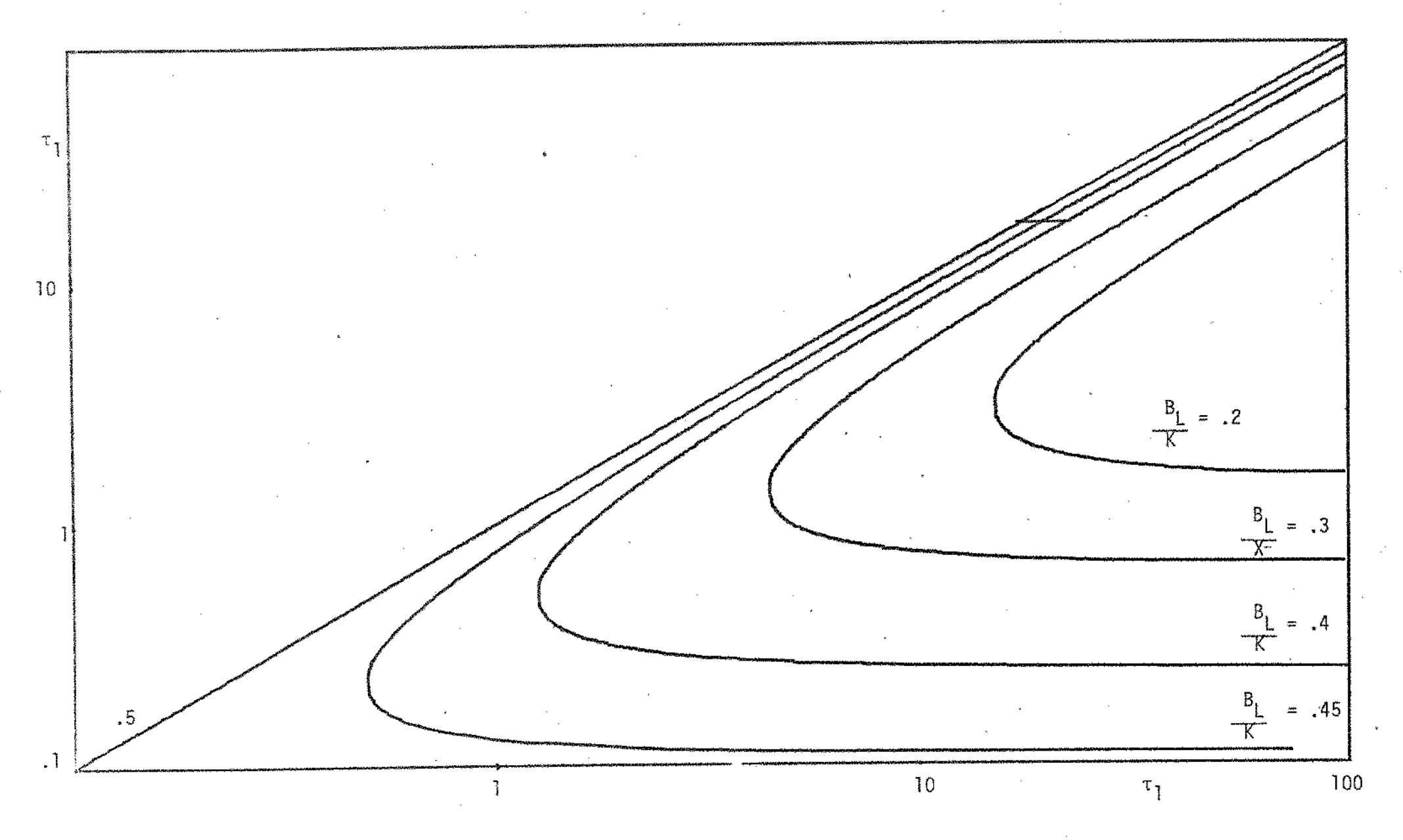


Fig. IV.1 - FAIXA DE RUÍDO

ser atenuado pela malha, vamos supor nessa análise que o de tetor de fase esteja atuando na sua região linear. Tomando-se a eq. (4.13) podemos escrever que

$$\phi_i(t) = m_i \operatorname{sen} (\Omega t + \theta_i)$$
 (4.14)

e temos também que, em regime, a fase do sinal de saída do OCV ϕ_0 é também um sinal senoidal de frequência angular Ω que pode ser escrito como

$$\phi_{Q}(t) = m_{Q} \operatorname{sen}(\Omega t + \Theta_{Q}) \qquad (4.15)$$

e o erro de regime pode ser escrito como

$$\phi(t) = m_i \operatorname{sen} (\Omega t + \Theta)$$

Podemos determinar os valores de m_0 , θ_0 ; e m, θ a partir dos valores de m_i e θ_i usando as funções de transferência vista no capitulo anterior que são as seguintes

$$\frac{\Phi_{0}(j\Omega)}{\Phi_{j}(j\Omega)} = H(j\Omega) ; \frac{\Phi(j\Omega)}{\Phi_{j}(j\Omega)} = 1 - H(j\Omega)$$

Baseado nessas equações podemos escrever que

$$m_{0} = m_{j} |H(j\Omega)| \qquad (4. 16)$$

$$\Theta_{0} = \Theta_{j} + arg |H(j\omega)|$$

Da mesma maneira teremos

$$m = m_{j} | 1 - H(j\omega) |$$
 (4.17)
 $\Theta = \Theta_{j} + arg | 1 - H(j\omega) |$

convem ressaltar o fato que e o fator m; que da, na entrada

da malha, a amplitude do jitter e \tilde{e} de interesse que esse fator seja atenuado pela malha; determinaremos então o comportamento de m_0 e θ_0 com os diversos tipos de filtro

4.4.1-FILTRO PASSA BAIXA

$$F(S) = \frac{1}{1 + S\tau_1}$$

Para esse tipo de filtro temos que

$$H(S) = \frac{\omega_n^2}{S^2 + 2\xi\omega_n + \omega_n^2}$$
 ou

$$H(j\Omega) = \frac{\omega_n^2}{\omega_n^2 - \Omega^2 + j2\xi\omega_n^{\Omega}}$$

Portanto

$$m_0 = m_i \left[\frac{\omega_n^2}{(\omega_n^2 - \Omega^2)^2 + 4\xi^2 \omega_n^2 \Omega^2} \right]^{1/2}$$
 ou ainda

$$m_0 = m_1 \frac{1}{\sqrt{(1 - x^2)^2 + 4\xi^2 x^2}}$$

Onde $x^2 = \left(\frac{\Omega}{\omega_n}\right)^2$

Da mesma forma

$$\Theta_0 = \Theta_1 + \text{arg } |H(j\Omega)|$$

$$\Theta_0 = \Theta_1 - \text{arc } \text{tg } \frac{2\xi\chi}{1-\chi^2}$$
(4.19)

As curvas representativas das eq. (4.18) e (4.19) estão - na fig. (IV. 2) e (IV. 3).

Pelas figuras notamos que para determinados valores de ξ teremos amplificação de jitter e isso deve ser evitado.

4.4.2-FILTRO TIPO LAG

$$F(S) = \frac{1 + S\tau_2}{1 + S\tau_1}$$

Para esse tipo de filtro foi visto no capítulo 3 que

$$H(j\Omega) = \frac{\omega_n^2 + j\Omega(2\xi\omega_n - \omega_n^2/K)}{\omega_n^2 - \Omega^2 + j2\xi\Omega\omega_n}$$

e portanto

$$m_0 = m_i \sqrt{\frac{1 + (2\xi - \omega_n(K)^2 x^2)}{(1 - x^2)^2 + 4\xi^2 x^2}}$$
 (4.20)

e

$$\theta_0 = \theta_1 + arc tg \left(2\xi - \frac{\omega}{K}\right)x - arc tg \frac{2\xi x}{1-x^2}$$
 (4.21)

Cujas curvas representativas são as da fig. (IV.4) e fig. (IV.5).

4.4.3-FILTRO TIPO LEAD

Como vimos no capítulo 3 para esse tipo de filtro

$$H(S) = \frac{\omega_n + KS}{S^2 + 2\xi\omega_n S + \omega_n 2}$$

ÓΝ

$$= \frac{H(jx) + j \frac{K}{\omega_n x}}{(1 - x^2)^2 + 4\epsilon^2 x^2}$$

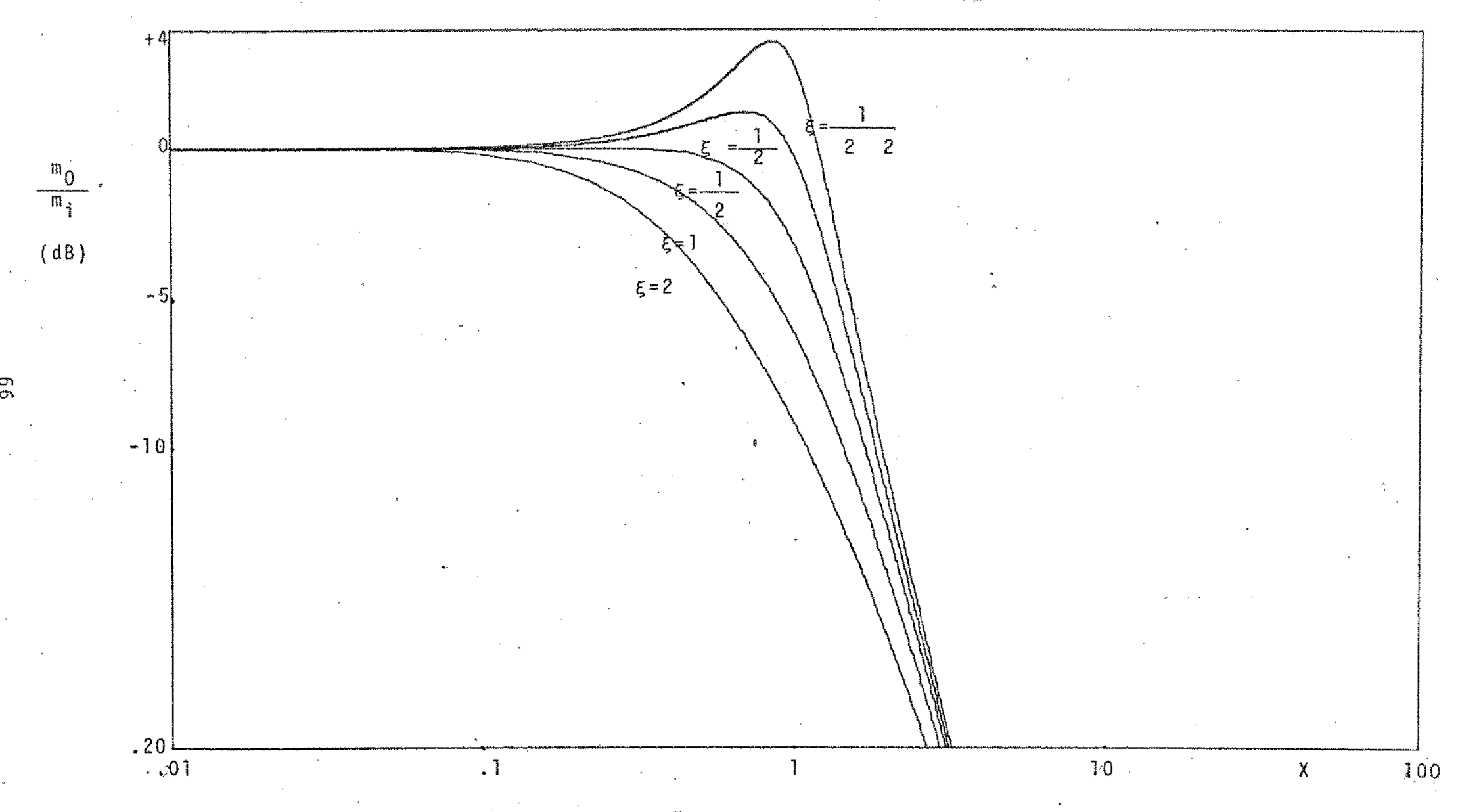


Fig. IV.2 - ATENUAÇÃO DE JITTER PARA FILTRO TIPO PASSA BAIXA

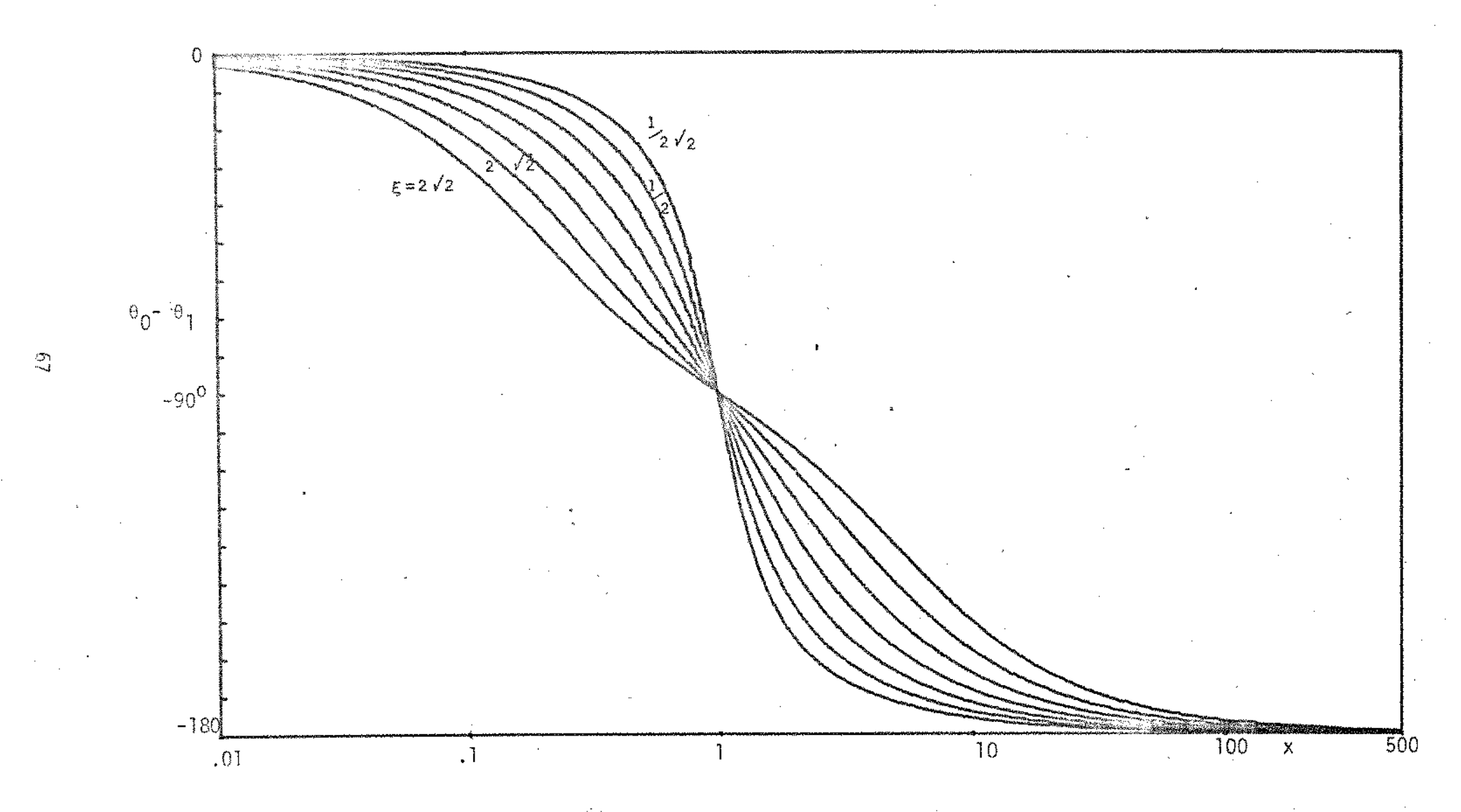


Fig. IV.3 - FASE DO JITTER PARA FILTRO PASSA BAIXA COMUM

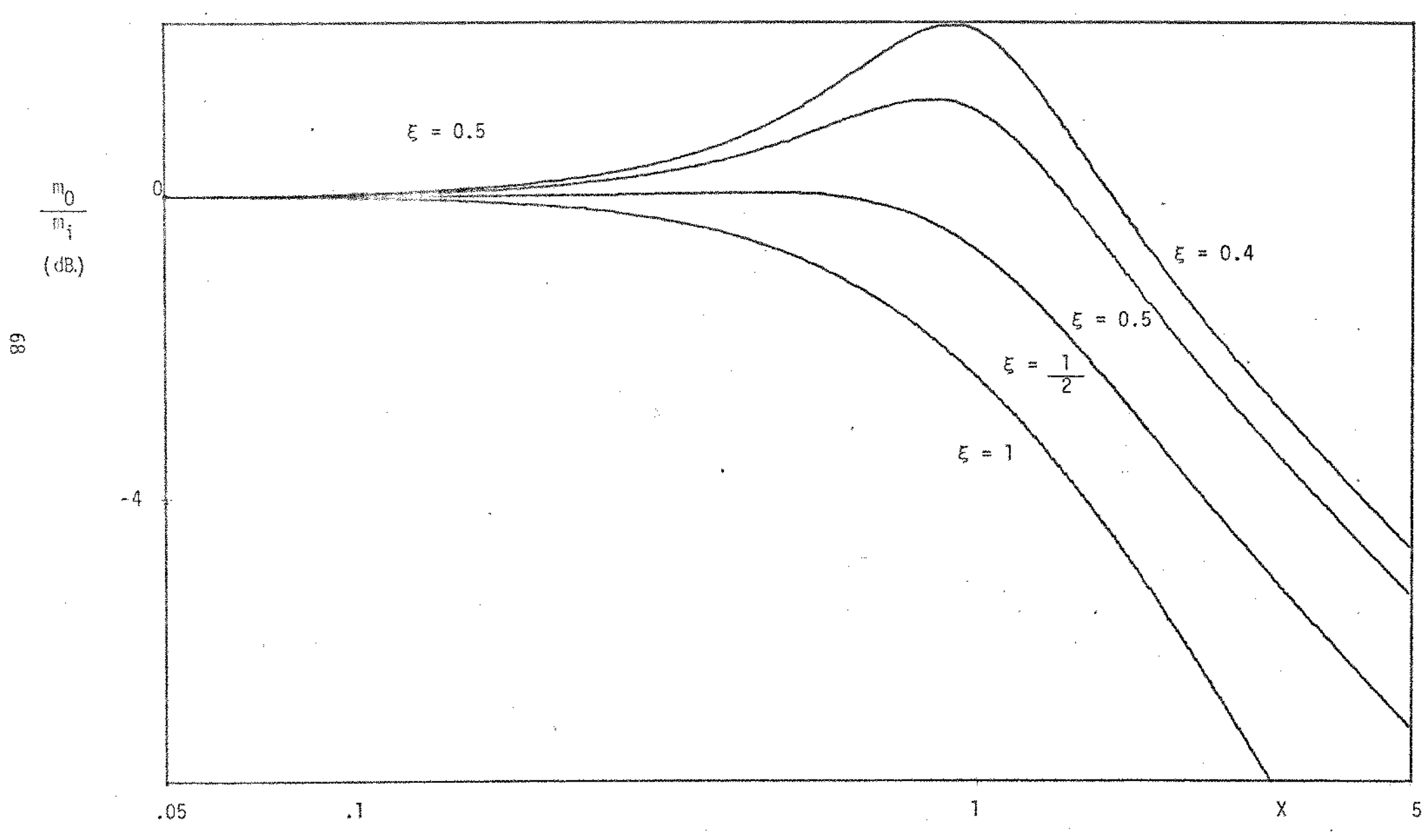


Fig. IV.a - ATENUAÇÃO DE JITTER PARA O FILTRO TIPO LAG $\binom{W_n}{\nu}$ =2)

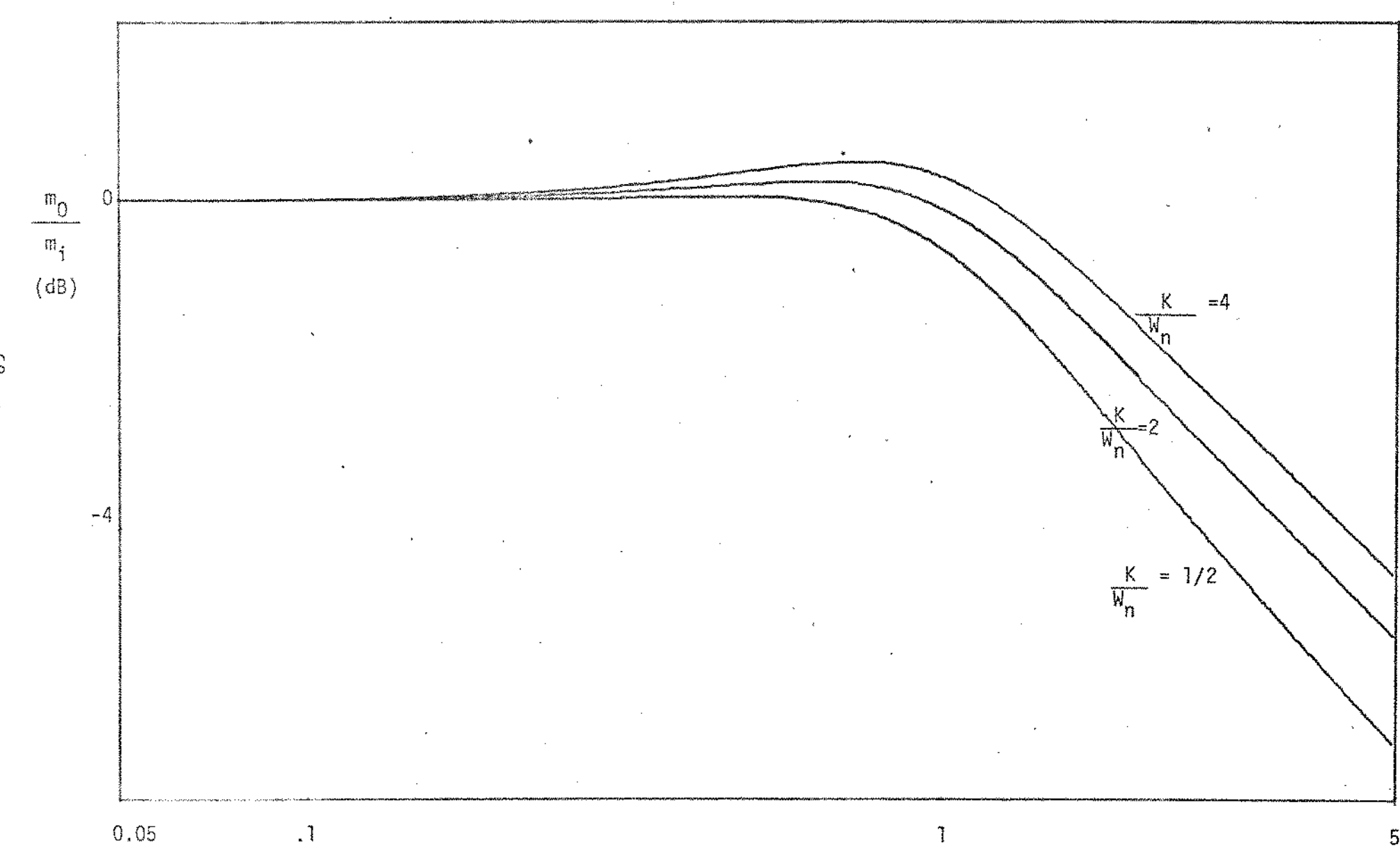


Fig. IV.4.b - ATENUAÇÃO DE JITTER FILTRO PASSA BAIXA COMUM (ξ = 0.707)

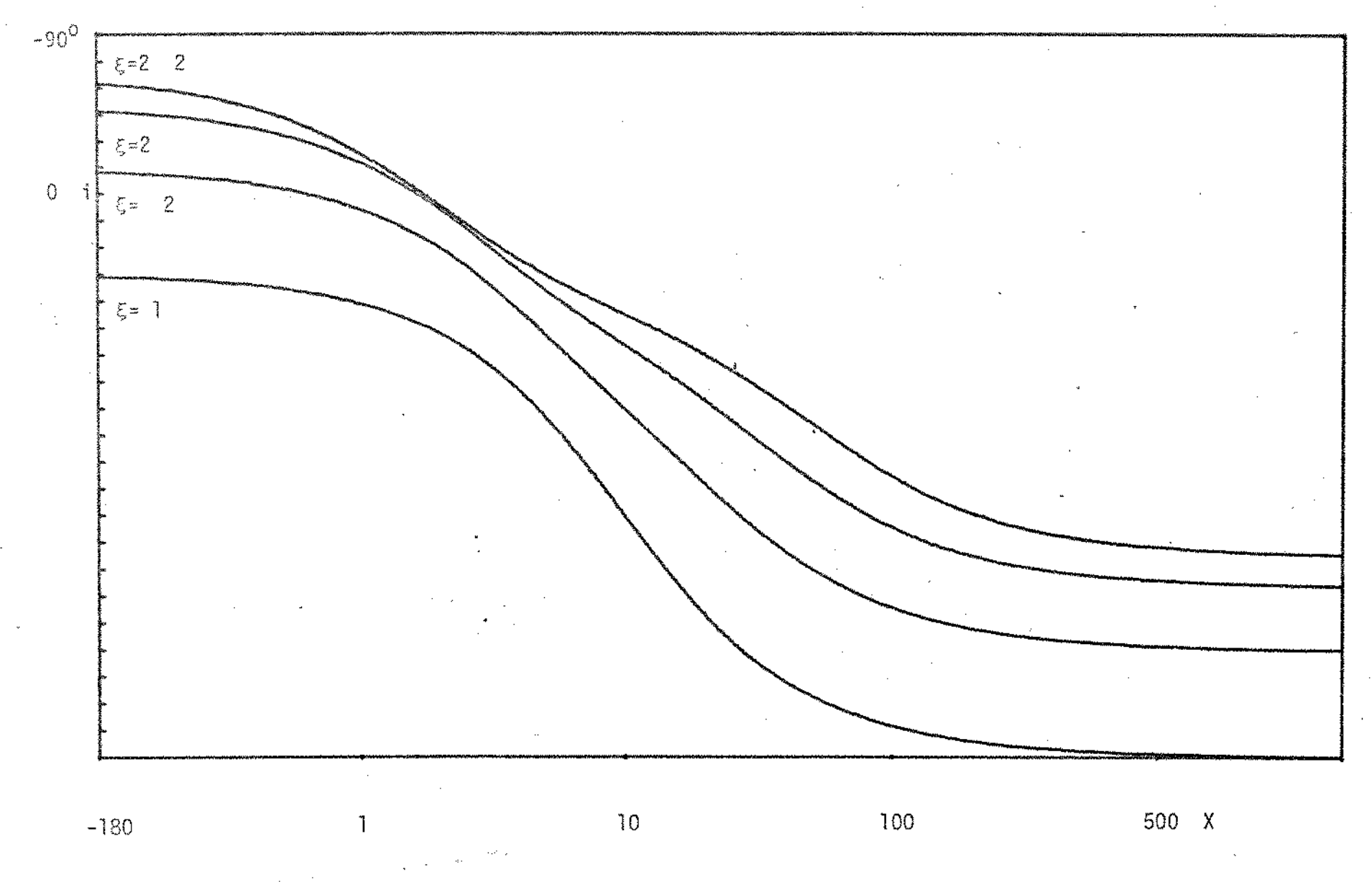


Fig. IV.5 - FASE DO JITTER PARA O FILTRO TIPO LAG

e portanto

$$H(j\Omega) = \frac{\omega_n^2 + j\Omega K}{(-\Omega^2 + \omega_n^2) + 2j\Omega \xi \omega_n}$$

 $com x = \Omega/\omega_n$

Pela eq. (4. 16) temos que

$$m_o = m_i |H(j\Omega)|$$

portanto

$$m_0 = m_i \sqrt{\frac{1 + (K/\omega_n)^2 x^2}{(1 - x^2)^2 + 4\xi^2 x^2}}$$
 (4.22)

e

$$\theta_0 = \theta_i + arg H(j_\omega)$$

$$\theta_0 = \theta_i + \text{arc tg } \frac{K \Omega}{\omega_n^2} - \text{artg } \frac{2 \xi \omega_n^{\Omega}}{\omega_n^2 - \Omega^2}$$
 (4.23)

As curvas representativas das eqs. (4.22) e (4.23) são as da fig. (IV.6 e IV.7)

IV.5 - ESCOLHA DO DETETOR DE FASE

Existe um numero muito grande de possibilidade de escolha do detetor de fase a ser usado em projetos de P.L.L., porem sem pre devemos ter em mente a aplicação em que o P.L.L. esta - sendo empregado, pois em cada caso poderemos usar um detetor de fase diferente. No nosso caso pretendiamos que:

- l caso o sistema de 8 Mbit fosse desligado o OCV oscila<u>s</u> se numa frequência de 2.048 MHz
- 2- fosse do tipo linear

Portanto pretendemos um D.F. que para uma frequência de entrada igual a frequência minima de captura, de como saida um nivel de minimo e para uma frequência de entrada igual a fre quência maxima, alem de, naturalmente, atender a 1ª exigência.

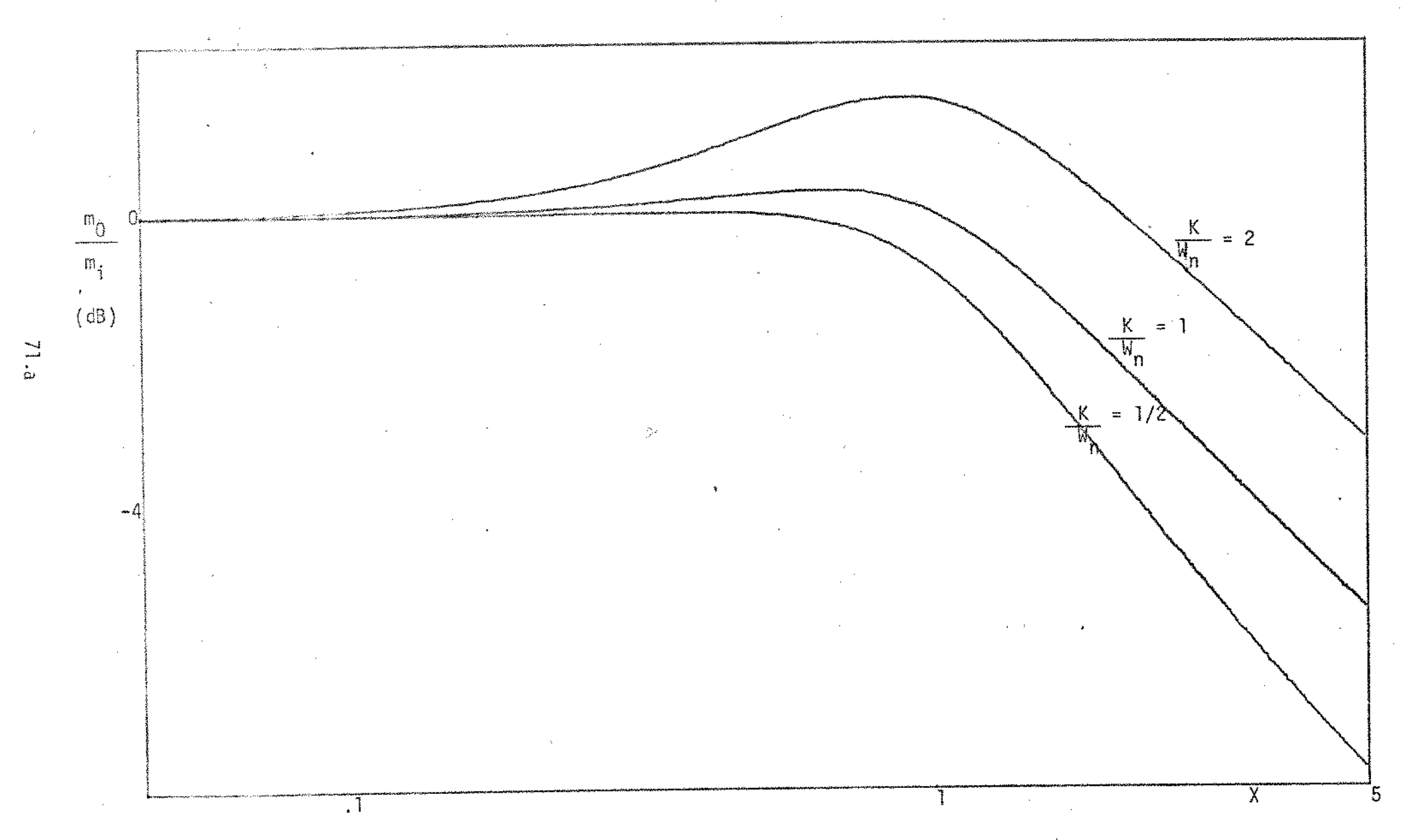


Fig. IV.6.b - AMPLITUDE DO JITTER PARA O FILTRO TIPO LEAD (ξ = 0.707)

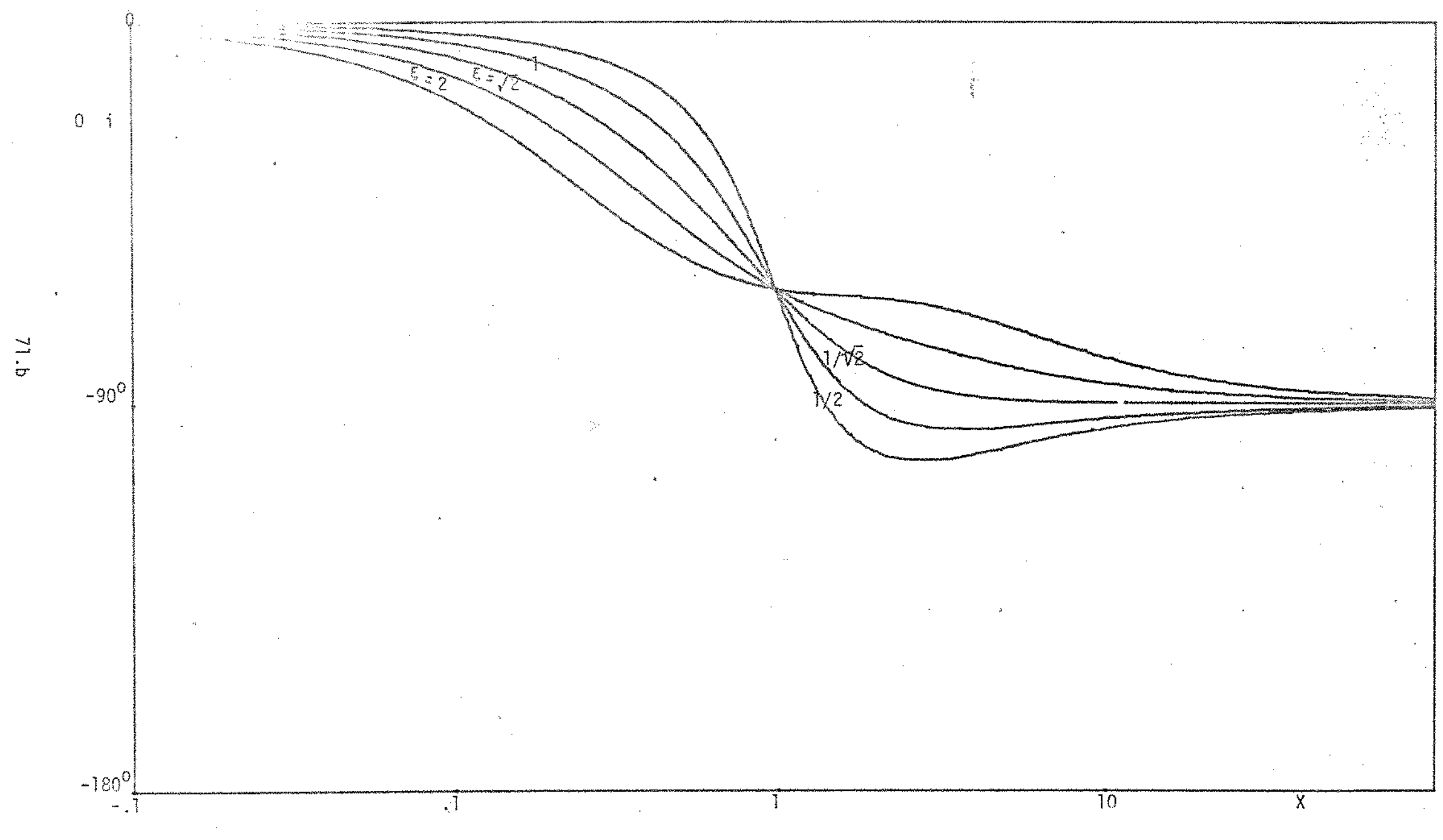


Fig. IV.7 - FASE DO JITTER PARA O FILTRO NO LEAD

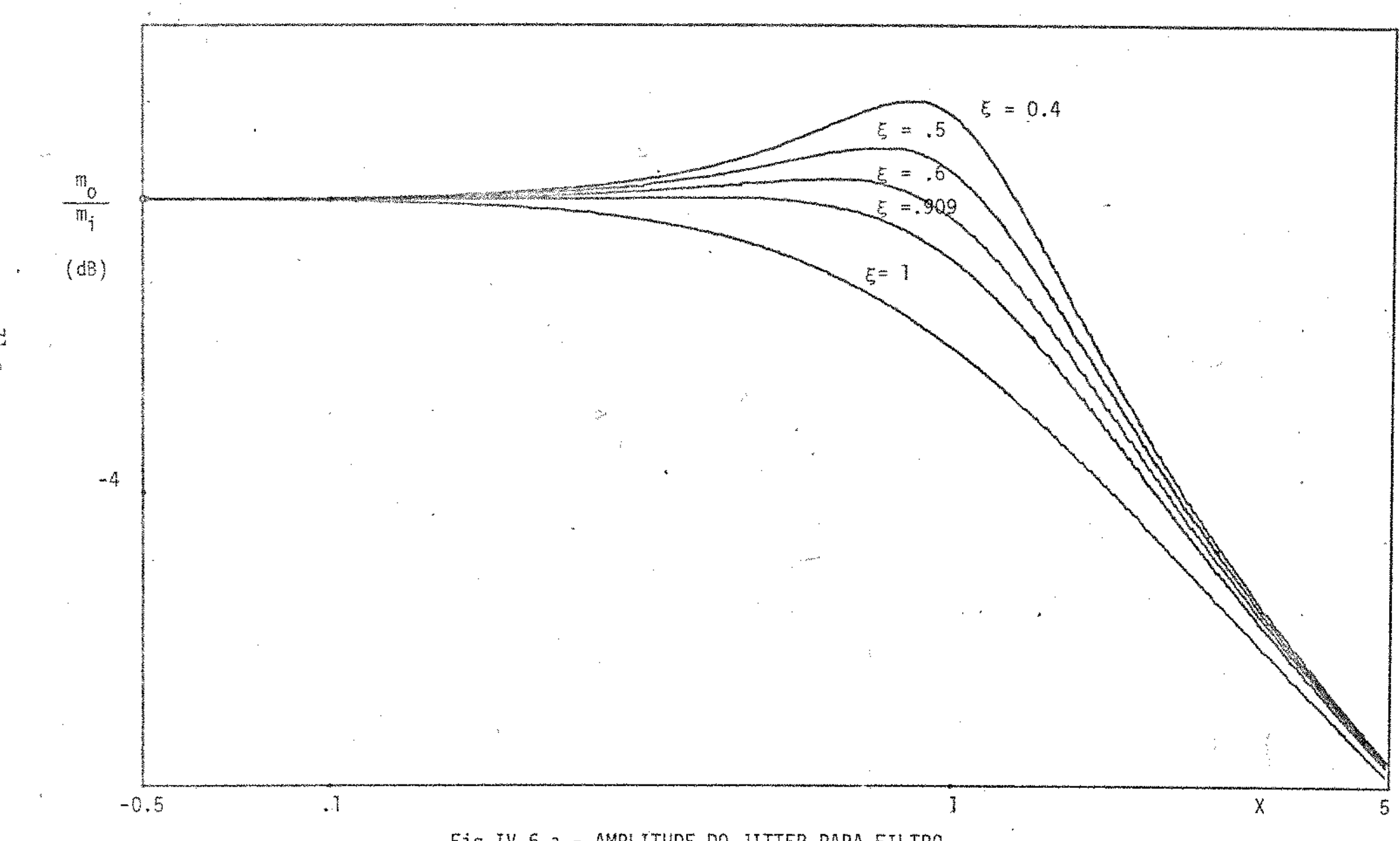


Fig.IV.6.a - AMPLITUDE DO JITTER PARA FILTRO

TIPO LEAD $(\frac{W_N}{V} = 2)$

. A Colores of the

Outra consideração importante a fazer e que so temos disponível níveis de tensão positivos assim sendo as equações deduzidas no capitulo anterior precisam ser vistas cuidadosamente devido ao seguinte problema: Quando foi reduzida a eq.(3.9)

$$x_1 = \frac{\omega_1 - \omega_0}{K_3}$$

parece ter ficado claro que para uma frequência de entrada igual a frequência central do 0CV x_1 = 0; para o nosso caso devido não termos disponíveis tensões negativas x_1 deve ser igual a zero para uma frequência de entrada igual a frequência mínima de captura, quando isso ocorrer a diferença de fase entre as ondas no detetor de fase e zero.

Quando a frequência de entrada for igual a frequência central do OCV o nível \underline{dc} de x_1 deve ser igual ao valor x_1^* na curva de tensão x frequência do OCV; isso correspondera no detetor de fase uma diferença de fase de $\underline{\pi}$, e finalmente -

quando a frequência de entrada for igual a frequência māxima de captura devemos ter x_1 māximo e uma defasagem nos sinais de π .

Um detetor que satifaz todas essas condições e o "ou exclusivo" e os três casos de frequências de entrada analizados acima são mostrados esquematicamente nas figs. (IV.8-a), (IV.8-b) e (IV.8-c).

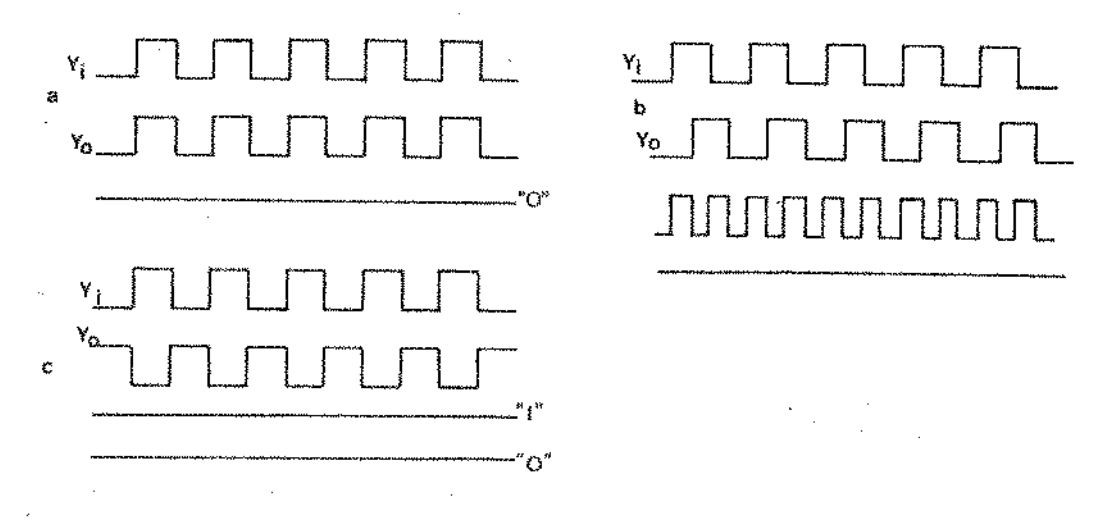


Fig. IV. 5

Quando apenas o OCV estiver funcionando teremos numa entrada do D.F. zero e em outra na onda com 50% de dutycicle a saída serã a propria onda que tem obviamente um nível do que farão OCV oscilar na sua frequência central satisfazendo por a $1^{\frac{a}{2}}$ exigência.

A $2^{\frac{a}{2}}$ exigência e automaticamente satisfeita pois o nível de de saída do detetor será proporcional a diferença de fase en tre o sinal de entrada e o sinal do OCV; por essas razões foi escolhido o "ou exclusivo" como detetor de fase do P.L.L. O fator de ganho desse detetor $\frac{a}{2}$ v.rad.

IV.6 - PROJETO DO OCV

O oscilador controlado por tensão deve possuir uma estabilidade muito grande na sua frequência de oscilação. Quando a tensão que o controla é fixa e; ainda; possuir uma faixa de frequência que possa ser controlada pela variação da tensão em sua entrada. Como a estabilidade que se deseja é muito grande opta-se por um oscilador controlado por tensão que se utiliza de um cristal de quartzo como elemento determinante de frequência. Nesta secção serão feitas análises do circuito utilizado e serão mostrados resultados experimentais com respeito a linearidade do OCV, desvio de frequência com temperatura e a característica de estabilidade.

- CIRCUITO DO OCV

Existem inumeras maneiras de se projetar um OCV controlado a cristal, para isso basta que, basicamente, projetemos um oscilador e numa determinado parte do circuito se tenha um elemento de capacitância variavel para que se consiga mudar a frequência de oscilação do circuito. No nosso caso o elemento de capacitância variavel escolhido foi o diodo MV 1401 da Motorola cuja curva de variação de capacitância com tensão em seus terminais estã mostrada na fig. (IV.9)

O circuito que se projetou foi o da fig. (IV.10)
O cristal poderá oscilar num range de frequência que vai da sua frequência serie até a frequência paralela,
a curva de admitância do cristal é mostrada na fig.
(IV.11)

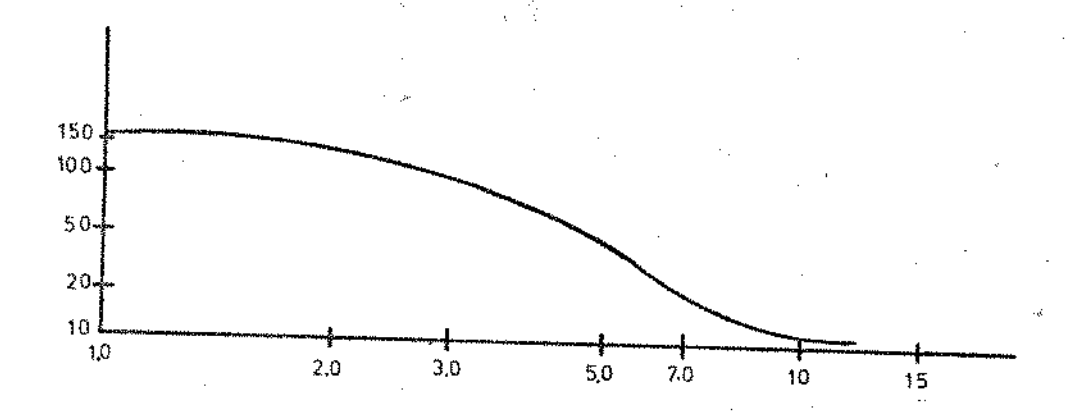


Fig. IV. 9

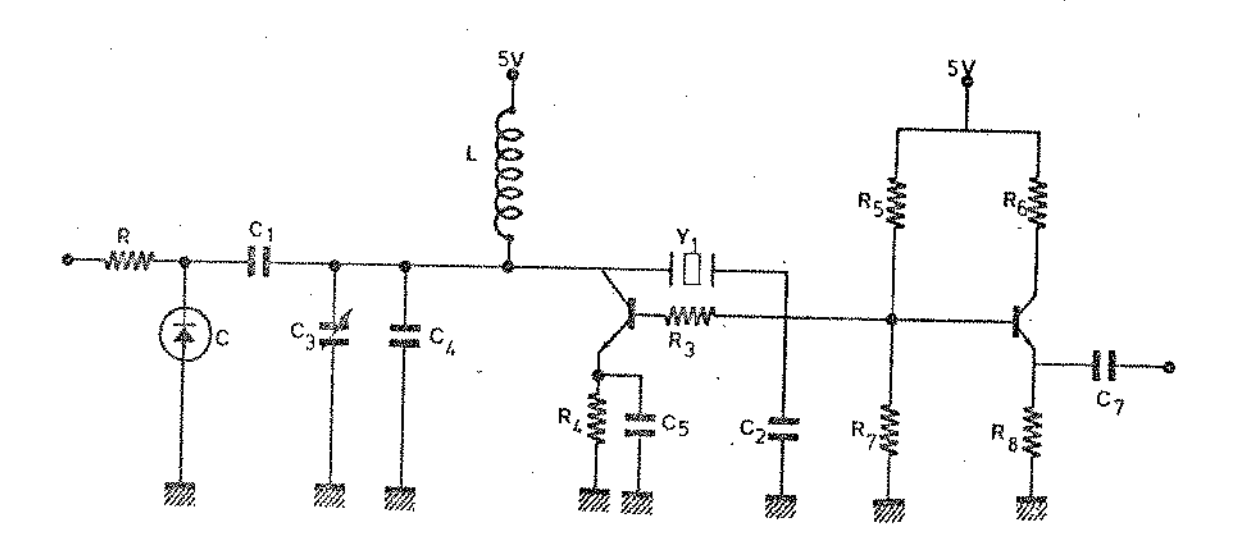


Fig. IV. 10

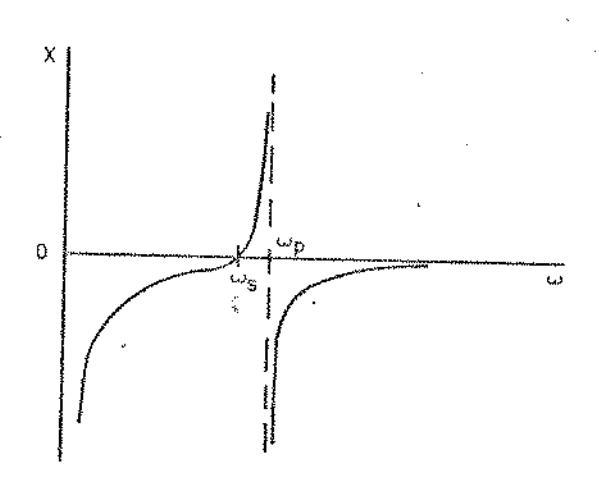


Fig. IV. 11

portanto o OCV deve ser projetado para oscilar no m \bar{a} ximo entre f_s e f_p .

O circuito equivalente do cristal e o da fig. (IV.12)

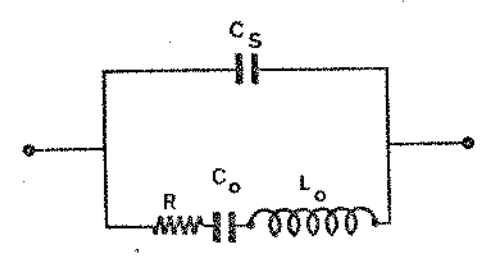


Fig. IV. 12

e pelo circuito do ρ CV vemos que os elementos que influencian na determinação da frequência de oscilação são: o diodo de -capacitância variavel C_{V} , C_{l} e C_{2} que estão em geral em série com o cristal portanto a frequência de oscilação do circuito sera dada pela frequência onde a impedância do cristal somado a impedância dos 3 capacitores citados seja igual a zero; portanto temos que

$$Z_{cristal} + Z_{x} = 0$$
 onde $Z_{x} = \frac{-1}{j\omega_{v}Cx}$ e (4.24)
 $C_{x} = C_{s} + \frac{1}{\frac{1}{c_{1}} + \frac{1}{c_{2}} + \frac{1}{c_{v}}}$

como

$$\frac{7}{\text{cristal}} = \left(\frac{j\omega_{V}L_{O} + \frac{1}{j\omega_{V}C_{O}} \right) \left| \frac{1}{j\omega_{V}C_{S}} \right| \\
= \frac{1 - \omega_{V}2L_{O}C_{O}}{j\omega_{V}C_{S} \left(1 - \omega_{V}2L_{O}C_{O} \right) + j\omega_{V}C_{O}}$$

temos pela condição imposta pela eq. (4. 24)

$$\frac{-1}{j\omega_{V}C_{X}} = \frac{1 - \omega_{V}^{2}L_{o}C_{o}}{j\omega_{V}C_{s}(1 - \omega_{V}^{2}L_{o}C_{o}) + j\omega_{V}C_{o}}$$

$$-\frac{\left|\frac{C_{o}}{C_{x}} + \frac{C_{s}(1 - \omega_{v}^{2}L_{o}C_{o})}{C_{x}}\right|}{C_{x}} = 1 - \omega_{v}^{2}L_{o}C_{o}$$

$$(1 - \omega_{v}^{2}L_{o}C_{o}) (1 + \frac{C_{s}}{C_{x}}) = -\frac{C_{o}}{C_{x}}$$

$$1 - \omega_{v}^{2}L_{o}C_{o} = \frac{C_{o}/C_{x}}{1 + \frac{C_{s}}{C_{v}}} = -\frac{C_{o}}{C_{x} + C_{s}}$$

$$\omega_{v}^{2}L_{o}^{C}C_{o} = 1 + \frac{C_{o}}{C_{x} + C_{s}}$$

$$\omega_{v}^{2} = \frac{1}{L_{o}^{C}C_{o}} \left(1 + \frac{C_{o}}{C_{x} + C_{s}}\right) = \omega_{1}^{2} \left(1 + \frac{C_{o}}{C_{x} + C_{s}}\right)$$

$$\omega_{v}^{2} - \omega_{1}^{2} = \frac{\omega_{1}^{2}C_{o}}{C_{x} + C_{s}}$$
(4.25)

Fazendo-se a aproximação de que ω_ν ≃ ω_i teremos

$$\omega_{V}^{2} - \omega_{1}^{2} \simeq (\omega_{V} - \omega_{1}) (\omega_{V} + \omega_{1})$$

$$\simeq (\omega_{V} - \omega_{1}) (2\omega_{1})$$

Portanto

$$\omega_{V} = \omega_{1} = \frac{1}{2\omega_{1}L_{0}(C_{s} + C_{x})}$$

e

$$\omega_{V} = \omega_{1} + \frac{1}{2\omega_{1}L_{0}(C_{s} + C_{x})}$$
 ou ainda
$$\omega_{V} = \omega_{1} + \frac{1}{2\omega_{1}L_{0}(C_{s} + \frac{1}{C_{1}} + \frac{1}{C_{2}})}$$
 (4.26)

$$\omega_{\text{vmin.}} = \omega_1 + \frac{1}{2\omega_1 L_0} \left(\frac{C_s}{s} + \frac{1}{\frac{1}{C_{\text{vmax}}} + \frac{1}{C_1} + \frac{1}{C_2}} \right)$$
 (4.27)

e

$$w_{\text{max.}} = \omega_1 + \frac{1}{2\omega_1 L_0} \left(\frac{c_s}{s} + \frac{1}{\frac{1}{c_{\text{vmin}}} + \frac{1}{c_1} + \frac{1}{c_2}} \right)$$
 (4.28)

Onde C_{vmax} e C_{vmin} são respectivamente a capacitância mã xima e capacitância mīnima do diodo de capacitância variāvel. Pelas eq. (4.27) e (4.28) e conhecendo-se as caracterīs ticas do cristal utilizado poderemos ajustar C_v , C_1 e C_2 para que tenhamos o intervalo de variação de frequências que quisermos, obviamente dentro dos limites compreendido entre f_s e f_p .

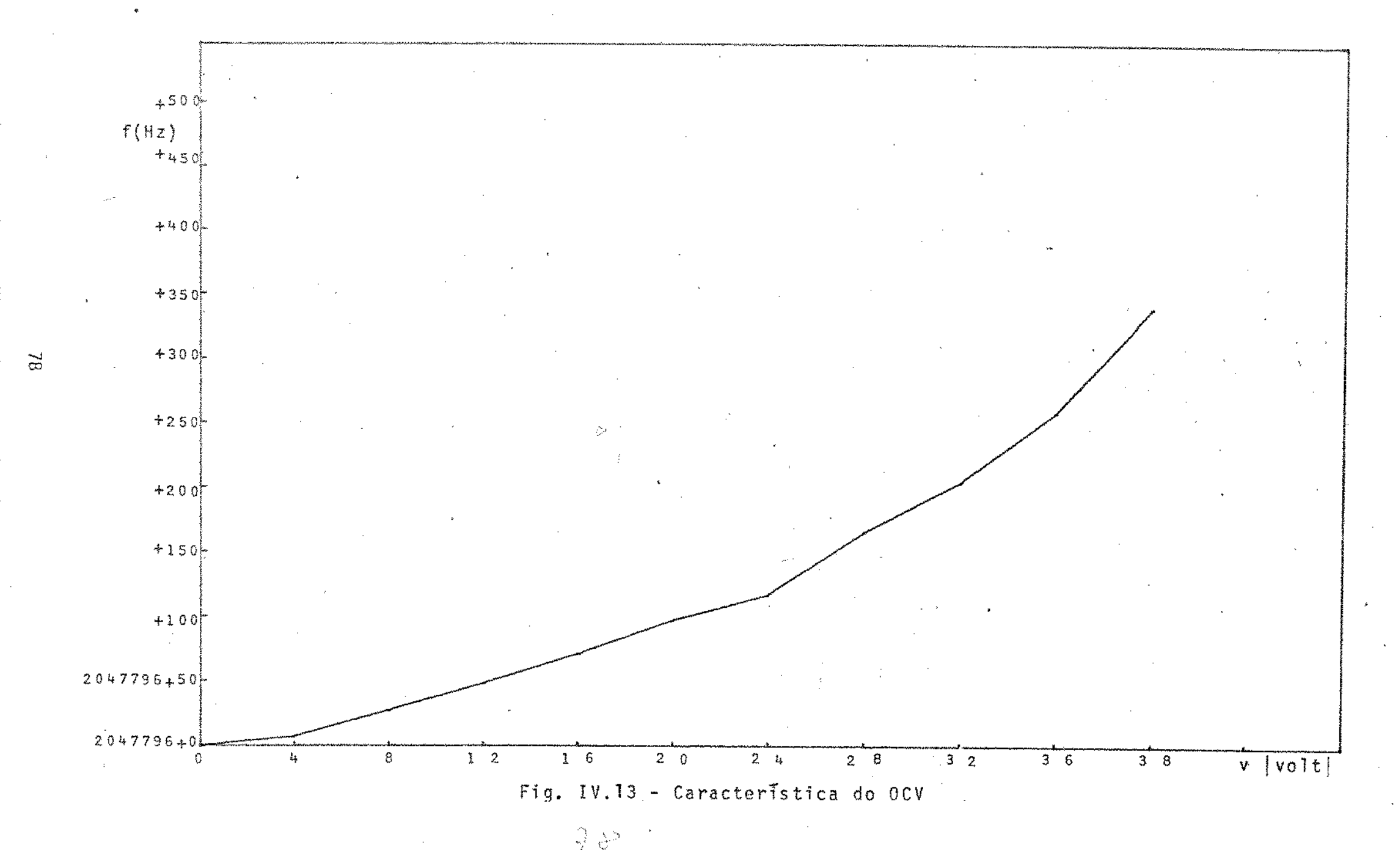
As curvas de variação de frequência com tensão de entrada do OCV estã mostrada na fig. (IV.13)

IV.7 - PROJETO DO FILTRO

Como vimos nos paragrafos anteriores existem dois tipos de filtros que podem ser usados de acordo com a conveniência - do projetista.

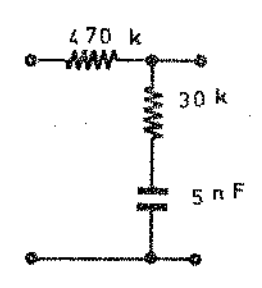
O filtro tipo LEAD, foi citado na literatura de P.L.L. por E.Roza \mid \mid 2 \mid pois se acreditava que so filtro passa baixas pudesse ser usado

As figuras (IV.6) e (IV.7) mostram que ele pode perfeitamente - ser usado no P.L.L. desde que este não dependa da extração do DC da onda que sai do detetor de fase; caso o detetor de fase, como e o nosso caso, de como saída uma onda que se precisa extrair seu valor dc. Para que este seja mandado para o OCV, nesse caso um filtro tipo LAG que e passa baixas, torna-se de muito mais utilidade por essa razão o escolhemos.



Vimos pelas figs. (IV.4) e (IV.5) que para que não haja amplificação de jitter \tilde{e} necessario que se tenha um valor de ε en tre 0,707 e 1, e um valor $\frac{K}{\omega_n}$ adequado; devemos ainda ter

em mente que a faixa de ruido deve ser mīnima, tendo essas restrições optamos pelo seguinte filtro



como
$$\tau_1 = (R_1 + R_2) C$$

$$\tau_2 = R_2 C$$
temos $\tau_1 = (470 \times 10^3) \text{ j} \times 10^{-9} = 25 \times 10^{-4} \text{seg}$

$$\tau_2 = (30 \times 10^3). 5 \times 10^{-9} = 1.5 \times 10^{-4} \text{seg}$$

$$K = 172 \text{ Hz}$$

$$\omega_n^2 = \frac{K}{\tau_1}$$

$$2\xi\omega_n = \frac{1 + K\tau_2}{\tau_1}$$

Utilizando-se dos valores de τ_1 , τ_2 e K chegamos aos seguintes valores para ξ e ω_n

$$\omega_{n} = 262 \quad \epsilon$$

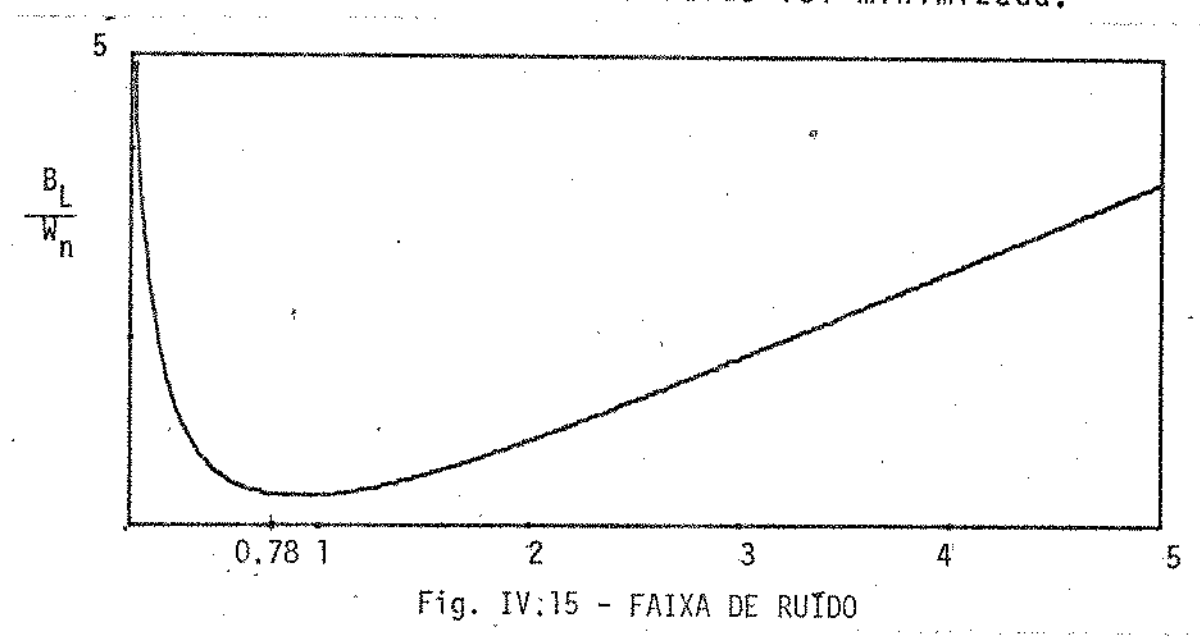
$$\varepsilon = 0.782$$

sabemos que

As curvas de atenuação de jitter, bem como da faixa de ruido

x fator de amortecimento são mostradas nas fig. (IV. 14) e (IV. 15)- respectivamente

Como pode se notar, não hã amplificação de jitter em nenhuma região bem como a faixa de ruído foi minimizada.



4.8 - VARIAÇÃO DA REGIÃO DE RETENÇÃO E DE CAPTURA COM DIVISORES

DE FREQUÊNCIA

Uma das maneiras de se aumentar a região de retensão e de captura foi proposta por Byrne \mid \mid \mid e consiste em comparar não as frequências de entrada mas sim submultiplas dessas , como o Projeto requeria uma faixa de retenção e uma faixa de captura de aproximadamente \pm 100 ppm ou seja \pm 200 Hz, recorremos a essa têcnica e os resultados conseguidos são apresentados na tabela.

DIVISORES	REGIÃO DE RETENSÃO	REGIÃO DE CAPTURA
÷ 1	2047801——2048106 (Hz)	2047809 <u>2047994</u> (Hz)
÷2	2047801——2048110 (Hz)	2047801——2048048 (Hz)
*4	2047801——2048151 (Hz)	2047801——2048173 (Hz)
÷8	2047801——2048206 (Hz)	2047801——2048173 (Hz)
*16	2047801—2048208 (Hz)	2047802 <u>2048201</u> (Hz)

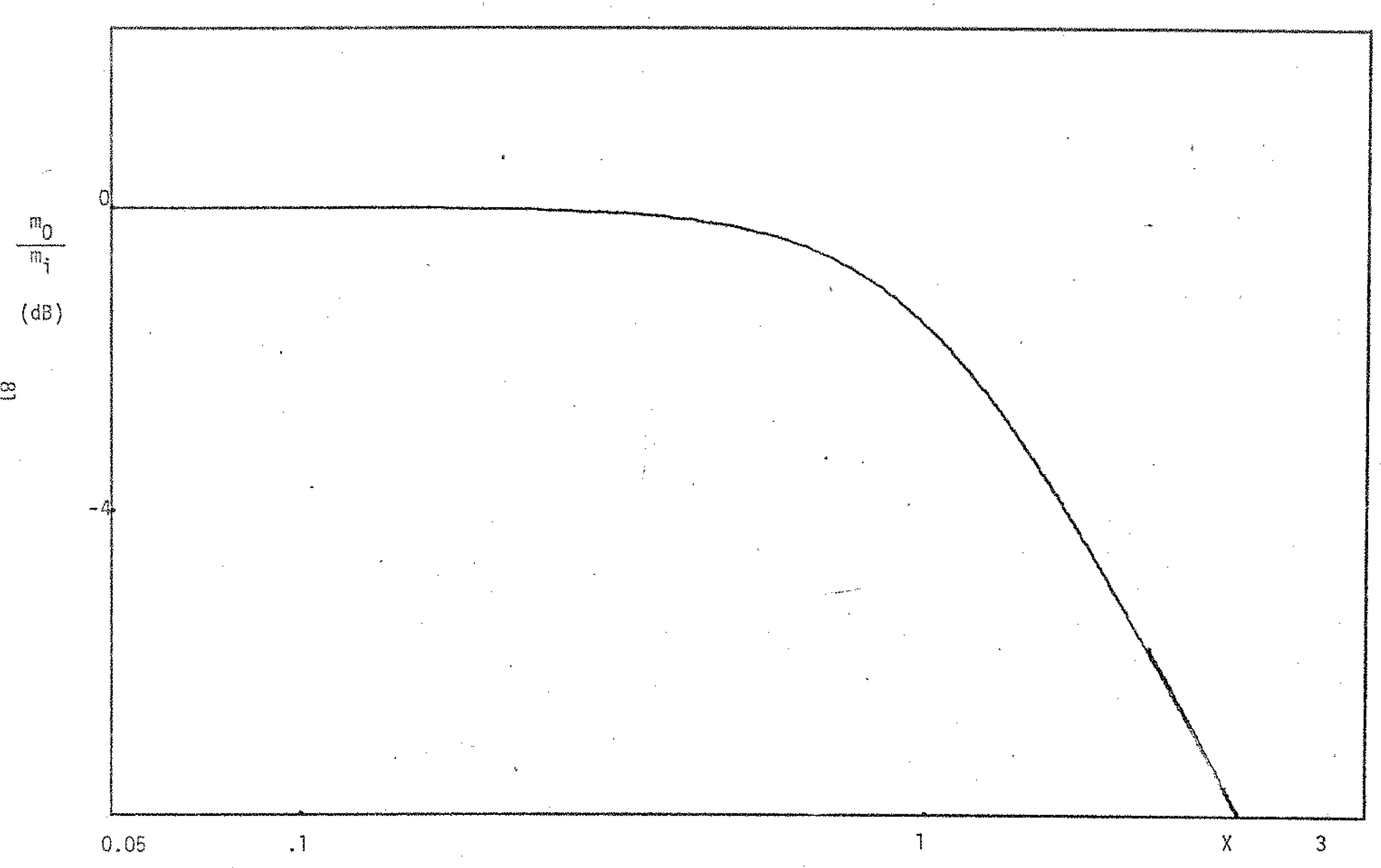


Fig. IV.14 - ATENUAÇÃO DO JITTER PARA O P.L.L. PROJETADO

como se pode notar pela tabela (4.1) quando se usa uma divisão por 16 chegamos ao intervalo requerido pelo projeto. Os resultados da tabela (4.1) mostram que ao se aumentar os divisores hã um aumento das duas regiões citadas, convem no tar que o limite inferior praticamente não se alterou, ocor rendo so variações nos limites superiores; isso ocorre pelo fato que nos limites inferiores a malha não é tão sensível pois a saída do detetor de fase serã o zero ITL. Jã nos limites superiores qualquer melhora que o divisor possa dar terã como consequência um aumento no nível superior TTL, e consequentemente um aumento de frequência no OCV; com o aumento dos divisores vai se chegando ao limite máximo da saída do detetor de fase e aí também as regiões na sua parte superior não se modificarão.

CONCLUSÃO

Determinado os parametros do filtro fica concluido o projeto do P.L.L. que irá atuar no de - MULTIPLEX do sistema MCP de 8 Mbit/s. As curvas da fig. (IV.14) mostram claramente que não há amplificação de jitter em nenhuma região onde o PLL atua, uma das principais restrições que o projeto impõe. As regiões de retenção e captura foram também projetadas para satisfazer as condições que o projeto requeria, enfim foi criada, acreditamos, nesse trabalho uma maneira sistemática de projeto de P.L.L., que era o nosso principal objetivo. A Fig. IV.15 mostra o circuito que foi implementado.

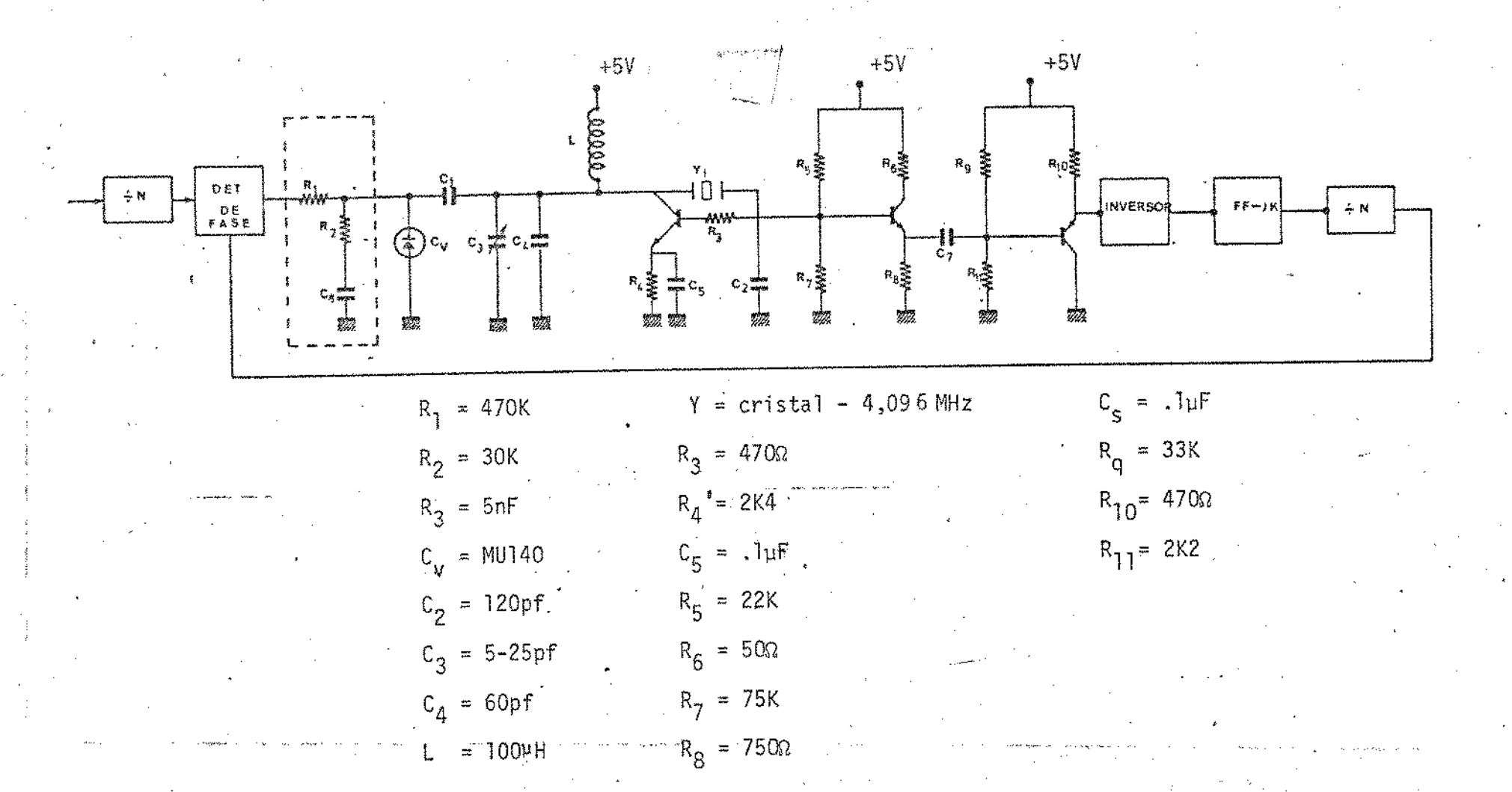


Fig. IV.15 - CIRCUITO IMPLEMENTADO DO P.L.L.

RÉFERENCIAS

- |1|- KOZUKA,S; "Phase controlled oscilator for pulse stuffing sym cronization sistems"
 - "Review of the electrical comunication Laboratory" nos. 5 6 Maio 1969
- |2|- ROZA,E; "Analysis of phase-locked timing extraction circuits for pulse code transmisson IEEE Trams. Com. Vol.22 Setembro 1974
- |3|- D.RICHMAN, "Color-carrier reference phase synchronization accuracy un NTSC color television", Proc. IRE, vol. 43, pp. 106 133 Janeiro 1954.
- 14 T.J.REY, "Automatic phase control: Theory and design", Proc. IRE, vol. 48, pp. 1760 1771. Outubro 1960.
- |5|- G.S.MOSCHYTZ, "Miniaturized RC filters using phase-locked loop", Bell Syst. Tech. J. vol. 44, pp. 823-870, Maio/Junho 1965.
- |6|- A.J. VITERBI, "Principles of Coherent Communication. New York McGraw-Hill, 1966, ch. 3
- 7 W.C.LINDSEY, "Sinchronization Systems in Communication and Control. Englewood Cliffd, N.J.: Prentice-Hall, 1972, se. 10-2.3, 10 2.4.
- |8|- U.MENGALI, "Acquisition behavior of generalized tracking systems in the absence of noise" IEEE Trans. Commun., vol, COM-21, pp. 820-826, July 1973
- |9|-BYRNE,C.J., "Properties and Design of the Phase controlled oscilator with a sawtooth comparator" Bell Syst. Tech.

 J. vol. 51 Setembro 1961
- | 10 DUTTWEILLER, D.L. "Waiting time Jitter" Bell Syst. Tech J. Setembro 1961

- | 11 | GARDNER, T.M., "Phase lock techineques" New York: Wily 1966
- |12|- BLANCHARD, ALAIN "Phase Locked Loops", New York, Wiley 1976
- [13] PRADO LOPES; L.C., Relatório final FAPESP Dezembro 1975.